

## 第26回日本水環境学会シンポジウム 26th the Symposium of JSWE

# 「MS技術と環境微量化学物質」 MS technology and environmental trace chemicals



令和5年9月21日(木) 9: 00-12: 30 MS技術研究委員会 MS Technology Research Committee

## <発表時間について Announcement time>

≪口頭発表 oral presentation≫

発表14分、質疑応答3分、交代時間1分

15 minutes for presentation, 4 minutes for Q&A, 1 minute for shifts

12分 1鈴 12 minutes 1 bell

15分 2鈴 15 minutes 2 bells

19分 3鈴 19 minutes 3 bells

MS26\_O\_01 大方 正倫 大阪市立環境科学研究センター



## AIQS-LCの実装に向けたデータベース拡充の 検討



第26回日本水環境学会シンポジウム MS技術研究委員会 令和5(2023)年9月21日(木) 第26回日本水環境学会シンポジウム MS技術と環境微量化学物質(MS技術研究委員会)

# AIQS-LCの実装に向けた データベース拡充の検討

大阪市立環境科学研究センター 大方正倫、市原真紀子 北九州市立大学 宮脇崇 国立環境研究所 中島大介

## AIQSとは

## **Automated Identification and Quantification System**

自動

同定

定量

システム

- ■化学物質の多成分一斉分析法
  - ✓ 北九州市立大学 門上先生が開発
  - ✓ GC-MS版とLC-MS版がある
  - ✓ データベースを使用して、スキャン測定データを解析
    - (①保持時間、②マススペクトル、③検量線情報)
  - ✓ 低コストで簡易に半定量が可能
  - ✓ データベースに物質を追加すれば遡及解析も可能



環境モニタリングでの活用が期待される

## AIQSの現状

## ■ AIQS-GC

- ✓約1000物質が登録
- ✓ 複数メーカーの装置で使用可能
- ✓ 地方環境研究所でも導入が進み、災害時等でも活用 (国立環境研究所 II 型共同研究)

## ■ AIQS-LC

- ✓約500物質が登録
- ✓ 装置メーカーが限定
- ✓ ポジティブイオンモードのみ



普及促進のための検討を

| 分類      | 物質数 |
|---------|-----|
| 農薬      | 296 |
| 医薬品     | 191 |
| 日用品由来物質 | 18  |
| 工業用物質   | 29  |
| その他     | 4   |
| 合計      | 538 |

## AIQS-LCの条件

- ■水質試料の前処理
  - ✓ Oasis HLB+Sep-Pak AC-2を用いた固相抽出

## ■測定条件

| カラム    |             | Inertsil ODS-4 HP 3 um, 2.1 x 150 mm (GL サイエンス) |                         |    |       |    |  |  |  |  |  |  |  |
|--------|-------------|---|-------------------------|----|-------|----|--|--|--|--|--|--|--|
| 移動相    | Α           | 5 mmol  | 5 mmol/L 酢酸アンモニウムを含む精製水 |    |       |    |  |  |  |  |  |  |  |
| 19301日 | В           | 5 mmol/L 酢酸アンモニウムを含むメタノール                       |                         |    |       |    |  |  |  |  |  |  |  |
| グラジエント | Time (min.) | 0   | 30                      | 40 | 40.01 | 50 |  |  |  |  |  |  |  |
|        | A (%)       | 95  | 5                       | 5  | 95    | 95 |  |  |  |  |  |  |  |
|        | B (%)       | 5   | 95                      | 95 | 5     | 5  |  |  |  |  |  |  |  |

| Mass Spectrometry | X500R QTOF システム (SCIEX)   |
|-------------------|---|
| Ion Source        | Turbo V <sup>™</sup> Ion Source (ESI)                             |
| Mode              | SWATH (TOF MS; <b>m/z</b> 50-1000, TOF MS/MS; <b>m/z</b> 50-1000) |
| Polarity          | Positive  |

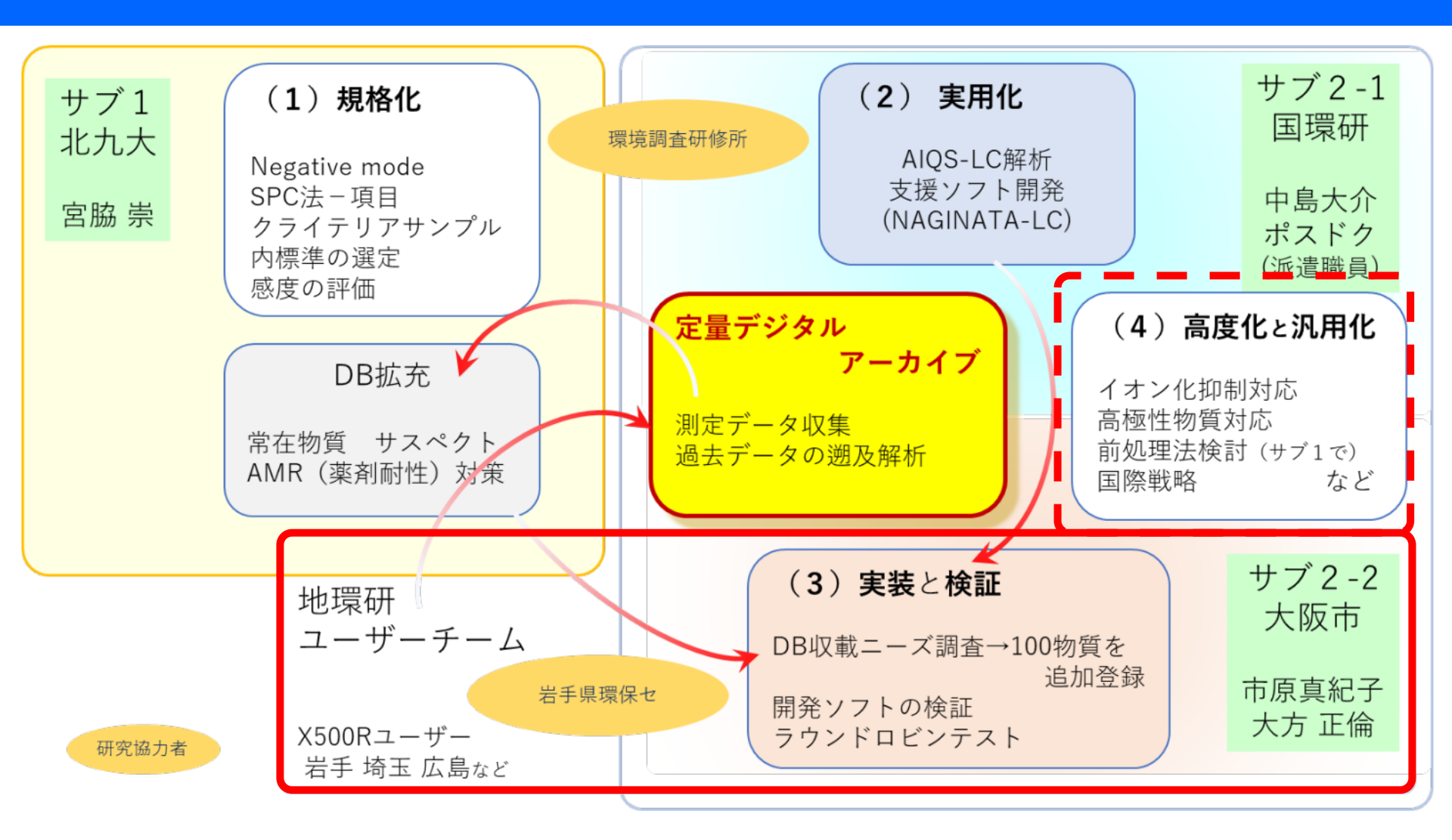
## 環境研究総合推進費による研究

## データ非依存型取得法による環境汚染物質の 定量デジタルアーカイブ手法の開発

- ✓ 研究代表者:中島大介(国立環境研究所)
- ✓ 2023~2025年度
- ✓ AIQS-LCを活用して環境モニタリングの効率化を目指す

## ■検討事項

- ①規格化:装置性能評価法の作成(ESI ポジ/ネガ)
- ②実用化と迅速化:解析支援ソフトウェアの開発
- ③実装と検証: データベース充実と同定・定量精度の検証
- ④<u>高度化と汎用化</u>: 高極性物質への対応等の検討



### ネガティブイオンモード含め追加物質選定→登録

画像出典:環境研究総合推進費(委託費)研究計画書

## 追加登録物質の選定方法

- ■各種規制対象物質の調査
  - ✓水質汚濁に係る環境基準、PRTR制度対象物質等を対象
  - ✓ 検出状況、数量や毒性、LC-MSでの測定可否等を考慮
- 地方環境研究所等への要望調査
  - ✓ AIQS-GCに関する国立環境研究所 II 型実施共同研究\*に 参画する45の地環研を対象にアンケート調査

(\*災害時等における化学物質の網羅的簡易迅速測定法を活用した 緊急調査プロトコルの開発(2022-2024年度))

## 要望調査の結果(概要)

- 回答状況
  - √ 33 (/45) 機関から回答あり
  - ✓ うち10機関からは要望あり
  - ✓ 合計86物質
- 複数の機関から要望のあった物質 (機関数)
  - √ PFOS (4)
  - ✓ PFOA (4)
  - ✓ チウラム (3)
  - ✓ 6-PPDキノン (2)
  - ✓ グリホサート (2)
  - ✓ ヘキサメチレンテトラミン (2)

## 要望調査の結果(農薬・医薬品)

### ■ 農薬

- ✓ フルスルファミド
- ✓ フルアジナム
- ✓ アミスルブロム
- ✓ シエノピラフェン
- ✓ トラロメトリン
- ✓ ミルベメクチンA3/A4
- ✓ トルフェンピラミド
- ✓ ピラクロニル
- ✓ フェントラザミド
- ✓ ブタクロール
- ✓ ブトルアリン
- ✓ イミノクタジン
- ✓ ジクワット
- ✓ パラコート

- ✓ グリホシネート
- ✓ アミノメチルホスホン酸(AMPA)
- ✓ 3-メチルホスフィニコプロピオン酸(MPPA)

### ■ 医薬品

- ✓ アジルサルタン
- ✓ カフェイン
- ✓ カルバマゼピン
- ✓ クロタミトン
- ✓ ロキソプロフェン
- ✓ テルミサルタン

## 要望調査の結果(その他)

### ■ 防腐剤

- ✓ 2-Metyl-4-isothiazolin-3-one(MIT)
- √ 5-Chloro-2-Metyl-3-isothiazolone(CMIT)
- 浄水処理対応困難物質(12物質)
- 過去に水質事故の原因となった物質等(9物質)
- 環境基準項目(シマジンなど9物質)
- その他
  - ✓ PFHxS+19の有機フッ素化合物(泡消火剤)
  - ✓ 6-PPD
  - ✓ アクリルアミド
  - ✓ ポリオキシエチレンアルキルエーテル
  - ✓ エチレンジアミン四酢酸(EDTA)

## AIQS-LC未収載の物質

### ■ 医薬品

- ✓ カルバマゼピン、フェニトイン(抗てんかん薬)
- ✓ テルミサルタン、イルベサルタン、オルメサルタン、バルサルタン (高血圧治療薬)
- ✓ アトルバスタチン、ロスバスタチン(高脂血症治療薬)
- ✓ アモキシシリン、セフカペンピボキシル、セフジトレンピボキシル、 ミノサイクリン、ガレノキサシン(抗菌剤)
- ネガティブイオンモード対象物質
  - ✓ LAS (C10,11,12,13,14)
  - ✓ 有機フッ素化合物(PFAS)

# 大阪市立環境科学研究センターの紹介 15/11



# ご清聴ありがとうございました

## 本発表の内容

## 実装に向けたデータベース構築

- ネガティブモードを含め対象物質を追加する
  - ✓ 追加すべき物質のニーズ調査
  - ✓ 100物質を目標に追加登録物質として選定
  - ✓ 新規物質のデータベース追加登録(保持時間、MSスペクトル、検量線情報)

## HILIC検討について

1,3-Diphenylguanidine

Melamine

Cyanuric acid

Guanylurea

Bis(2-(2-methoxyethoxy)ethyl) ether

Ammonium undecafluorohexanoate

3-aminomethyl-3,5,5-trimethylcyclohexylamine

Trifluoromethanesulphonic anhydride

Methyldopa

Cyanoguanidine

6-Mercaptopurine

Acetylsalicylic acid

Trichlorfon

Gabapentin

Vigabatrin

**Amitrole** 

Metformin

Cyromazine

Lisinopril

Dapsone

2-Quinoxalinecarboxylic acid

Dinoseb

6-phenyl-1,3,5-triazine-2,4-diyldiamine

1,3-Di-o-tolylguanidine

**PFBA** 

**PFBS** 

メラミン-15N3 シアヌル酸-13C3

Cyromazine-(cyclopropyl-2,2,3,3-d4)

PFBS-13C3

Waters XBridge BEH Amide

Merck ZIC-HILIC

Merck ZIC-pHILIC

Merck ZIC-cHILIC

GL science Inertsil HILIC

Resonac HILICpak VN-50 2D







## 海洋生分解性プラスチックの 生分解度と分解生成物量の関係

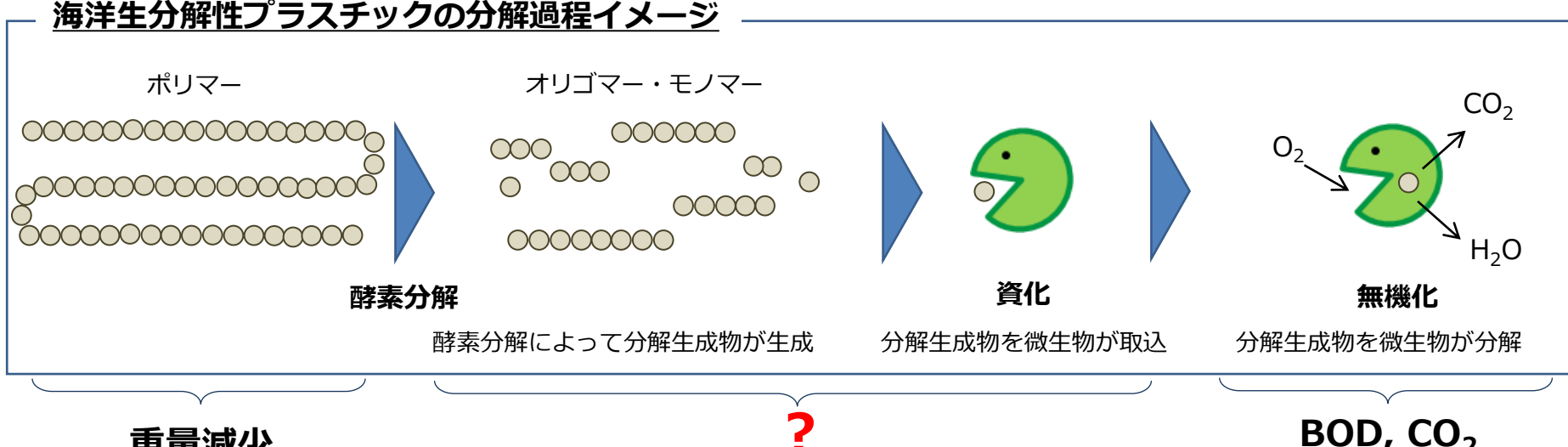
株式会社 島津テクノリサーチ

〇 黒石佳奈、苗田千尋、江頭佳奈、峯孝樹、嶽盛公昭、八十島誠

第26回水環境学会シンポジウム 2023年9月21日

### 1. 背景と目的

- ◆ 背景 ✓ 石油系から生分解性プラスチックへの移行が促進
  - ✓ 生分解性プラスチックを使用した製品の導入が開始<sup>1)</sup>
    - → 今後の用途拡大のために、生分解メカニズムの解明が重要



重量減少(従来法)

<u>分解過程の変化</u>がわからない

BOD, CO<sub>2</sub> (従来法)

✓ 分解過程の変化を見る技術の開発<sup>2)</sup>

◆ 本発表の目的

生分解度と分解生成物の定量値の関係性の把握

### 海洋生分解性プラスチック: PHBH

#### ◆ 試料



- ▶ 植物油を原料に微生物から生産されたポリマー 1)
- ▶ 使用用途: ストロー・レジ袋・カトラリー・食品容器包装材等 1)

3-ヒドロキシ酪酸

(3-Hydroxybutyric acid : **3-HB**)

分子量: 104.10 Log K<sub>ow</sub>: -0.47<sup>2)</sup>

он он

3-ヒドロキシヘキサン酸

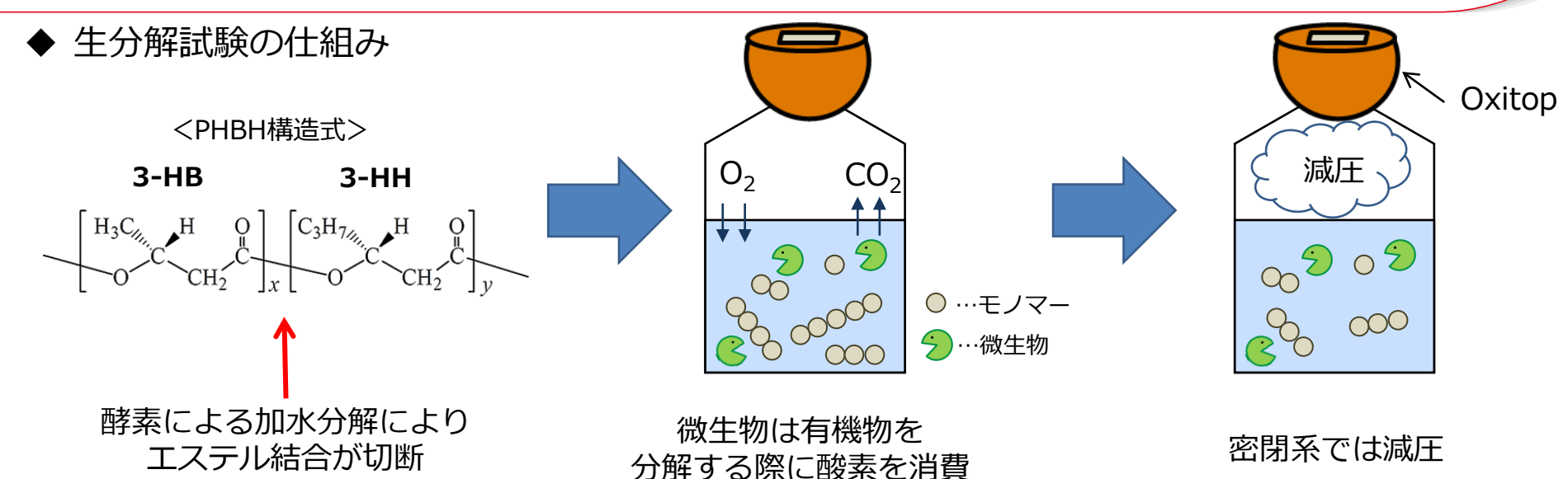
(3- Hydroxyhexanoic acid : **3-HH**)

分子量:132.16 Log K<sub>ow</sub>:0.81<sup>2)</sup>

PHBH構成モル比<sup>3)</sup>

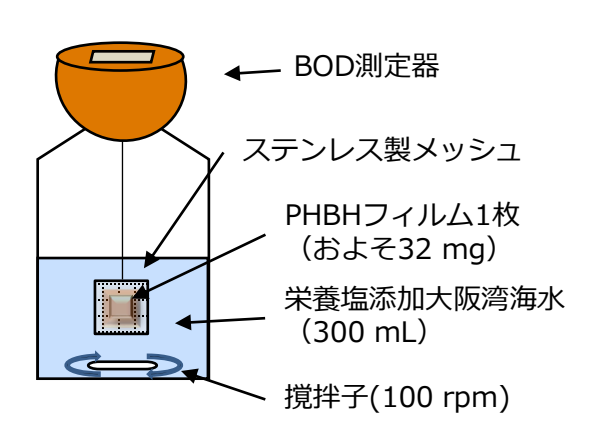
<PHBH構造式>

## 生分解試験



Oxitop: 圧力を測定し圧力変化からBODを算出

◆ 生分解試験 (PHBHのリアクター)



◆ 生分解試験で使用したリアクターの種類

Blank: 海水のみ

→ プラスチックがない状態で微生物が消費する 酸素量を確認

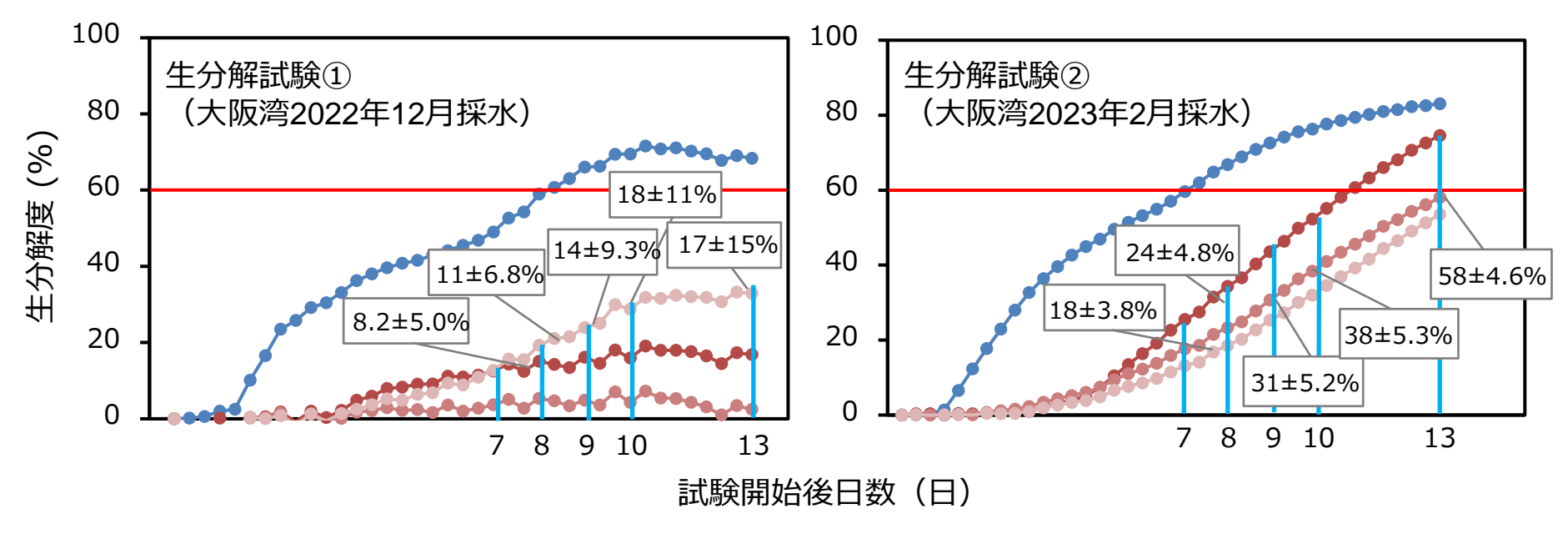
Reference: 基準物質 (PHB粉末) +海水

→ 生分解試験が有効か判断

PHBH: PHBHフィルム+海水

### 生分解試験の進行

生分解で消費した酸素濃度(mg/L)生分解度(%) =\*100プラスチックをすべて分解するときに必要な酸素濃度(mg/L)



PHB粉末(Reference) (n=1)

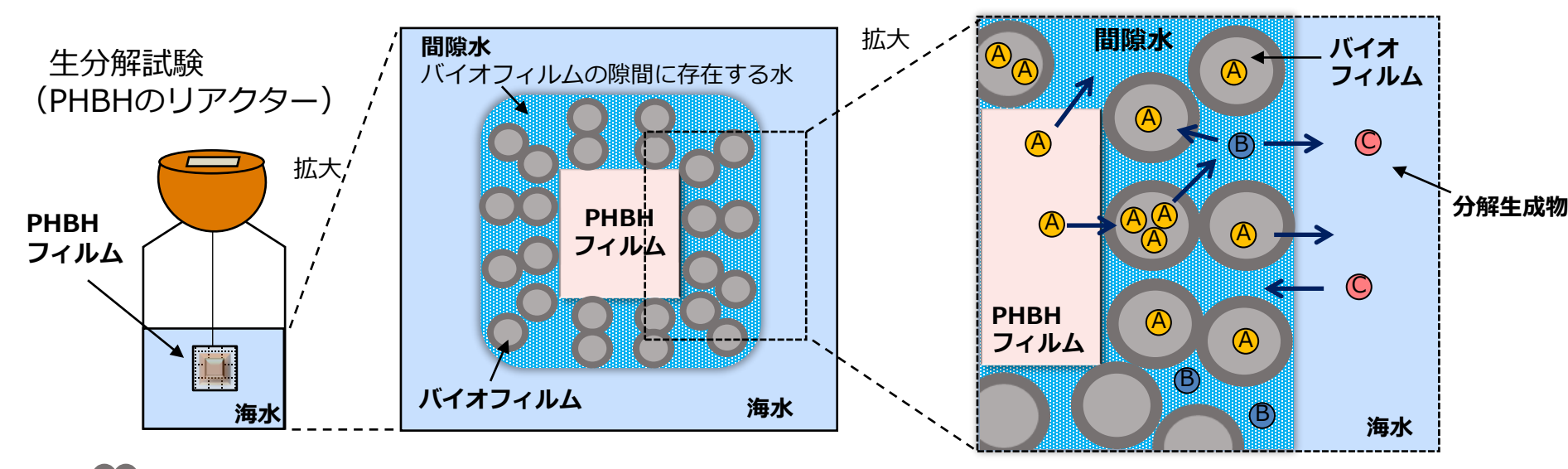


PHBHフィルム 試料採取時の平均生分解度 (*n*=3)



- PHB粉末の生分解度は60%以上であり、生分解試験は有効¹)
- 分解途上のPHBHフィルムを異なる生分解度で5回採取 (Oxitopが装着しているのは、15本中3本のみ)

### 評価サンプルの採取



A: <u>バイオフィルム(BF)抽出液</u>

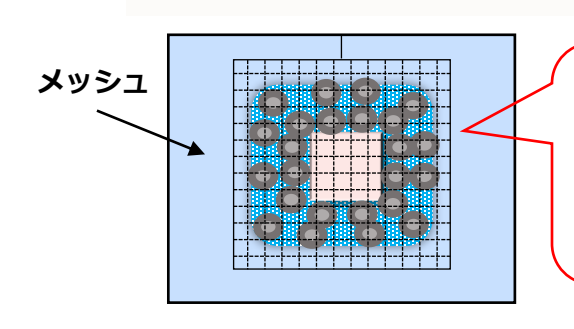
→ バイオフィルムやPHBHフィルム表面に存在する分解生成物を把握

B: <u>間隙水</u>

→ 間隙水に存在する分解生成物を把握

C:海水

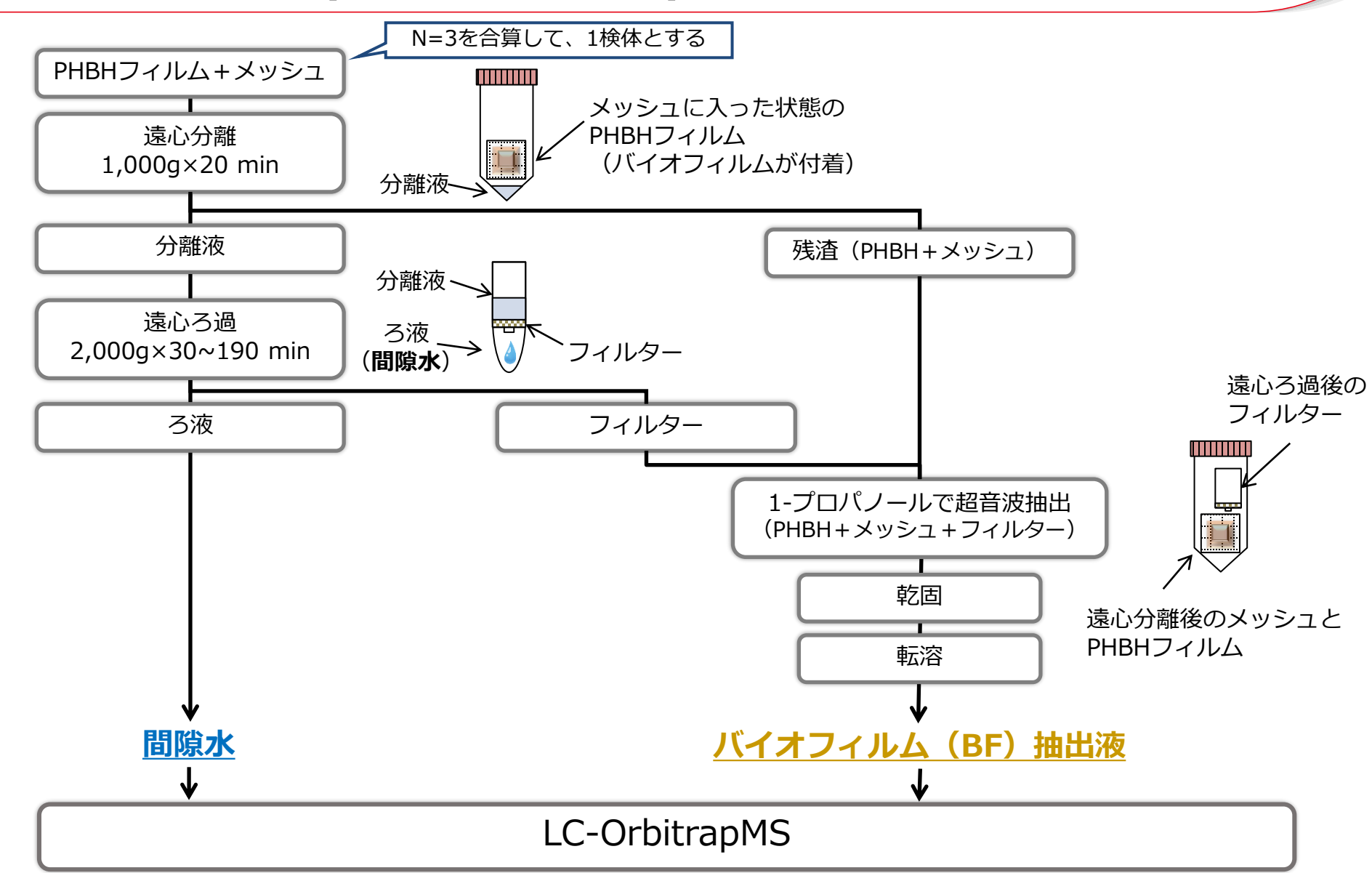
→ 海水に存在する分解生成物を把握



PHBHフィルムはメッシュに包まれた状態で生分解試験に使用するため、 メッシュを覆いこんだ状態でバイオフィルムが付着

→ PHBHフィルムとメッシュは分離できず、
間隙水にはメッシュに付着する海水も含まれる

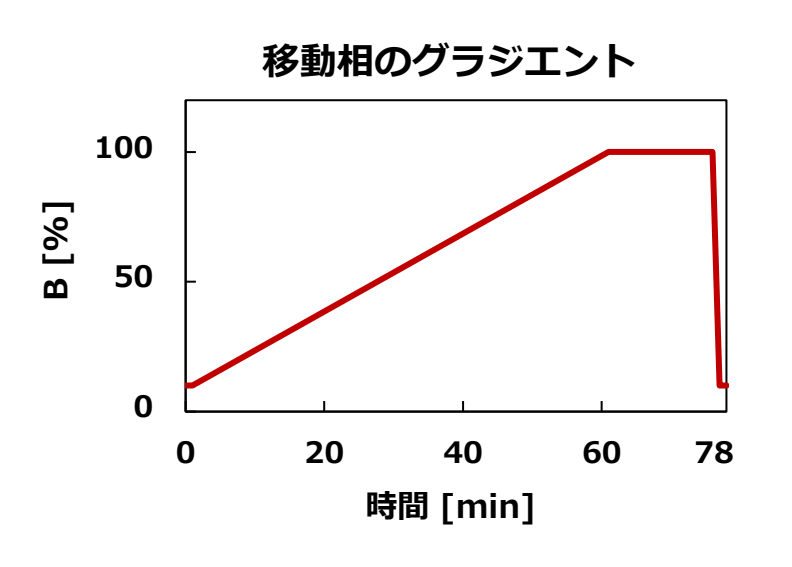
### 前処理方法(PHBHフィルム)



### 測定条件

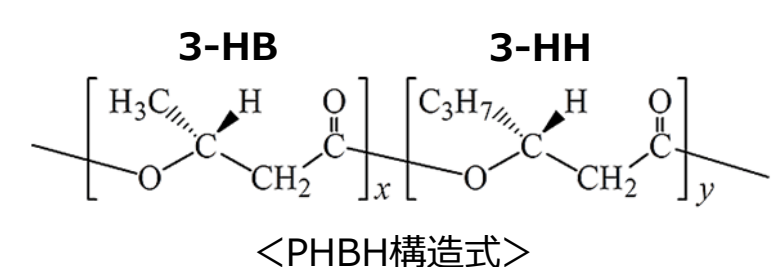
#### **♦** LC

| 液体クロマトグラフ | LC-30AD(島津製作所製)                                 |  |  |  |  |  |  |
|-----------|---|--|--|--|--|--|--|
| カラム       | YMC-Triart C18<br>(2.0 mm (i.d.) ×100 mm, 3 μm) |  |  |  |  |  |  |
| 移動相       | A: 0.1%   |  |  |  |  |  |  |
| 流速        | 0.2 mL/min                                      |  |  |  |  |  |  |
| 試料注入量     | 5 μL  |  |  |  |  |  |  |
| カラム温度     | 40℃   |  |  |  |  |  |  |



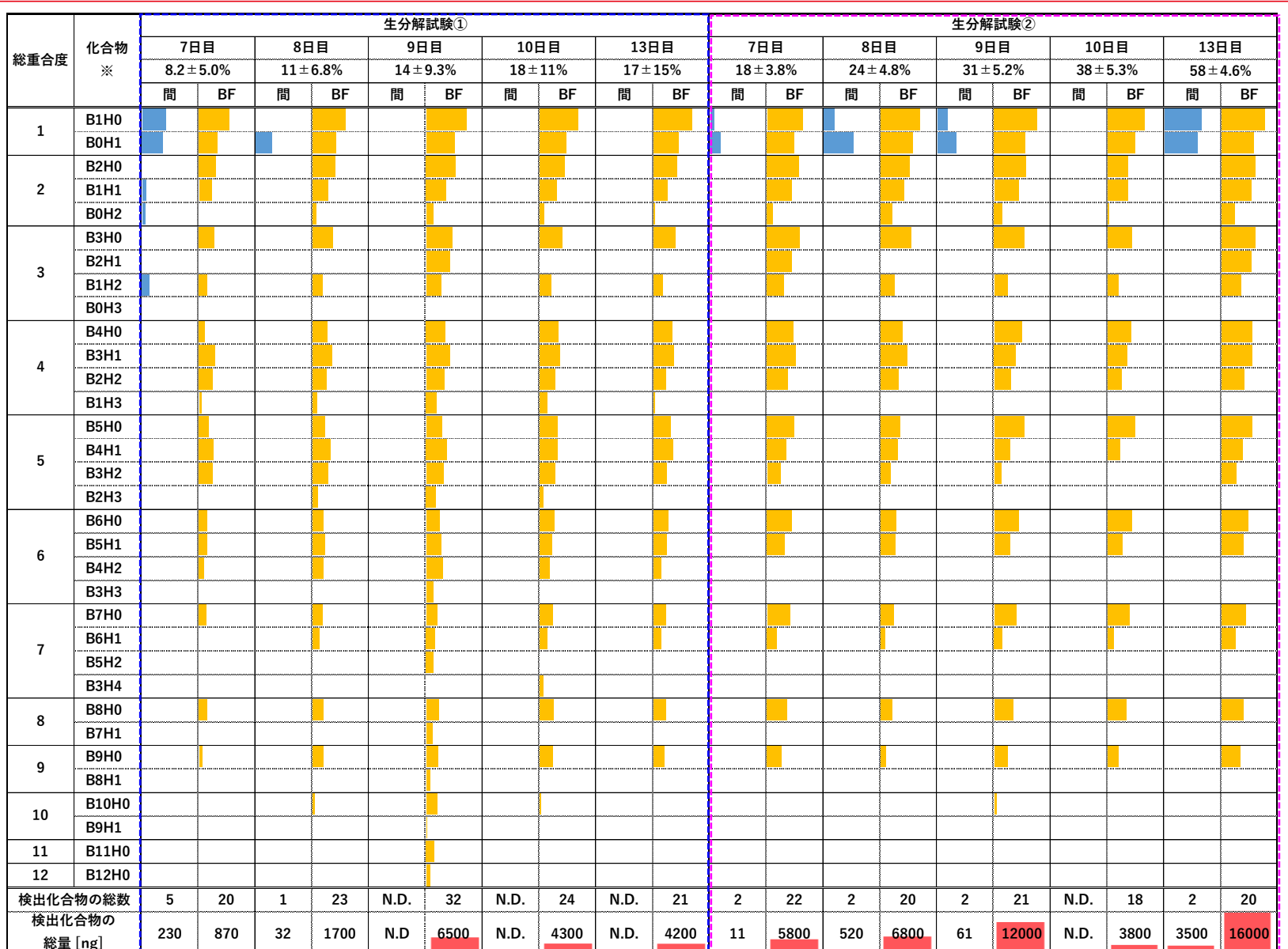
#### ◆ OrbitrapMS

| 質量分析計  | Q Exactive HF (Thermo Scientific製) |
|--------|------------------------------------|
| イオン化   | ESI - Negative                     |
| 分解能    | 60,000                             |
| 質量走査範囲 | m/z 50~750, 160~2400               |



- ✓ PHBHのモノマー2種から構成される総重合度20までのオリゴマーの 1価のモノアイソトピック精密質量について質量誤差 ±5ppmの条件で 抽出イオンクロマトグラムのピーク検出有無を確認
- ✓ 3-HB・3-HH標準溶液200 ng/mLの面積値をもとに相対定量を実施

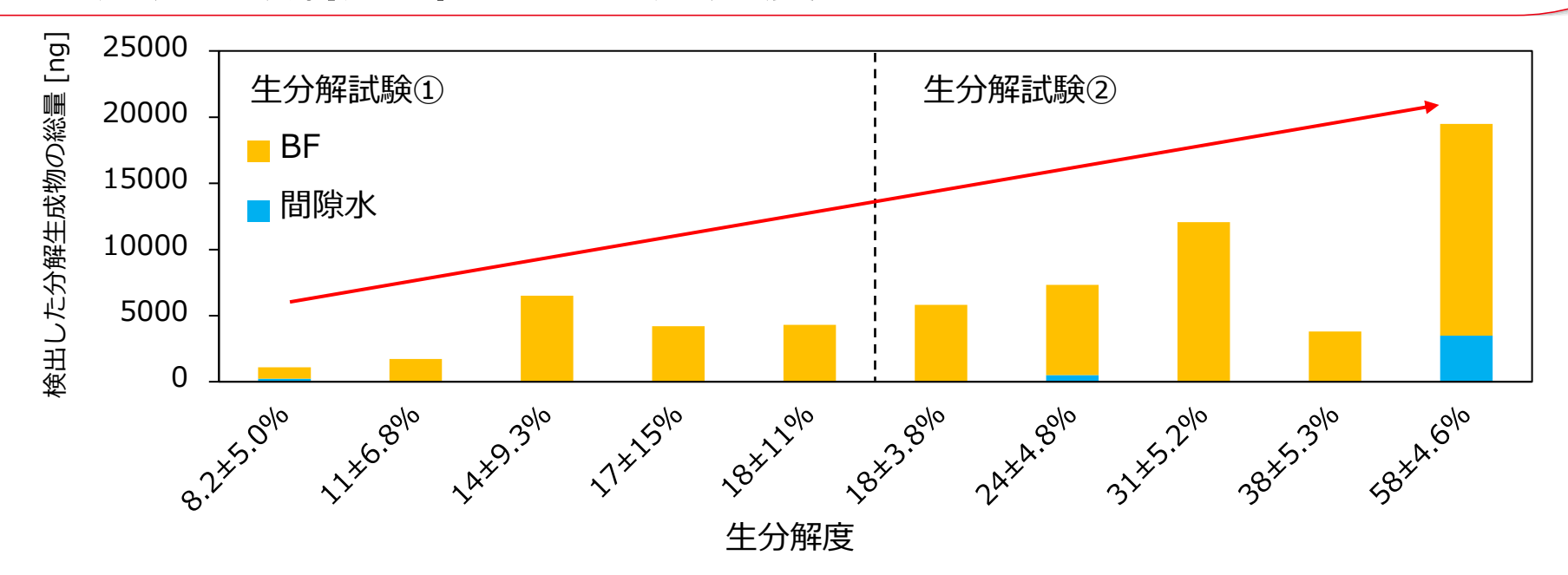
### 間隙水とBF抽出液における分解生成物の絶対量



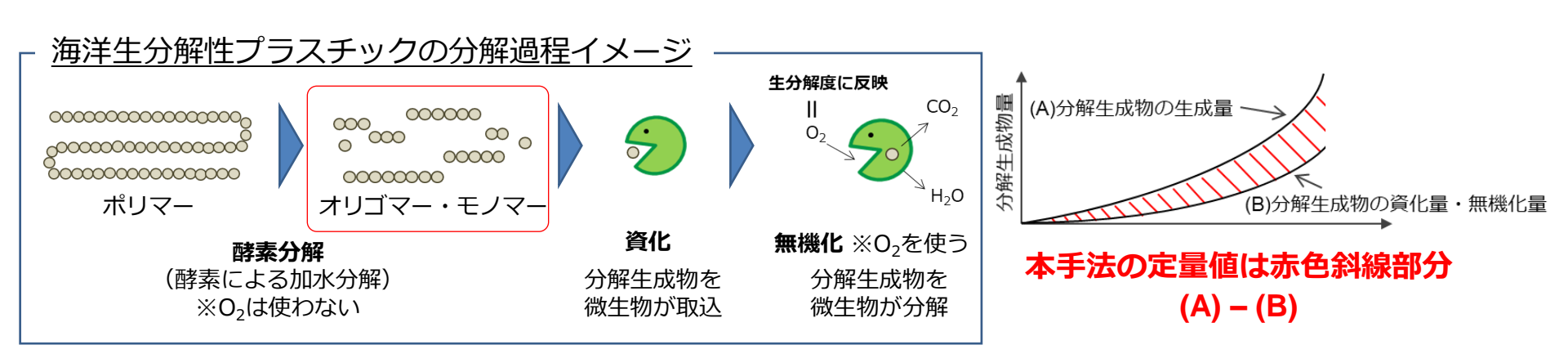


絶対量 = 試料のピーク面積値/標準溶液のピーク面積値 × 標準溶液の濃度 × 試料量

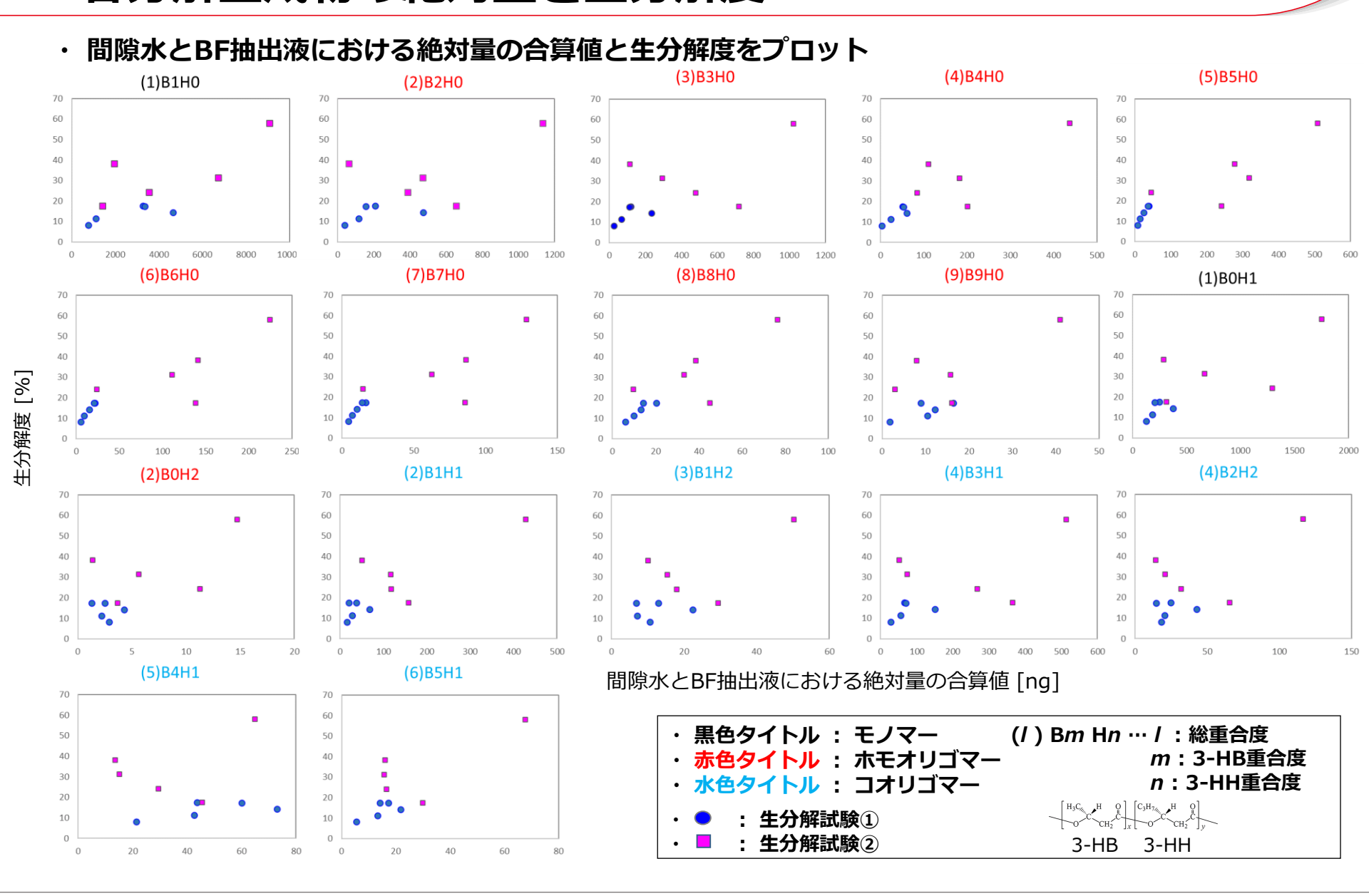
## 分解生成物の総量と生分解度



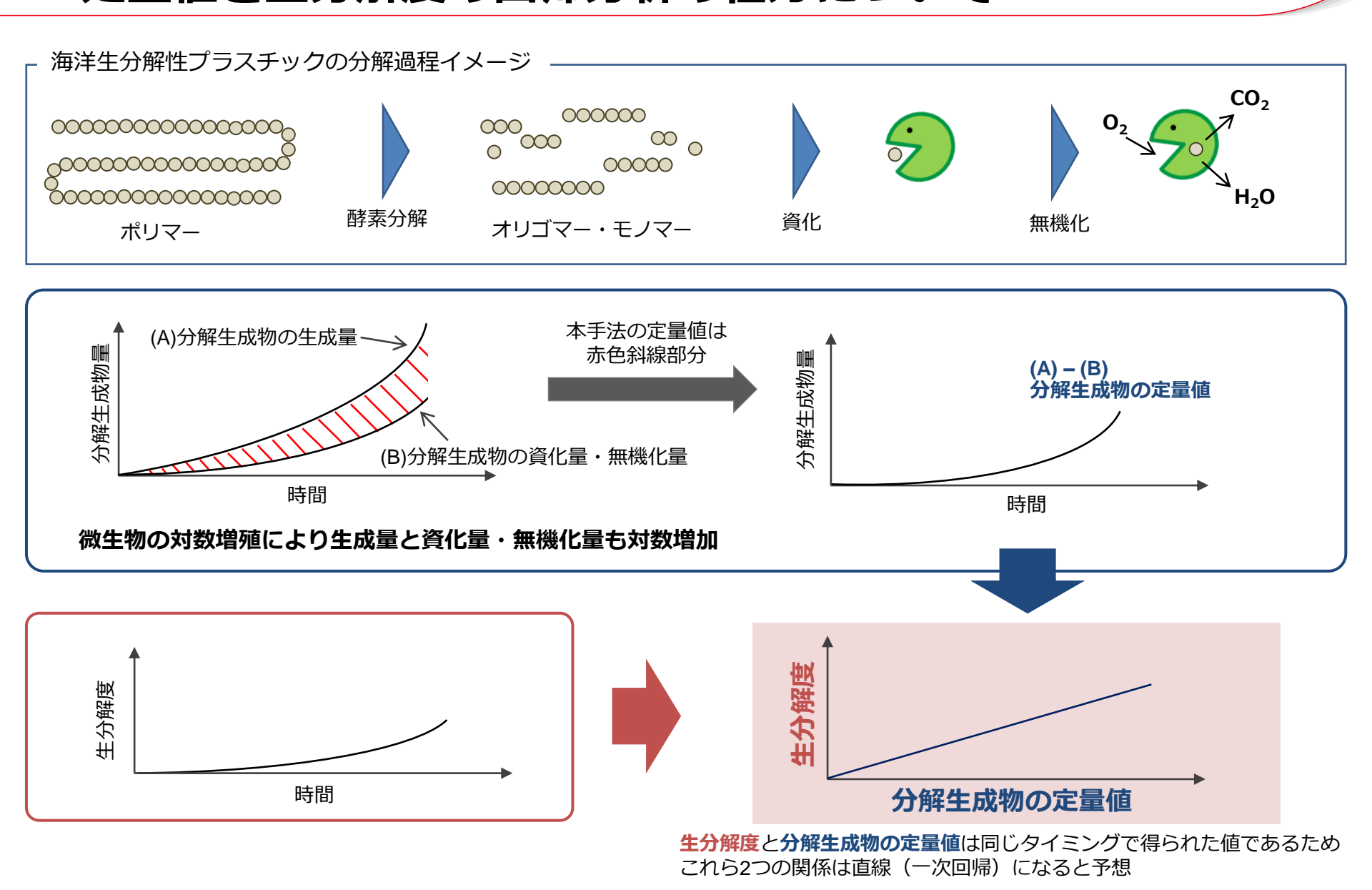
- ✓ 生分解度の増加に伴い、分解生成物の絶対量が概ね増加
  - → 酵素分解による生成量 > 微生物による分解量であることが示唆



### 各分解生成物の絶対量と生分解度



### 定量値と生分解度の回帰分析の仕方について

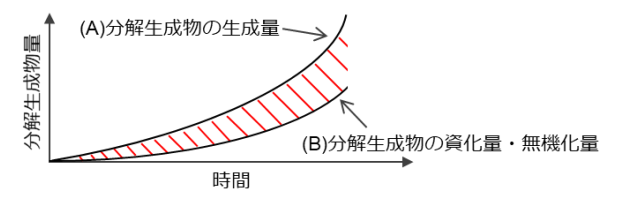


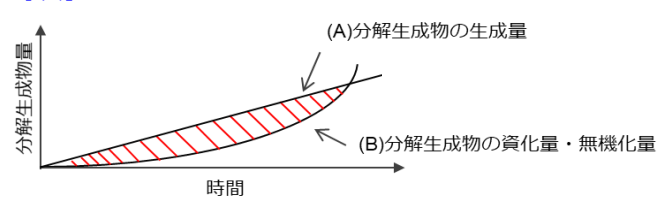
### 各分解生成物の絶対量と生分解度の関係

・一次回帰式の傾き・切片・決定係数R<sup>2</sup> (全ての試料から検出された物質について解析) 独立変数(x):間隙水とBF抽出液における絶対量の合計[ng]、従属変数(y):生分解度[%]

|       | 3-HB<br>モノマー              |         |         | 3-HBホモオリゴマー |         |         |         |         |         |  |  |  |  |
|-------|---------------------------|---------|---------|-------------|---------|---------|---------|---------|---------|--|--|--|--|
|       | (1)B1H0                   | (2)B2H0 | (3)B3H0 | (4)B4H0     | (5)B5H0 | (6)B6H0 | (7)B7H0 | (8)B8H0 | (9)B9H0 |  |  |  |  |
| 傾き    | 0.0043                    | 0.030   | 0.031   | 0.10        | 0.078   | 3 0.17  | 7 0.29  | 0.59    | 1.0     |  |  |  |  |
| 切片    | 8.4                       | 13      | 14      | 11          | 12      |         | 2 11    | 8.1     | 10      |  |  |  |  |
| $R^2$ | 0.57                      | 0.44    | 0.44    | 0.75        | 0.82    | 0.76    | 0.73    | 0.74    | 0.54    |  |  |  |  |
|       | 3-HH 3-HHホモ<br>モノマー オリゴマー |         |         |             |         |         |         |         |         |  |  |  |  |
|       | (1)B0H1                   | (2)B0H  | 2 (2)B1 | H1 (3)E     | 31H2 (4 | )B3H1   | (4)B2H2 | (5)B4H1 | (6)B5H1 |  |  |  |  |
| 傾き    | 0.02                      | 21 2    | 2.2 0.  |             | 0.76    | 0.055   | 0.30    | 0.0093  | 0.68    |  |  |  |  |
| 切片    | ī 1                       | .2      | 13      | 13          | 9.8     | 15      | 13      | 23      | 9.0     |  |  |  |  |
| R     | 0.5                       | 59 0.   | 45      | 0.67        | 0.45    | 0.35    | 0.4     | 0.00017 | 0.61    |  |  |  |  |

#### ✓ 3-HBホモオリゴマーにおいてR<sup>2</sup>が高い傾向

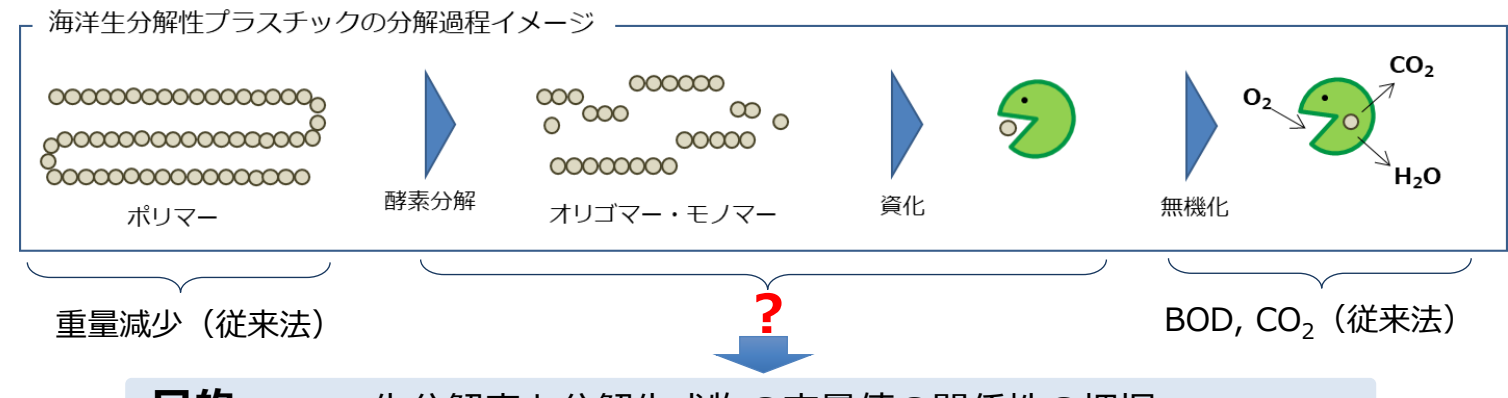




R<sup>2</sup>が低値の化合物は(A)生成量と(B)資化・無機化量の増加パターンが異なることが示唆

### 4. まとめ

#### 背景



#### 目的

生分解度と分解生成物の定量値の関係性の把握

#### 結果

一次回帰式の傾き・切片・決定係数 (全ての試料から検出された物質について解析) 独立変数(x): 間隙水とBF抽出液における絶対量の合計[ng]、従属変数(y): 生分解度[%]

|                | 3-HB<br>モノマー | 3-HBホモオリゴマー |         |         |         |         |         |         | 3-HH<br>モノマー | 3-HHホモ<br>オリゴマー |         |         | コオリ     | ゴマー     |         |         |         |
|----------------|--------------|-------------|---------|---------|---------|---------|---------|---------|--------------|-----------------|---------|---------|---------|---------|---------|---------|---------|
|                | (1)B1H0      | (2)B2H0     | (3)B3H0 | (4)B4H0 | (5)B5H0 | (6)B6H0 | (7)B7H0 | (8)B8H0 | (9)B9H0      | (1)B0H1         | (2)B0H2 | (2)B1H1 | (3)B1H2 | (4)B3H1 | (4)B2H2 | (5)B4H1 | (6)B5H1 |
| <br>傾き         | 0.0043       | 0.030       | 0.031   | 0.10    | 0.078   | 0.17    | 0.29    | 0.59    | 1.0          | 0.021           | 2.2     | 0.10    | 0.76    | 0.055   | 0.30    | 0.0093  | 0.68    |
| 切片             | 8.4          | 13          | 14      | 11      | 12      | 12      | 11      | 8.1     | 10           | 12              | 13      | 13      | 9.8     | 15      | 13      | 23      | 9.0     |
| R <sup>2</sup> | 0.57         | 0.44        | 0.44    | 0.75    | 0.82    | 0.76    | 0.73    | 0.74    | 0.54         | 0.59            | 0.45    | 0.67    | 0.45    | 0.35    | 0.4     | 0.00017 | 0.61    |

- ✓ 3-HBホモオリゴマーにおいてR<sup>2</sup>が高い傾向
- ✓ R<sup>2</sup>が低値の化合物は生成量と資化・無機化量の増加パターンが異なることが示唆



#### 謝辞

この成果は、国立研究開発法人新エネルギー・ 産業技術総合開発機構(NEDO)の 委託業務(JPNP20008)の結果得られたものである。

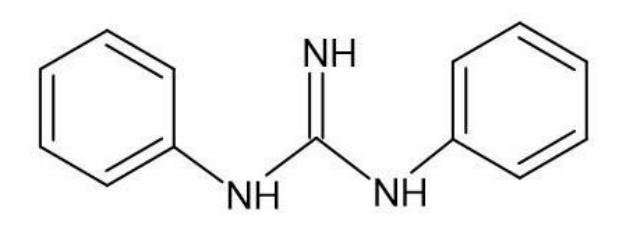






○市原真紀子<sup>1</sup>, 山本敦史<sup>2</sup>, 中村実沙子<sup>3</sup>, 浅川大地<sup>1</sup>, 須戸幹<sup>4</sup> 大阪市立環境科学研究センター<sup>1</sup>, 公立鳥取環境大学<sup>2</sup>, 大阪健康安全基盤研究所<sup>3</sup>, 滋賀県立大学<sup>4</sup>

# ジフェニルグアニジン (DPG) とは?

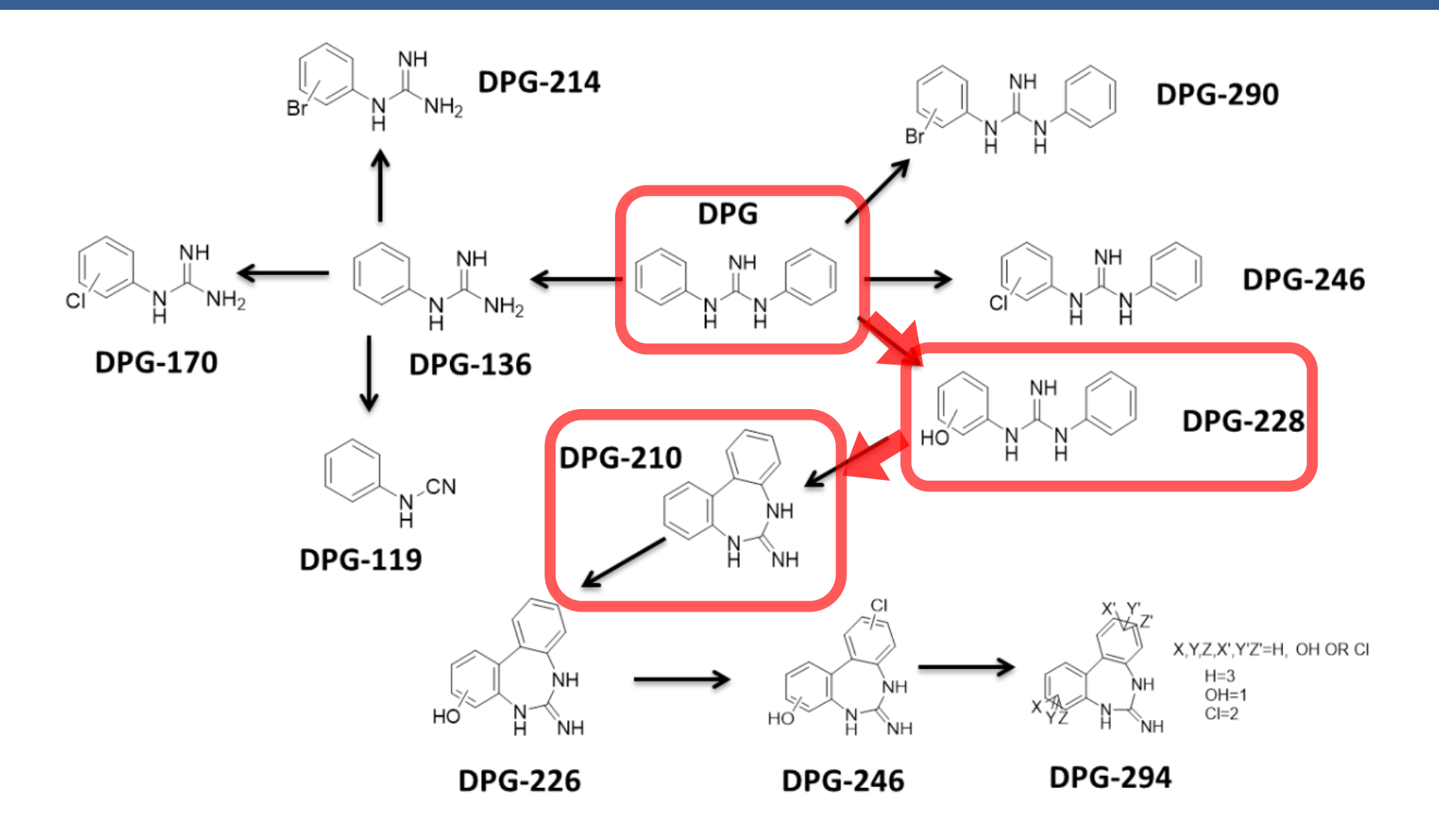


1,3-diphenylguanidine

- ●PMOCs (残留移動性有機化合物) に該当
- ●タイヤ等のゴム製品に用いられる 加硫促進剤
- ●製造輸入量:1000~2000 t (2018年度)
- ●難分解性、水生生物に対する急性毒性
- ●SchulzeによるPMOCsの優先順位付け
  - →高頻度検出、調査事例が乏しい
    - →優先度高い

S. Schulze et al. / Water Research 153 (2019) 80-90

# 先行研究によるDPG-CI反応

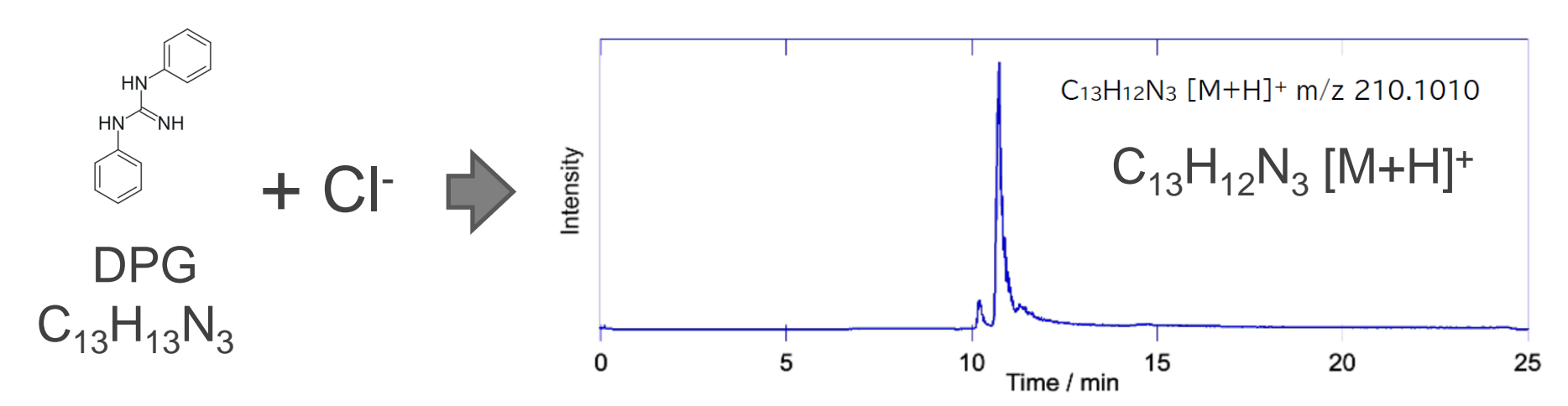


**Fig. 1** Schematic representation of DPG transformation products. This figure was cited from BJ. Sieira et al. J. Hazard. Mater., 385, 121590 (2020)

38

## 我々によるDPG-CI反応

✓ 共同研究者の山本が 45 µM DPG水溶液を 85 µM NaClO で塩素処理し、LC-QTOFMS (Sciex, X500R) 測定.

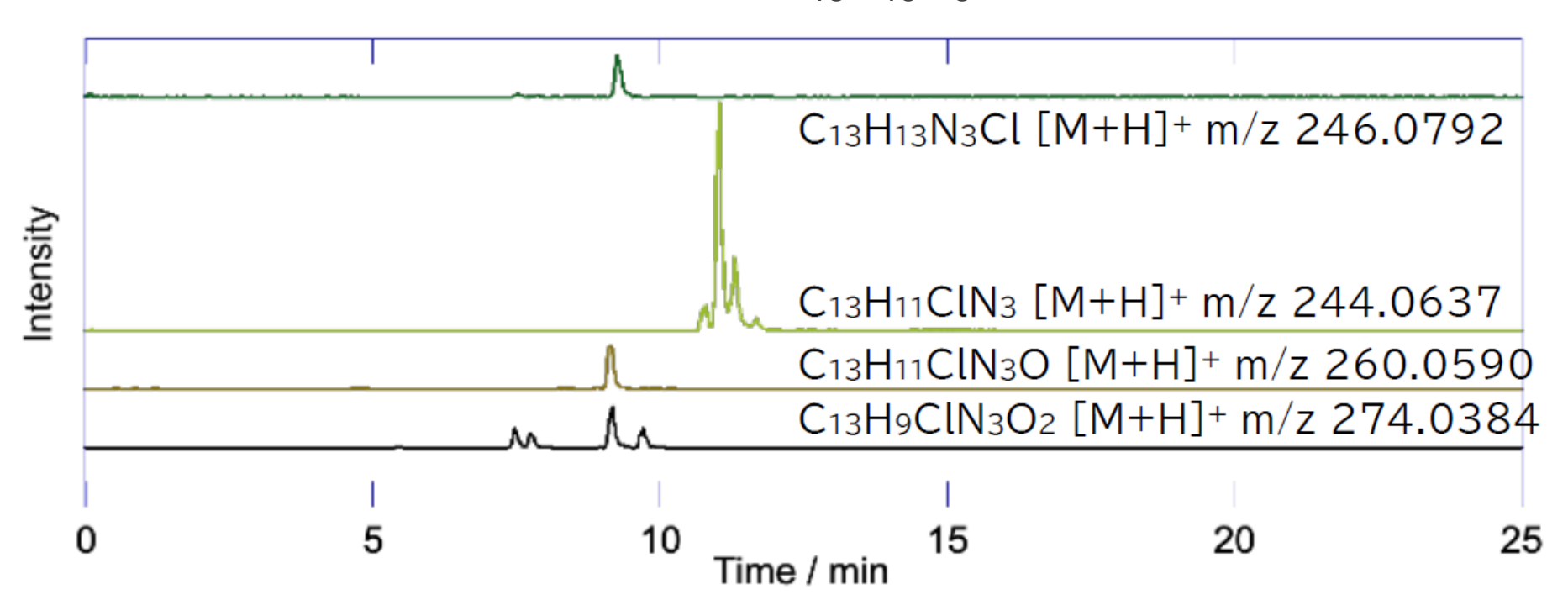


✓ 下記反応が起こっていると推定された

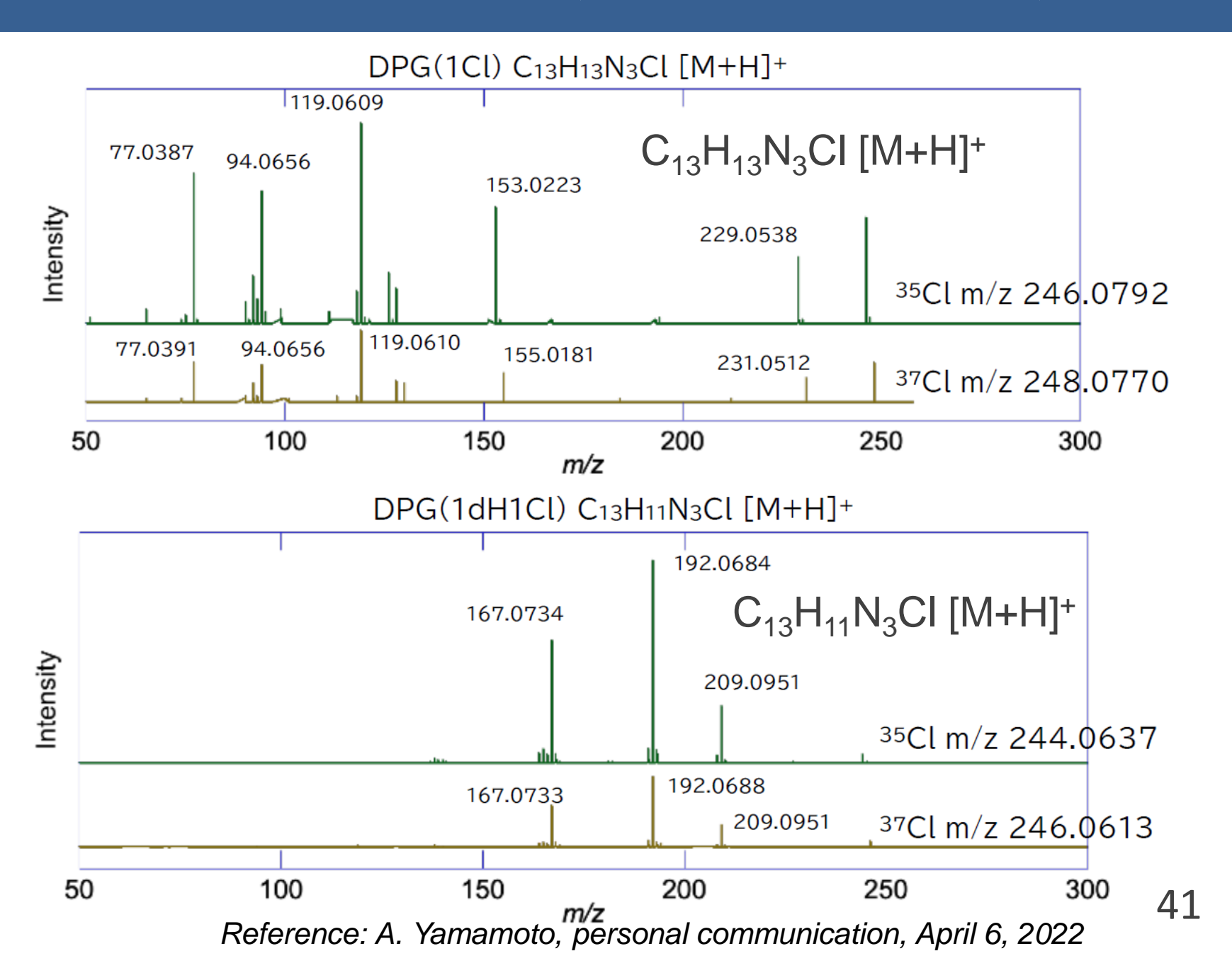
## DPG-CI 検出シグナルのアサイン

- ✓ これらの構造に水酸基や塩素原子が付加すると考え、検出されているシグナルをアサインした
- ✓ 山本により下記のDPG-CIがアサインされた

DPG: 1,3-diphenylguanidine C<sub>13</sub>H<sub>13</sub>N<sub>3</sub>

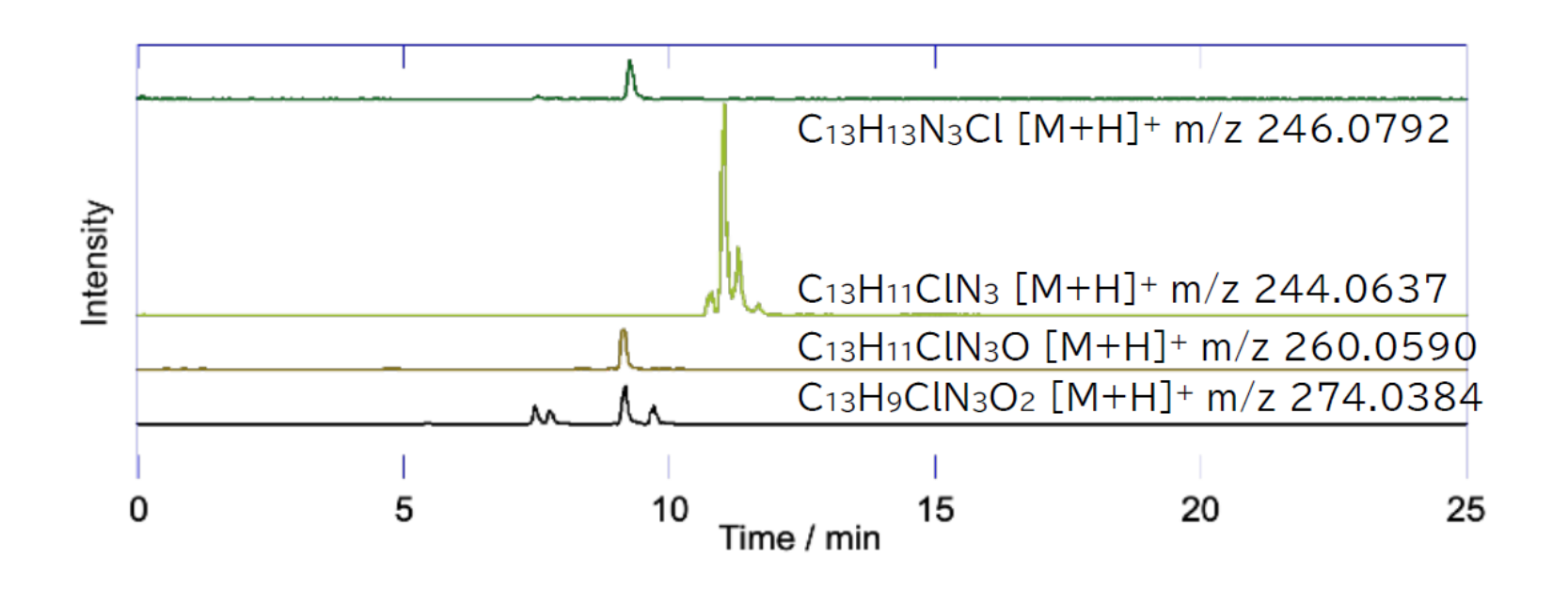


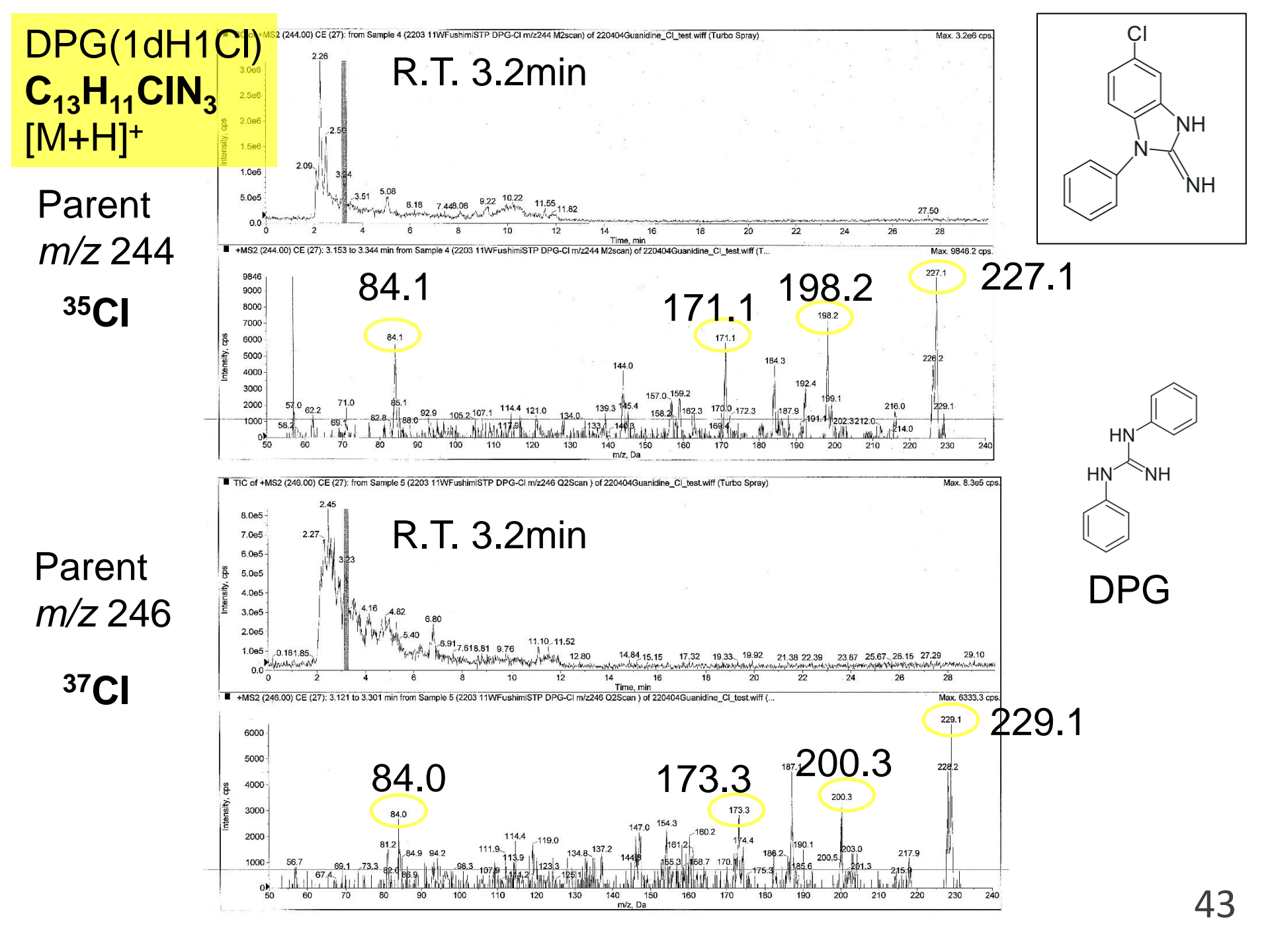
# DPG-CI 検出シグナルのMSスペクトル



# LC-MS/MSによるDPG-CIの探索

- ✓ アサインされたDPG-CIのm/zを元に、LC-MS/MS (Sciex, TQ4500) (product ion scan) を用いてDPG-CIの探索を行った.
- ✓ Precursors : *m/z* 244(+2), 246 (+2), 260 (+2), 274 (+2)
- ✓ 同一Retention Timeで同じm/z (あるいは2違い) のピークを探索
- ➤ それらのピーク強度比が 3:1であれば, DPG-CI の可能性が高い





# DPG(1CI) - C<sub>13</sub>H<sub>13</sub>CIN<sub>3</sub> [M+H]+

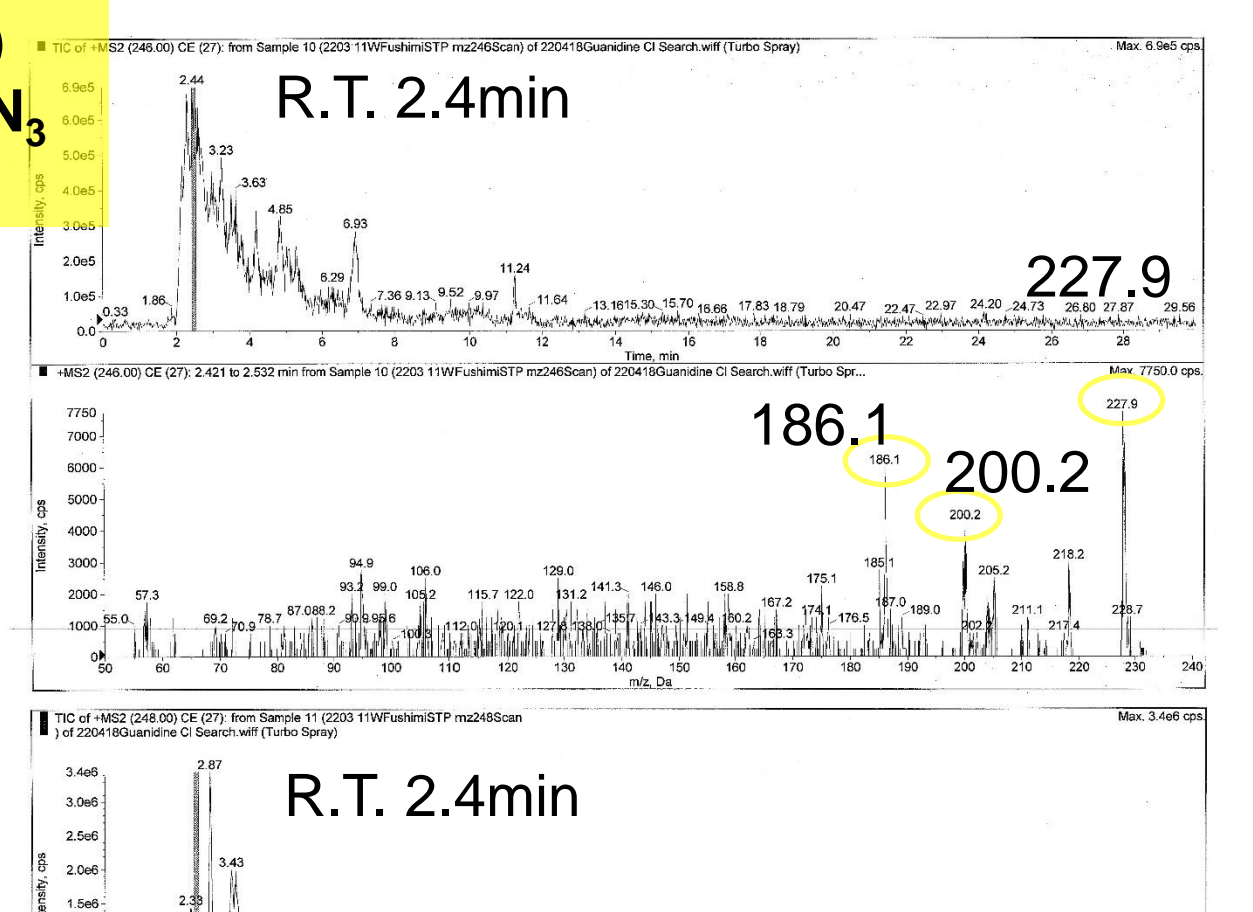
Parent m/z 246

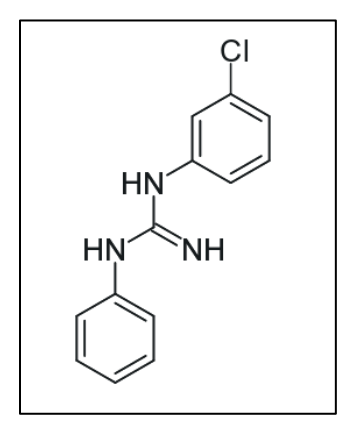
35C

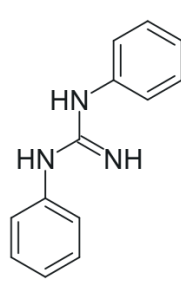
Parent *m/z* 248

<sup>37</sup>CI

1.0e6 -

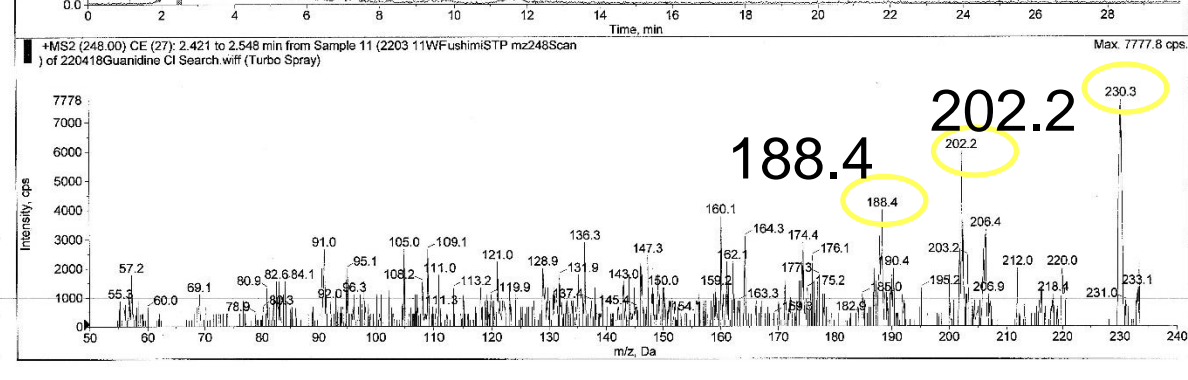




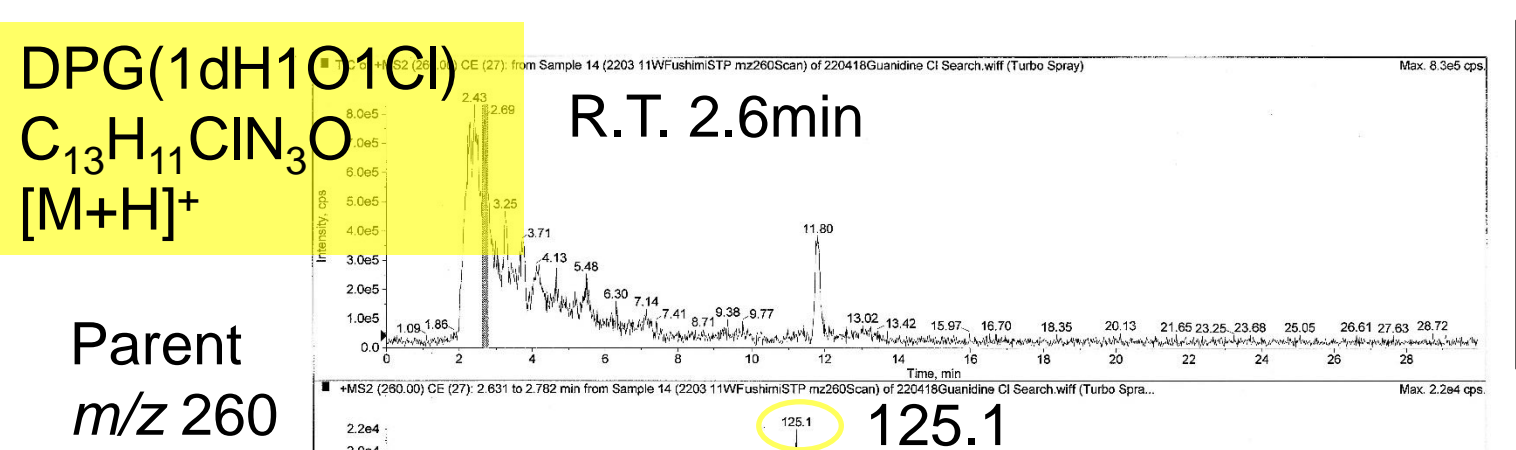


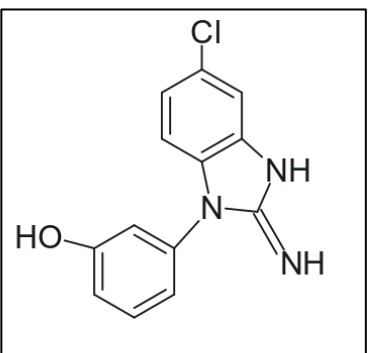
**DPG** 

230.3



11.79



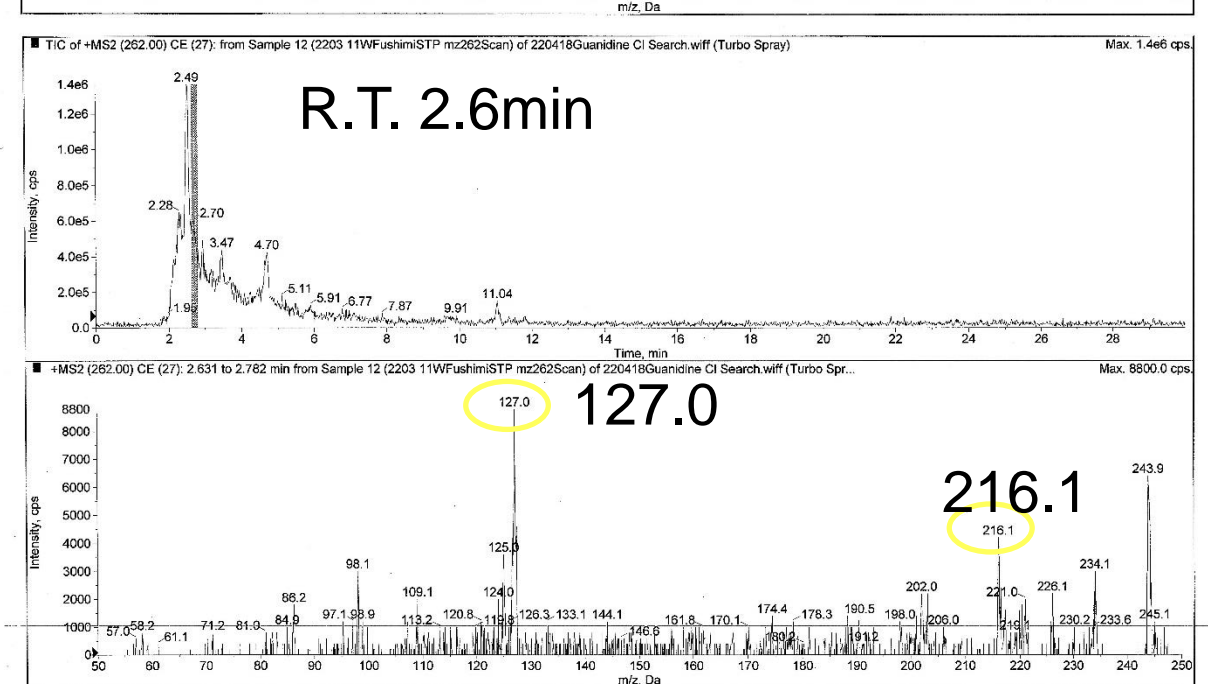


35**C** 

2.0e4 1.5e4 214.3 1.0e4 242.1 5000.0 79.1 86.0 1102.1 104.9 17.0 140.1 151.2 164.4 170.9 1 164. 120 130

**Parent** m/z 262

37**C**|



# Product Ion Scan結果 (LC-MS/MS)

| Precursors   | Precursors ( <i>m/z</i> ) | R.T. (min) | Products ( <i>m/z</i> ) |
|--|---------------------------|------------|-------------------------|
| DPG(1dH1Cl)<br>C <sub>13</sub> H <sub>11</sub> ClN <sub>3</sub> [M+H] <sup>+</sup>     | 244 ( <sup>35</sup> Cl)   | 3.2        | 171.1, 198.2, 227.1     |
|  | 246 ( <sup>37</sup> Cl)   | 3.2        | 173.3, 200.3, 229.1     |
| DPG(1CI)<br>C <sub>13</sub> H <sub>13</sub> CIN <sub>3</sub> [M+H] <sup>+</sup>        | 246 ( <sup>35</sup> Cl)   | 2.4        | 186.1, 200.2, 227.9     |
|  | 248 ( <sup>37</sup> Cl)   | 2.4        | 188.4, 202.2, 230.3     |
| DPG(1dH1O1CI)<br>C <sub>13</sub> H <sub>11</sub> CIN <sub>3</sub> O [M+H] <sup>+</sup> | 260 ( <sup>35</sup> Cl)   | 2.6        | 125.1, 2 4.3            |
|  | 262 ( <sup>37</sup> Cl)   | 2.6        | 127.0, 216.             |

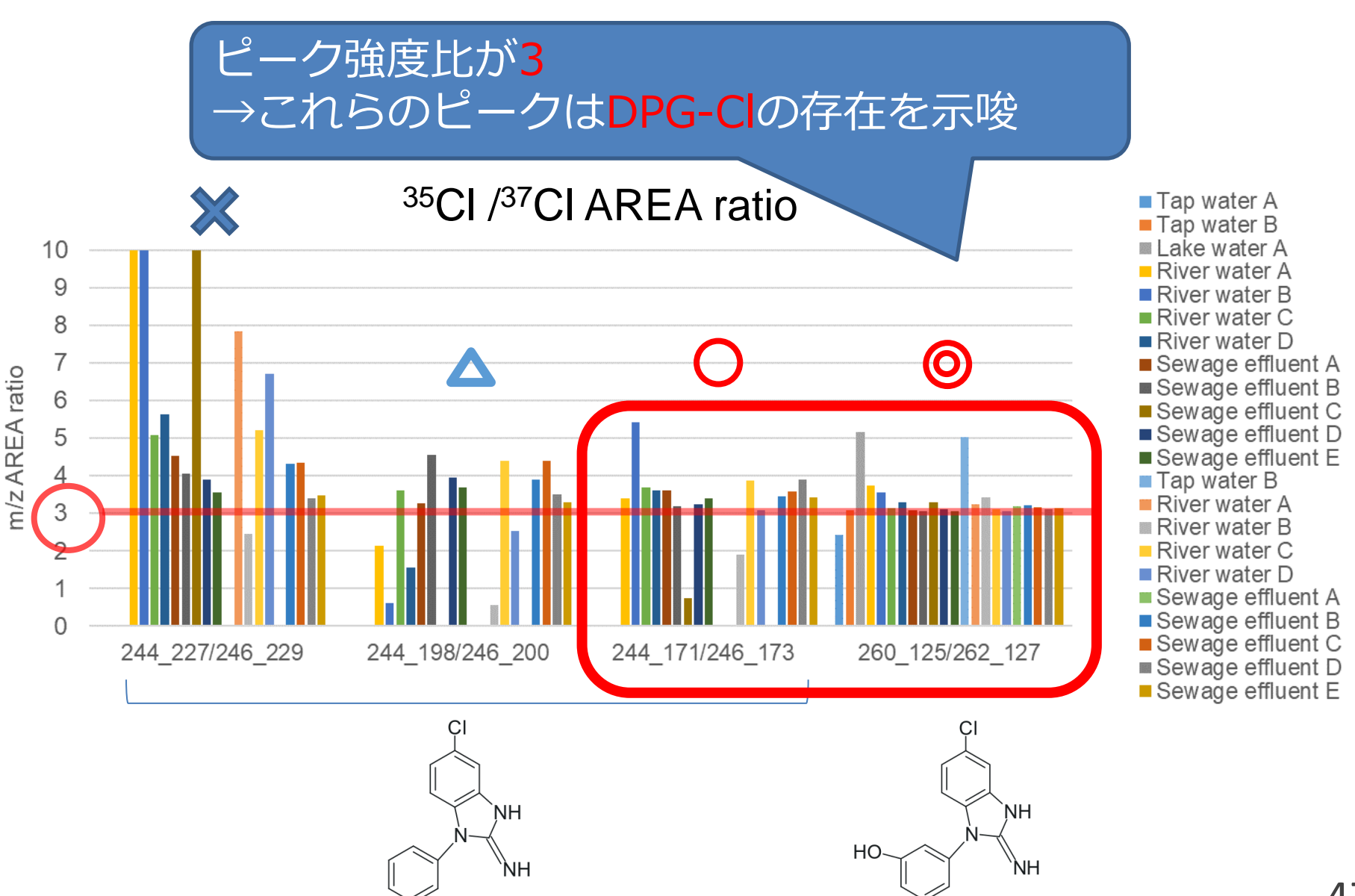
No peak

上記のSRMペアについて下水試料を分析し、ピーク強度比3 ( $^{35}CI$ :  $^{37}CI = 3:1$ ) について探索した。

| Precursors  | Precursors ( <i>m/z</i> ) | R.T. (min) | Products ( <i>m/z</i> ) |
|---|---------------------------|------------|-------------------------|
| DPG(1dH1Cl)<br>C <sub>13</sub> H <sub>11</sub> ClN <sub>3</sub>     | 244 ( <sup>35</sup> Cl)   | 3.2        | 171.1, 198.2, 227.1     |
|   | 246 ( <sup>37</sup> Cl)   | 3.2        | 173.3, 200.3, 229.1     |
| DPG(1dH1O1CI)<br>C <sub>13</sub> H <sub>11</sub> CIN <sub>3</sub> O | 260 ( <sup>35</sup> Cl)   | 2.6        | 125.1                   |
|   | 262 ( <sup>37</sup> Cl)   | 2.6        | 127.0                   |
|   |                           |            |                         |

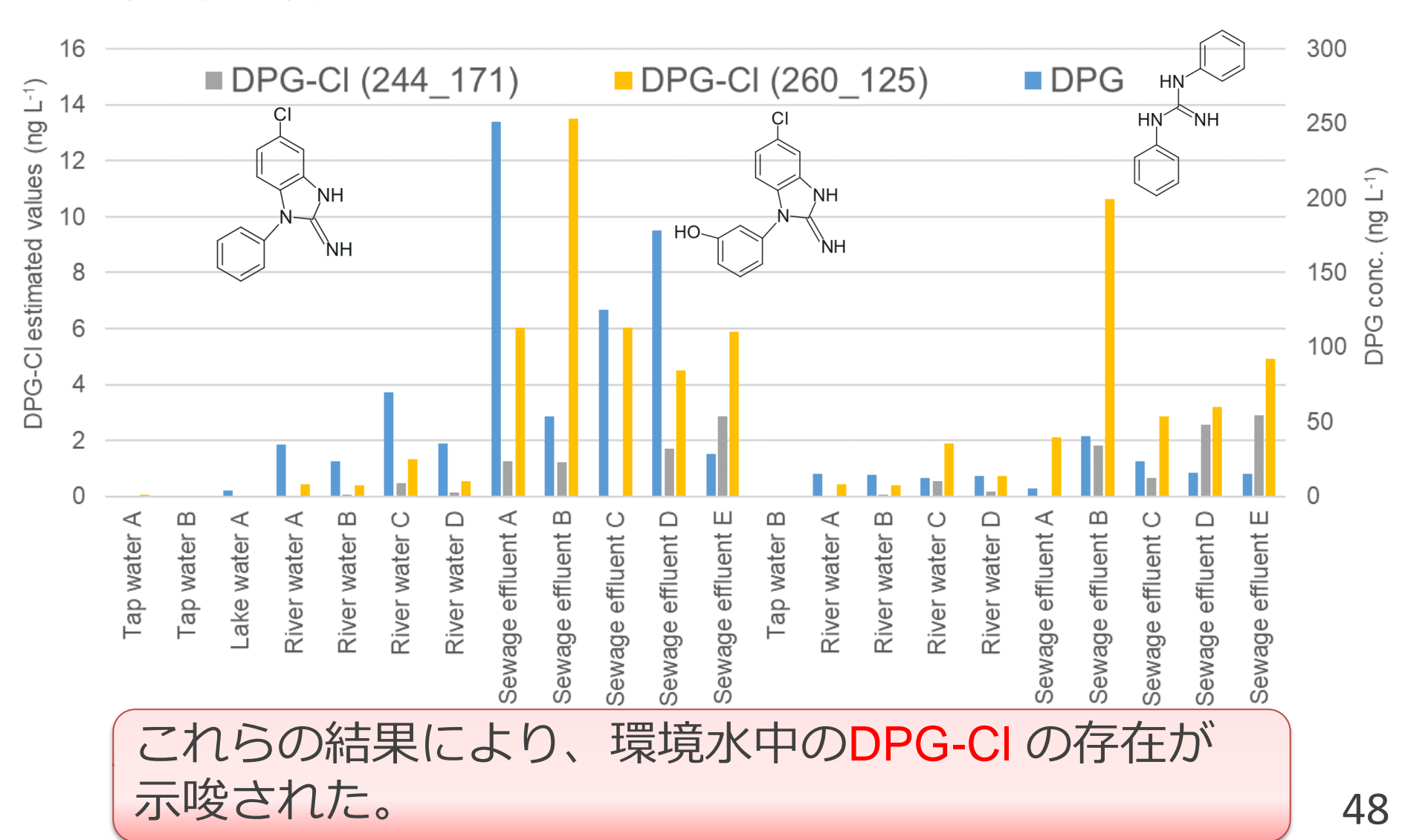
上記のSRMペアについて淀川試料の分析を実施した。

# 淀川試料のDPG-CI探索(LC-MS/MS)

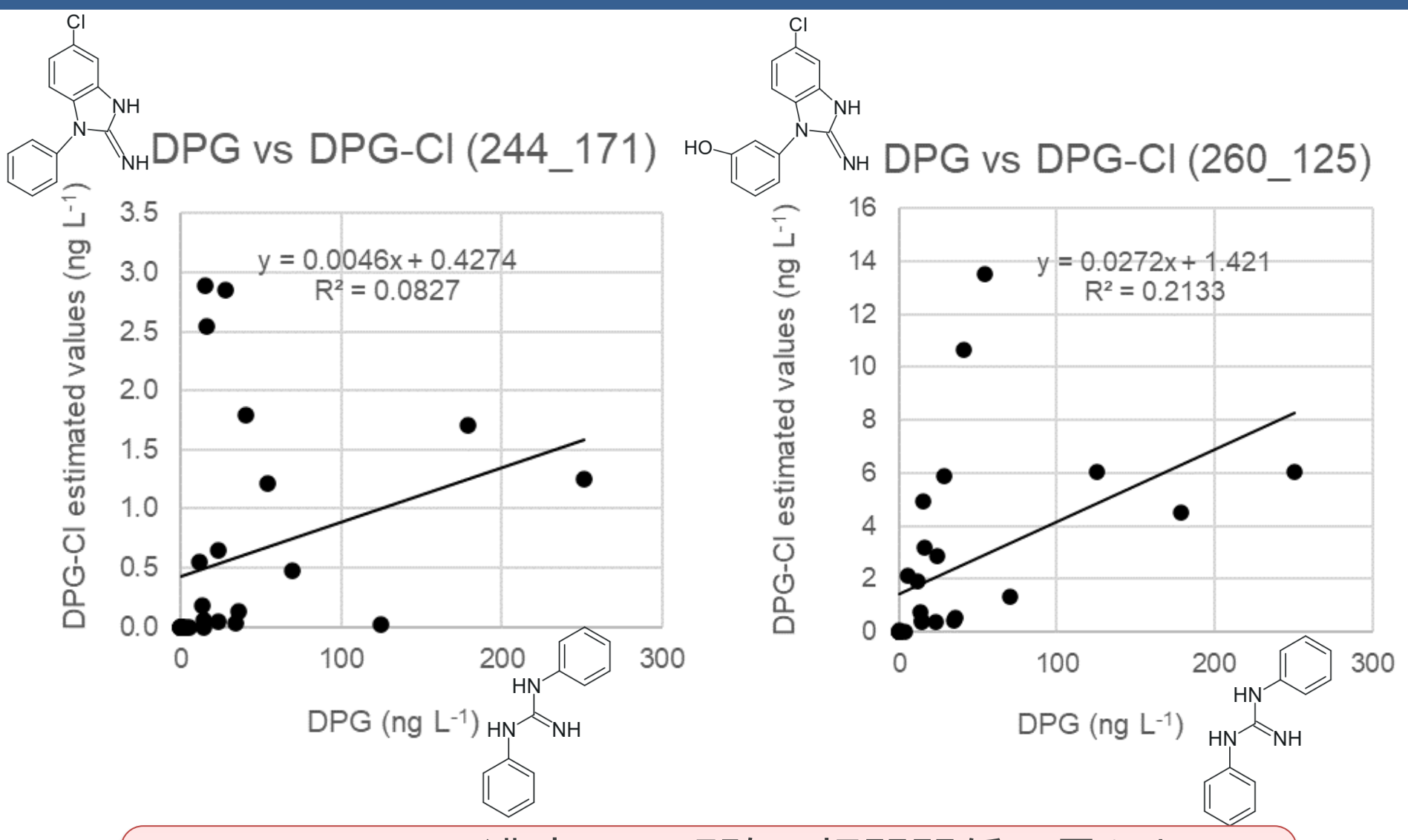


# 淀川試料のDPG-CI探索(LC-MS/MS)

DPG-CI の感度はDPG と同一と想定し, DPG標準液を用いてDPG-CI 推定値を算出した。



## 淀川試料のDPGとDPG-CIの相関



DPG とDPG-CI 濃度には明確な相関関係は見られなかった

#### まとめ

- ✓ LC-QTOFMS及びLC-MS/MSを用いてDPG-CIの探索を実施
- ✓ 先行研究でDPG-CI反応が示されたが、我々がDPG-CI反応を実施 し、LC-QTOFMS測定したところ、先行研究とは異なる反応機構を 推定
- ✓ LC-QTOFMSで検出されたシグナルから複数のDPG-CIをアサイン
- ✓ LC-MS/MS (Product Ion Scan) を用いて環境試料中のDPG-CI探索 を実施
- ✓ ピーク強度比3 (35Cl: 37Cl = 3:1) について探索し, 2ペアのSRMを DPG-CIと推定。環境水中のDPG-CIの存在を示唆。
- ✓ 今後は NMRを用いて DPG-CIの構造解析を進める予定

#### 謝辞

本研究は、

JSPS 科研費 JP20K12214 の助成を受けて実施しました。 ここに感謝の意を表します。



DPG-CI was named according to the following rules

- ✓ Dehydrogenation and cyclization at one place ->1dH
- √Oxygen atom is added at one place ->10
- ✓ Chlorine atom is added at one place -> 1Cl







# PCDD/Fs分析におけるポリ塩素化ジフェニルエーテルの妨害とその除去に関する検討

地方独立行政法人北海道立総合研究機構 産業技術環境研究本部 エネルギー・環境・地質研究所 環境保全部 リスク管理グループ 主査 姉崎克典





#### ダイオキシン類分析における塩素化ジフェニルエーテルの影響

塩素化ジフェニルエーテ ル

ポリ塩化ジベンゾフラ

**HxDPE HpDPE**  $O_{C}$ **DPF** 

#### 塩素が2つ抜けると質量数が同じに

排ガスや土壌・底質試料で前処理で取り切れず、 PCDFのクロマトに影響が出ている事例が散見

HxDPE(6塩素化

DPE)

HpDPE(7塩素化

DPE)

DPE)

TeCDF(4塩素化フラ ン)

PeCDF(5塩素化フラ

OcDPE リテンションタイムがほぼ同じ領域を化フラ

ン)





#### 実験方法

#### 試料

北海道内で採取した湖沼底質(A湖、S湖) 2022年度第7回 MLAP 技能試験試料(河川底質)

#### 底質

#### 抽出

トルエンでのソックスレー抽出(16h) or ASE(トルエン、150℃ 静置15分 サイクル2)

#### 前処理

硫酸処理+還元銅処理+多層カラム処理

— PCDFsクリーンアップSP添加

#### 分取

活性炭分散シリカゲル処理(1g)

試料をチャージ後30分静置し溶出

Fr1: ヘキサン 40mL

Fr2: 25%ジクロロメタン/ヘキサン 65mL(有・

無)

Fr3: 活性炭部をカイロで保温し、トルエン 250mL





#### 実験方法

(つづき) PCDFsシリンジSP添加 濃縮 25µLののノナン溶液 HRGC/HRMS測定 BPX-DXN 及び RH12ms TeCDFs — HxDPE

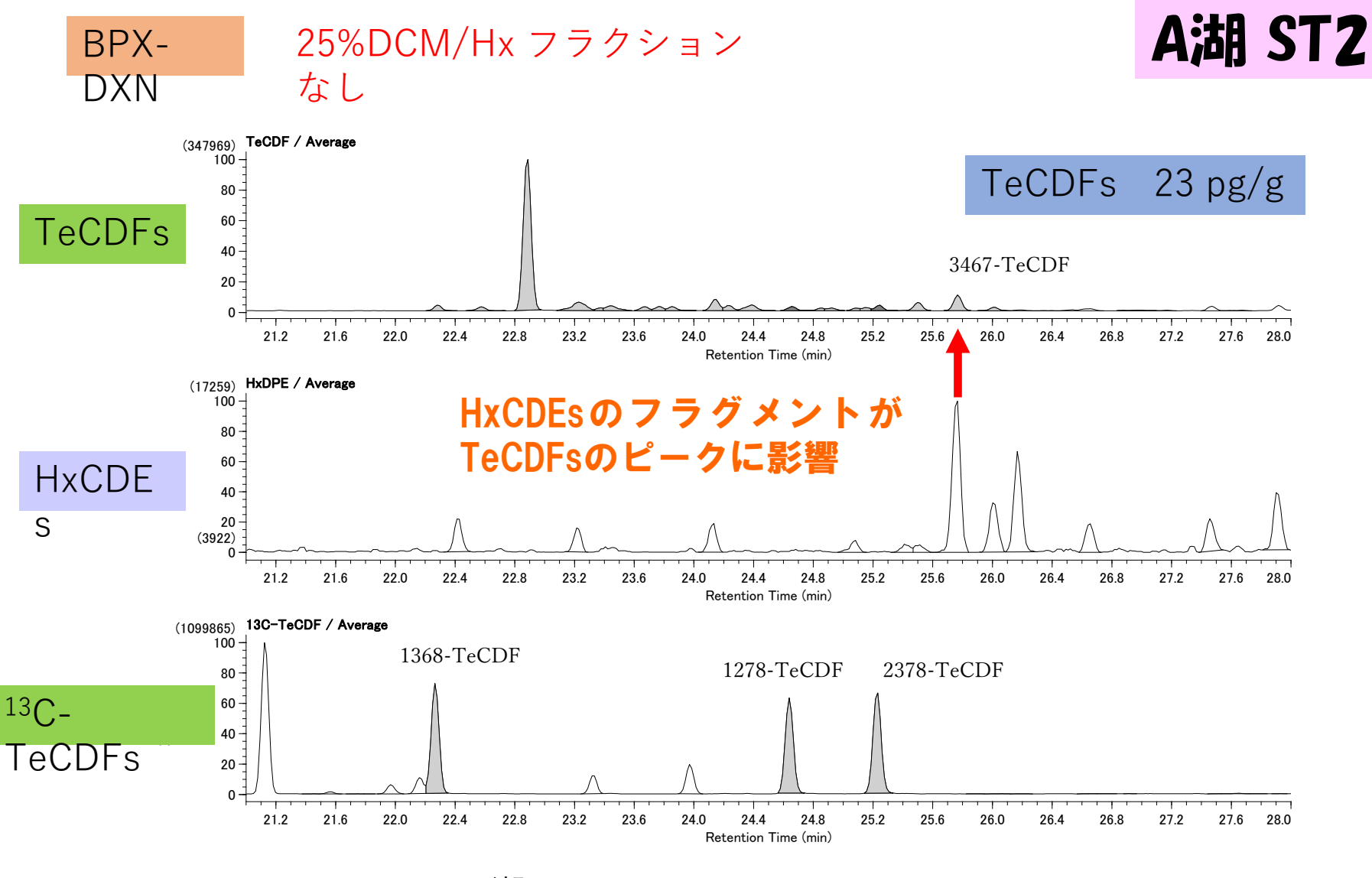
TeCDFs — HxDPE PeCDFs — HpDPE HxCDFs — O c DPE

それぞれのクロマトグラムを比較 して、PCDEの影響を目視

PCDEのフラグメントの影響が認められる場合は、定量値への影響を検討



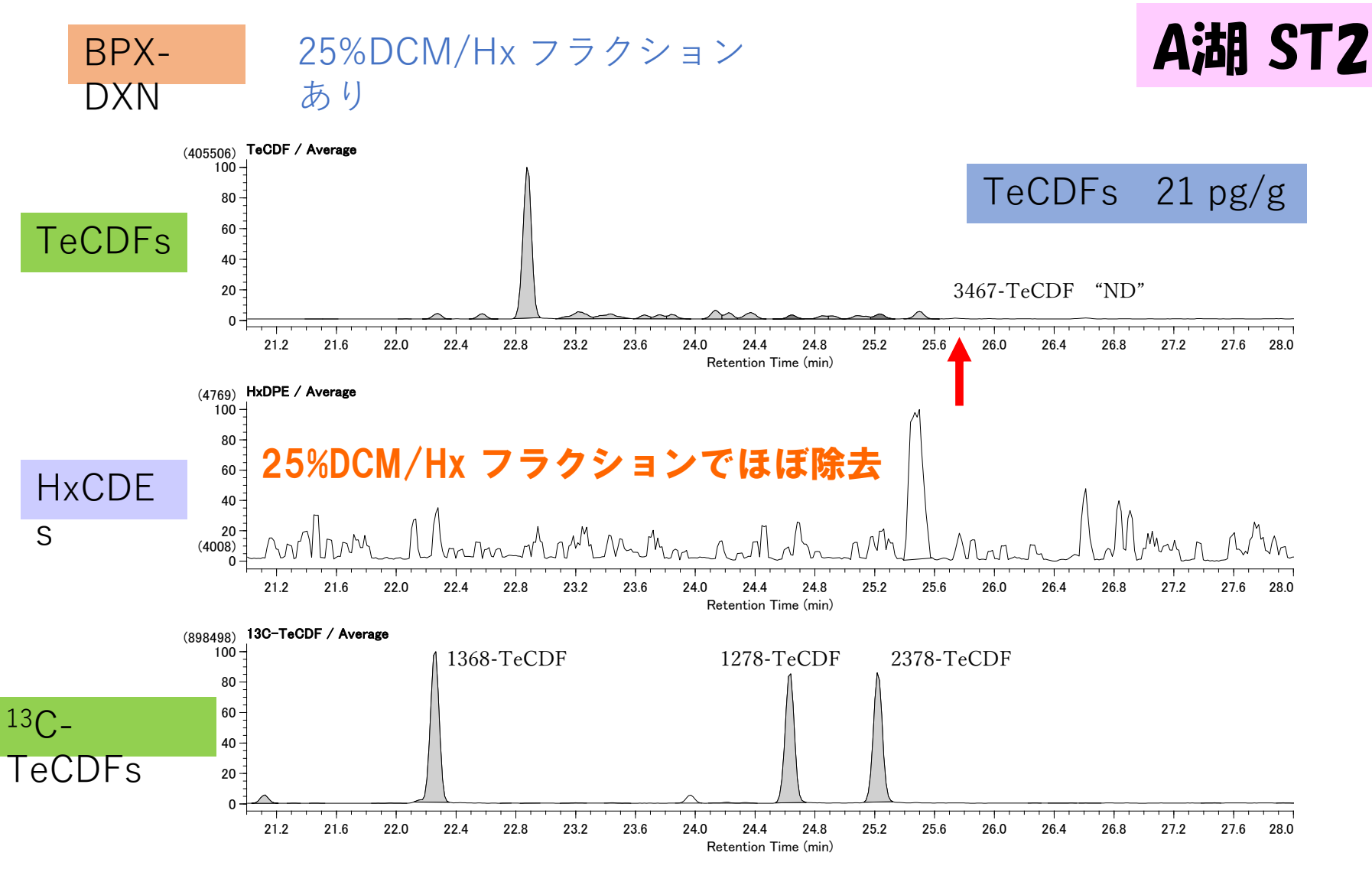








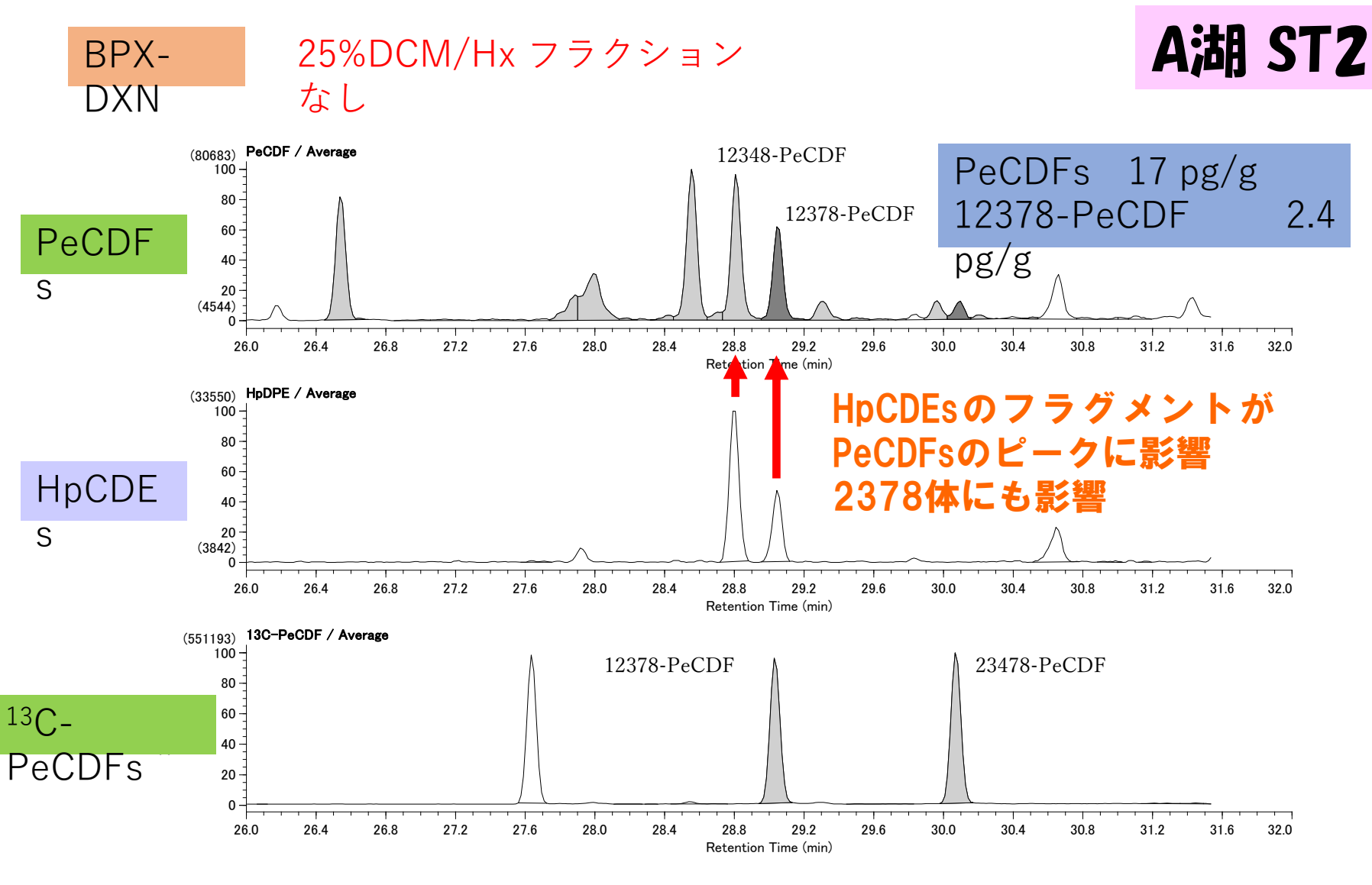




A湖 ST2 TeCDF vs HxCDE



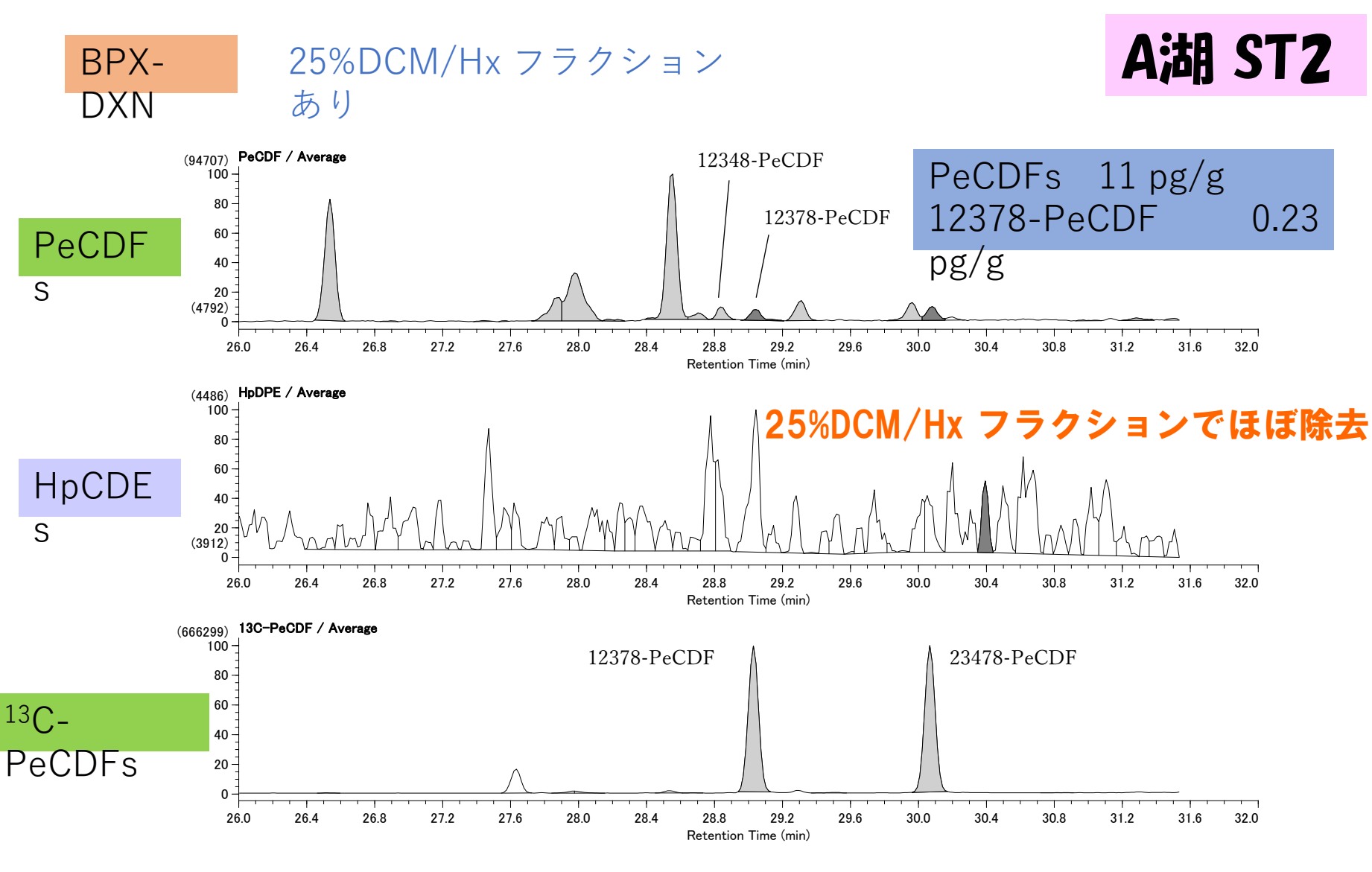




A湖 ST2 PeCDF vs HpCDE



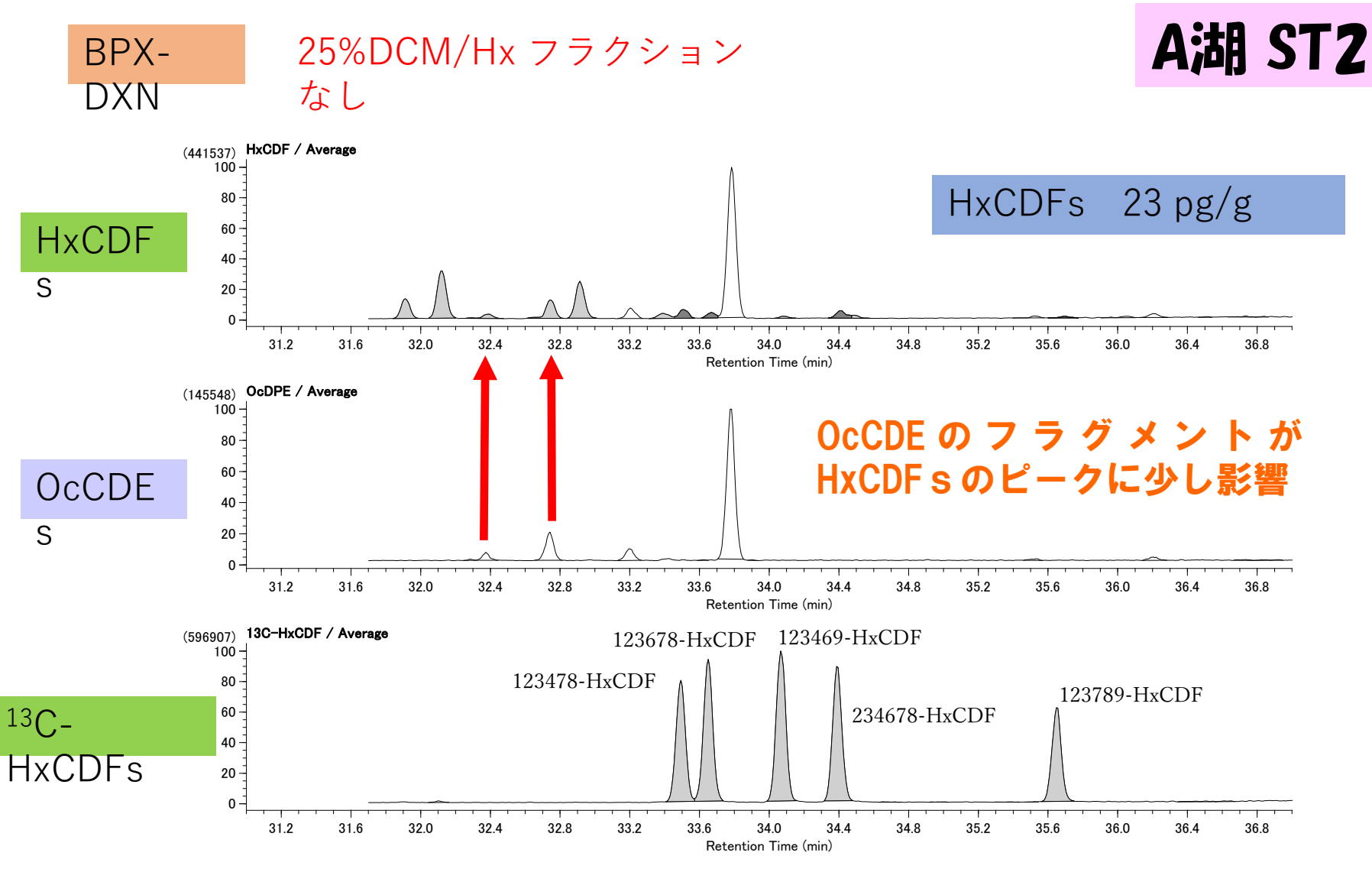




A湖 ST2 PeCDF vs HpCDE



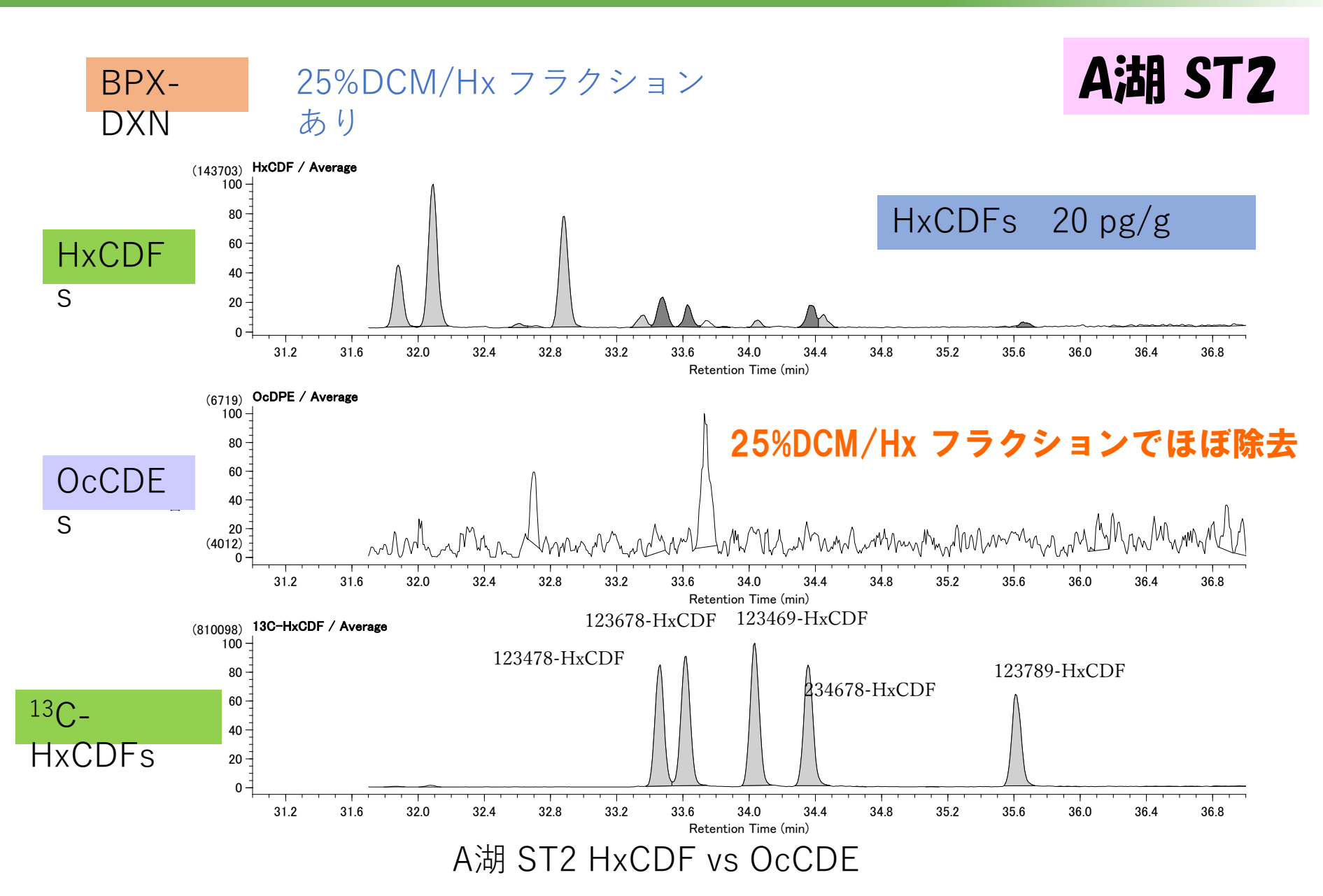




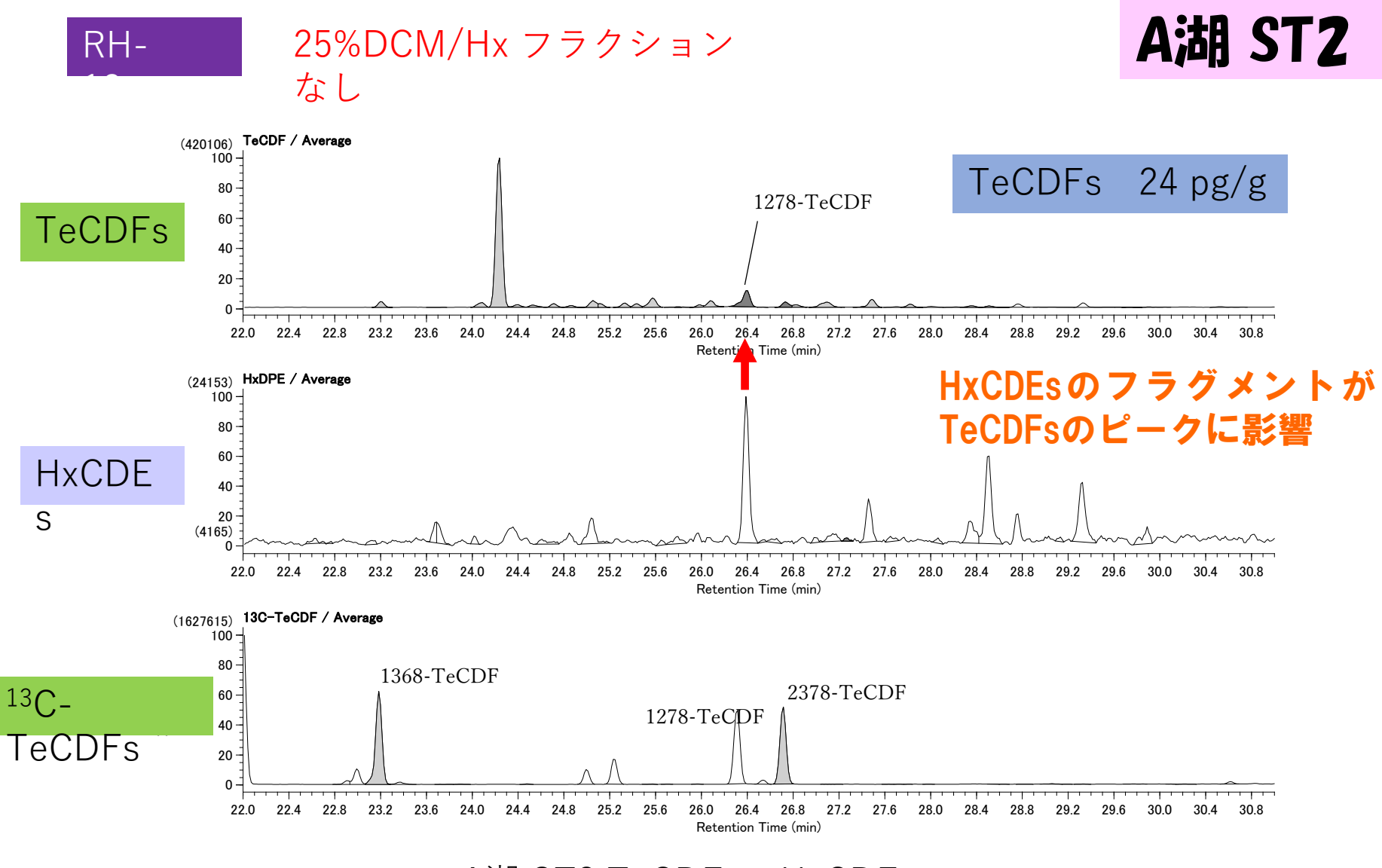
A湖 ST2 HxCDF vs OcCDE





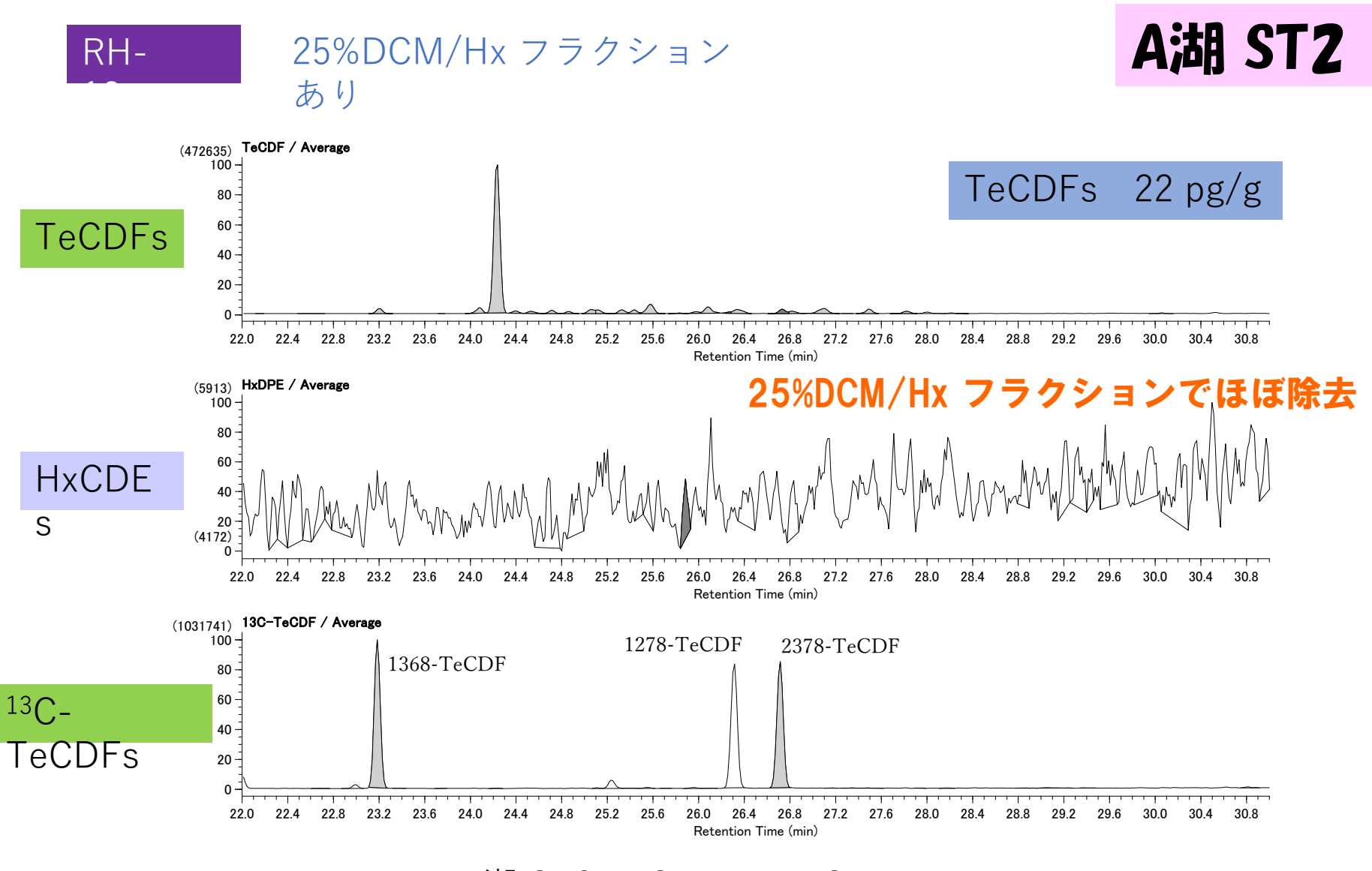






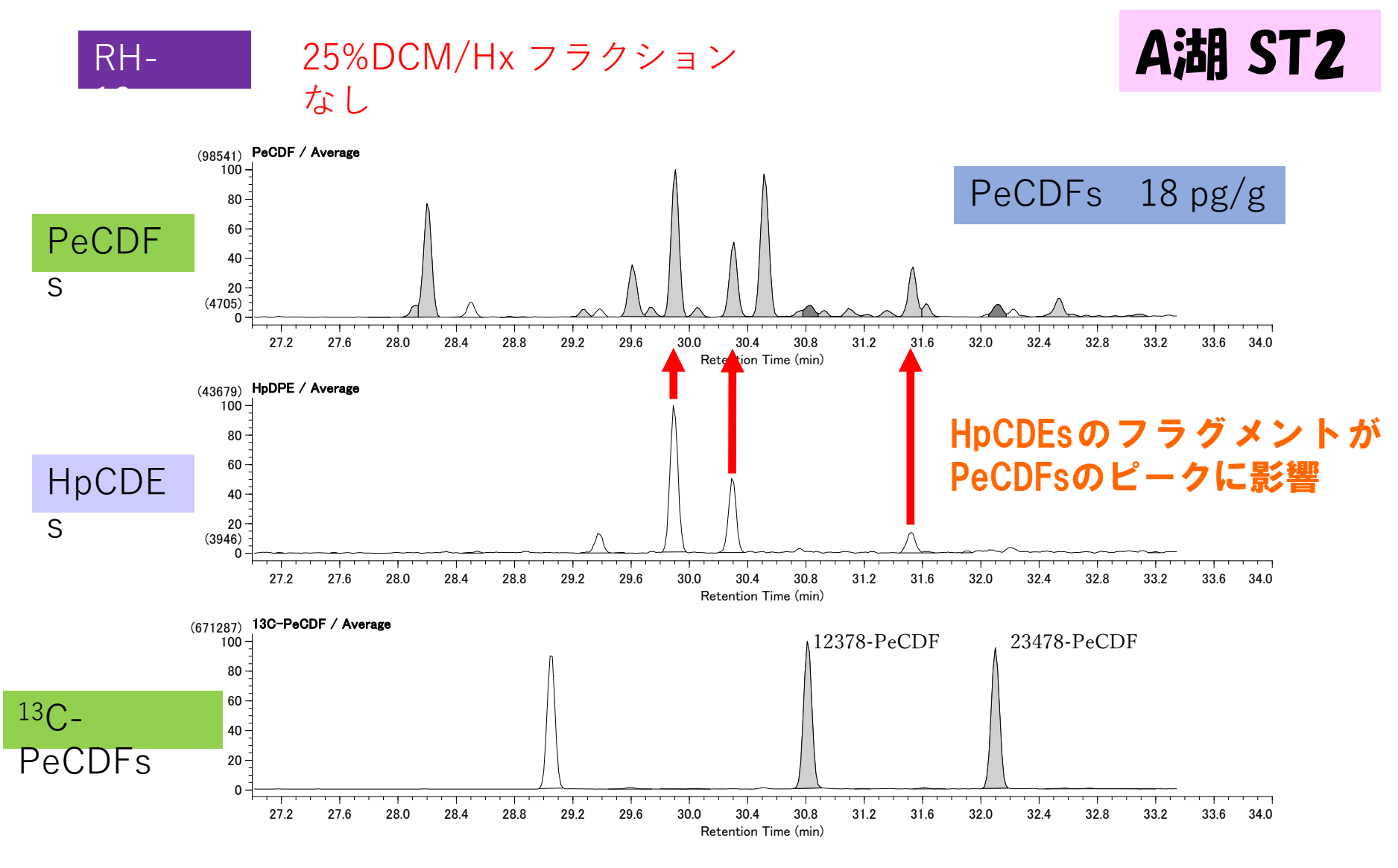








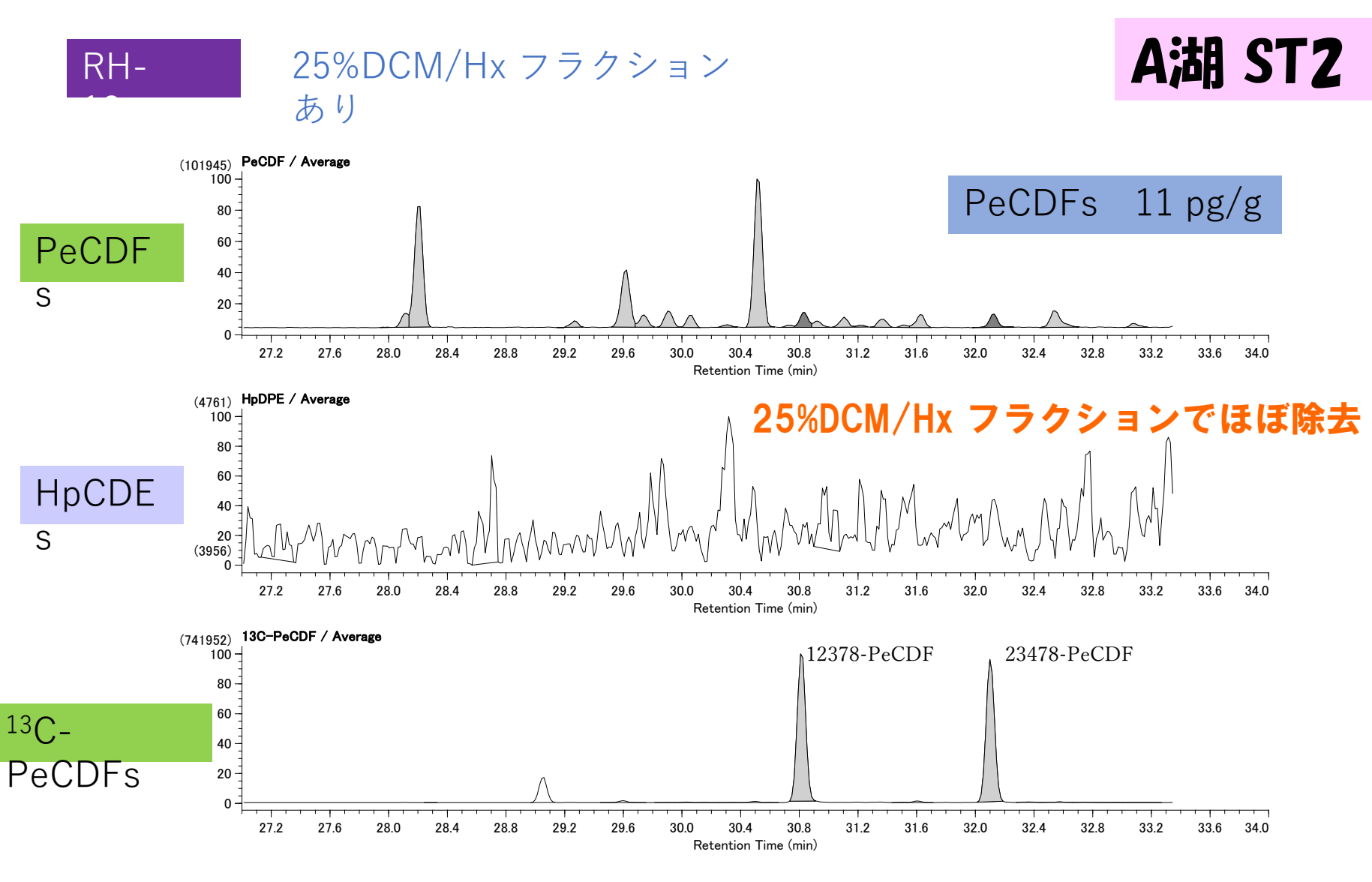




A湖 ST2 PeCDF vs HpCDE

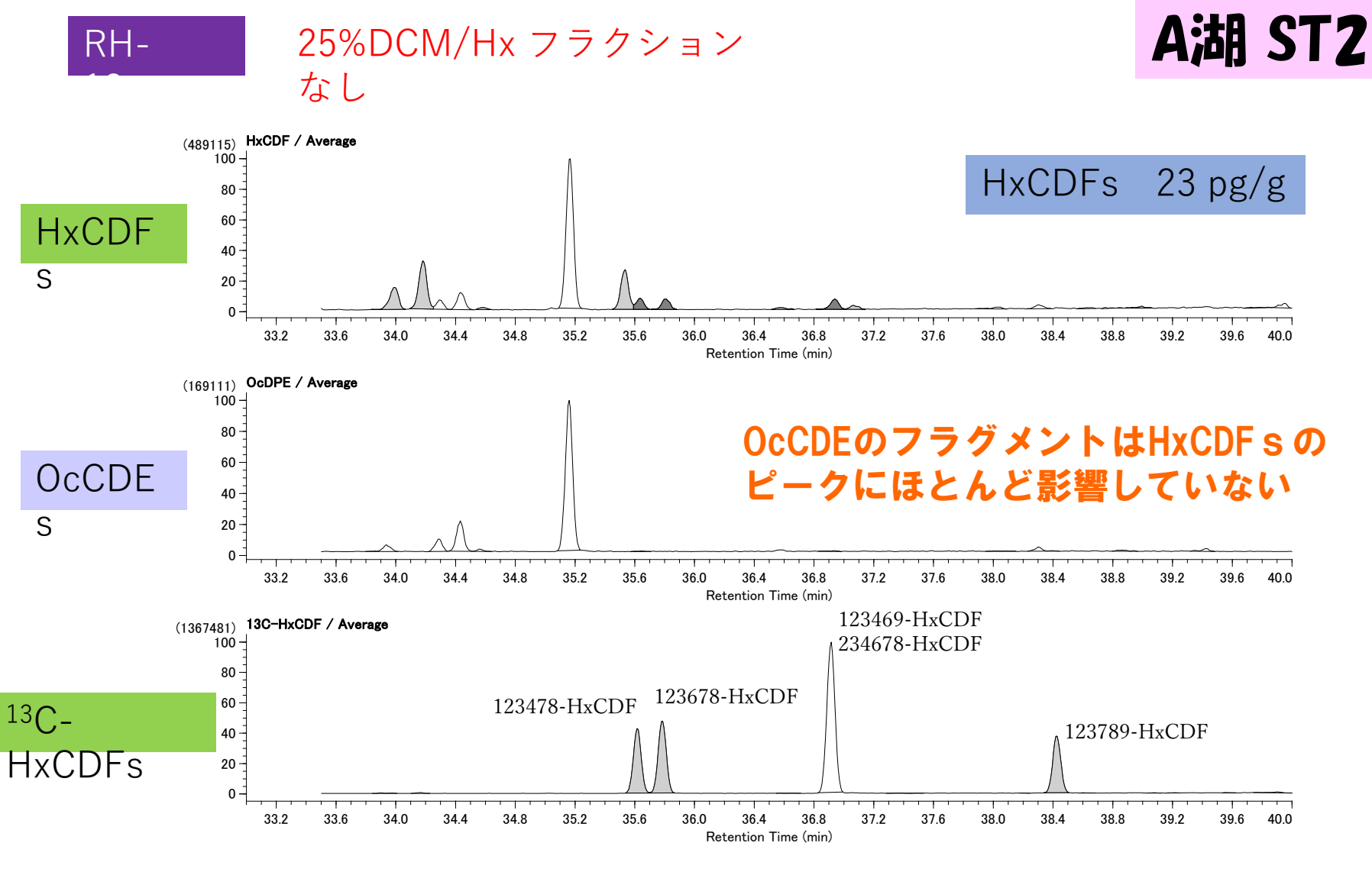






A湖 ST2 PeCDF vs HpCDE

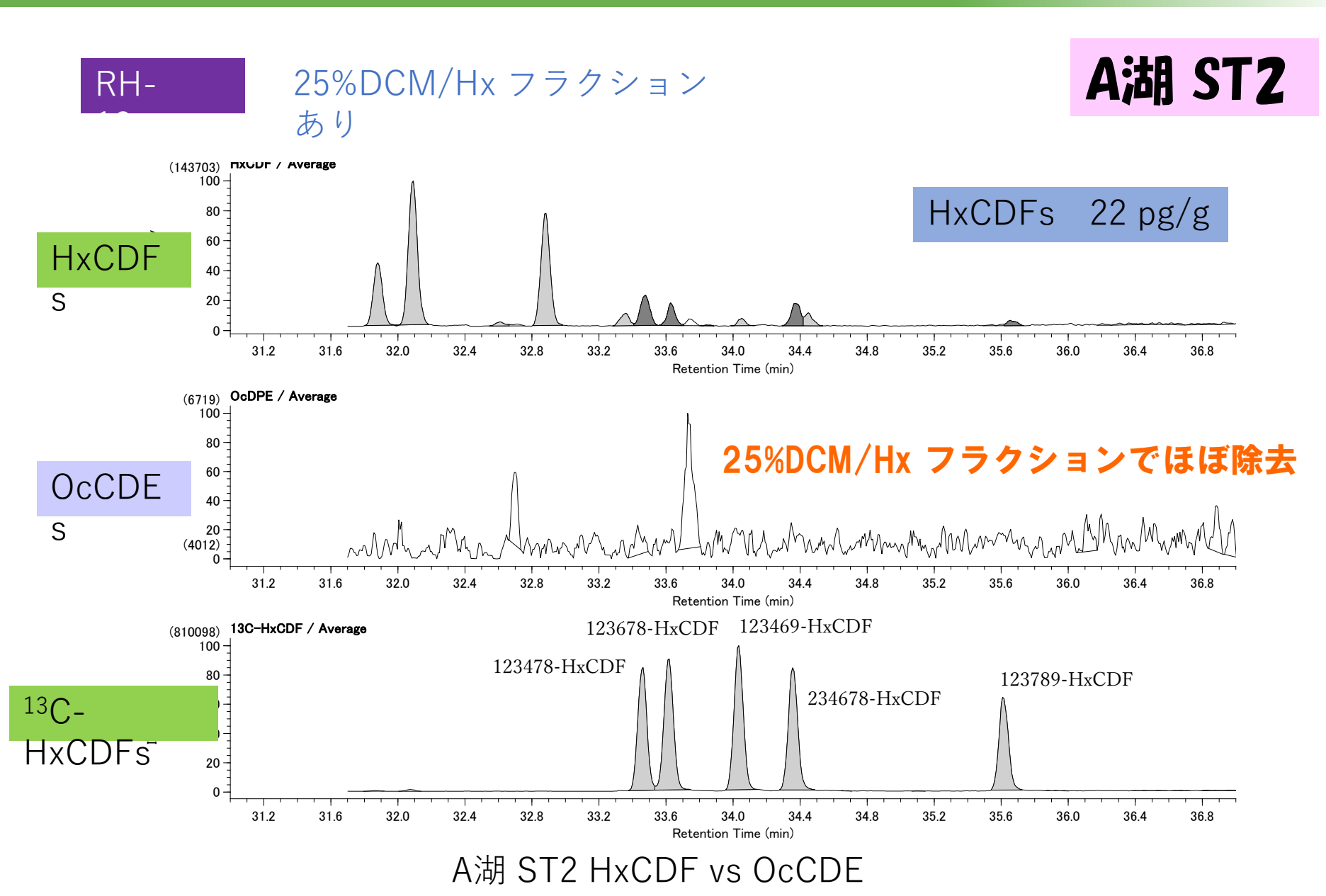




A湖 ST2 HxCDF vs OcCDE









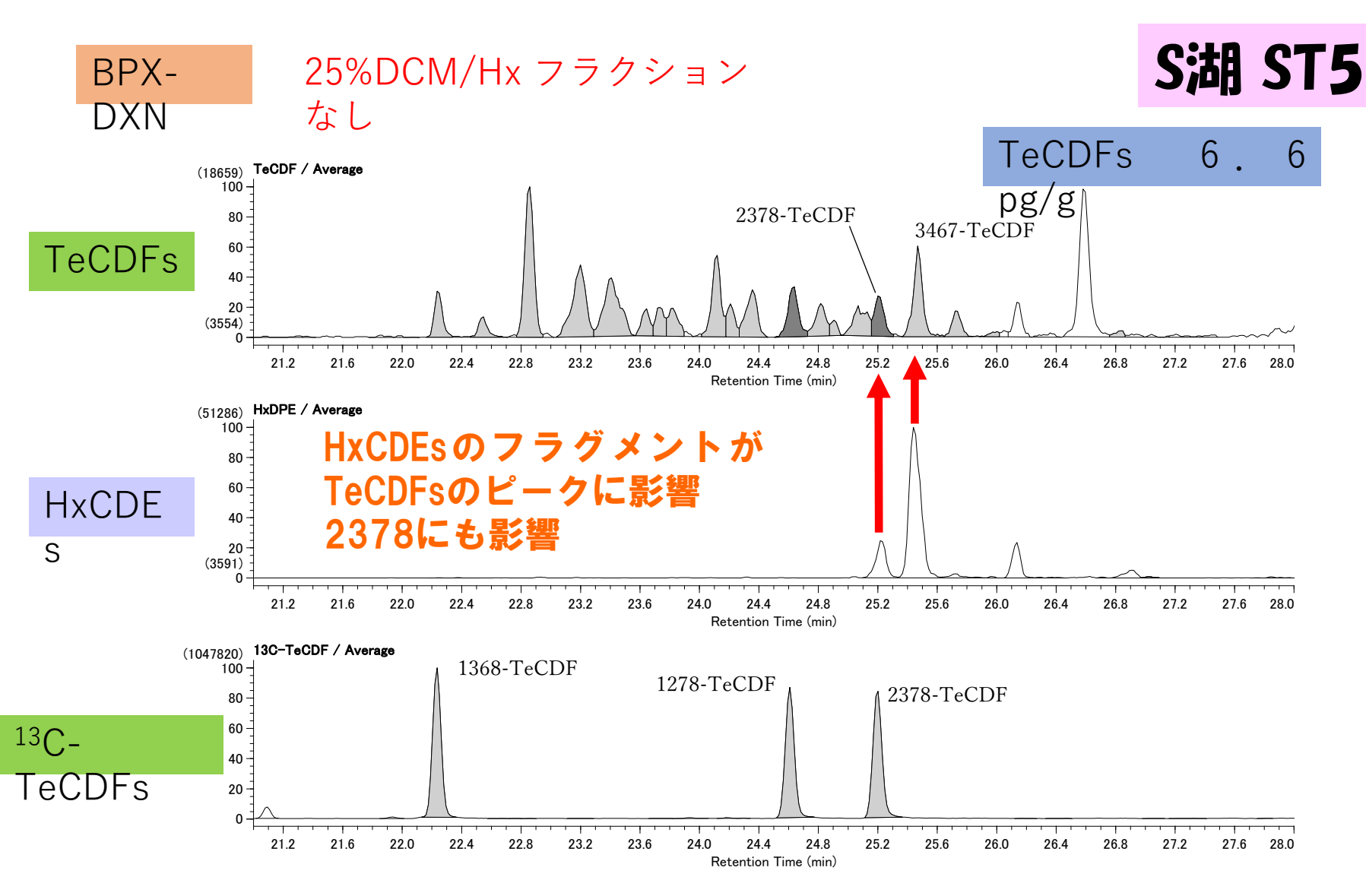


|               | BPX-DXN<br>25%DCM Frなし | BPX-DXN<br>25%DCM Frあり | RH12ms<br>25%DCM Frなし | RH12ms<br>25%DCM Frあり |
|---------------|------------------------|------------------------|-----------------------|-----------------------|
| 2,3,7,8-TeCDF | 0.46                   | 0.50                   | 0.50                  | 0.45                  |
| TeCDFs        | 23                     | 21                     | 24                    | 22                    |
| 12378-PeCDF   | 2.4                    | 0.23                   | 0.29                  | 0.30                  |
| 23478-PeCDF   | _                      | _                      | 0.43                  | 0.32                  |
| PeCDFs        | 17                     | 11                     | 18                    | 11                    |
| 123478-HxCDF  | 1.2                    | 1.4                    | 1.5                   | 1.5                   |
| 123678-HxCDF  | 0.64                   | 0.76                   | _                     | _                     |
| 234678-HxCDF  | 1.1                    | 0.90                   | _                     | _                     |
| HxCDFs        | 23                     | 20                     | 23                    | 22                    |

A湖 ST2 定量結果



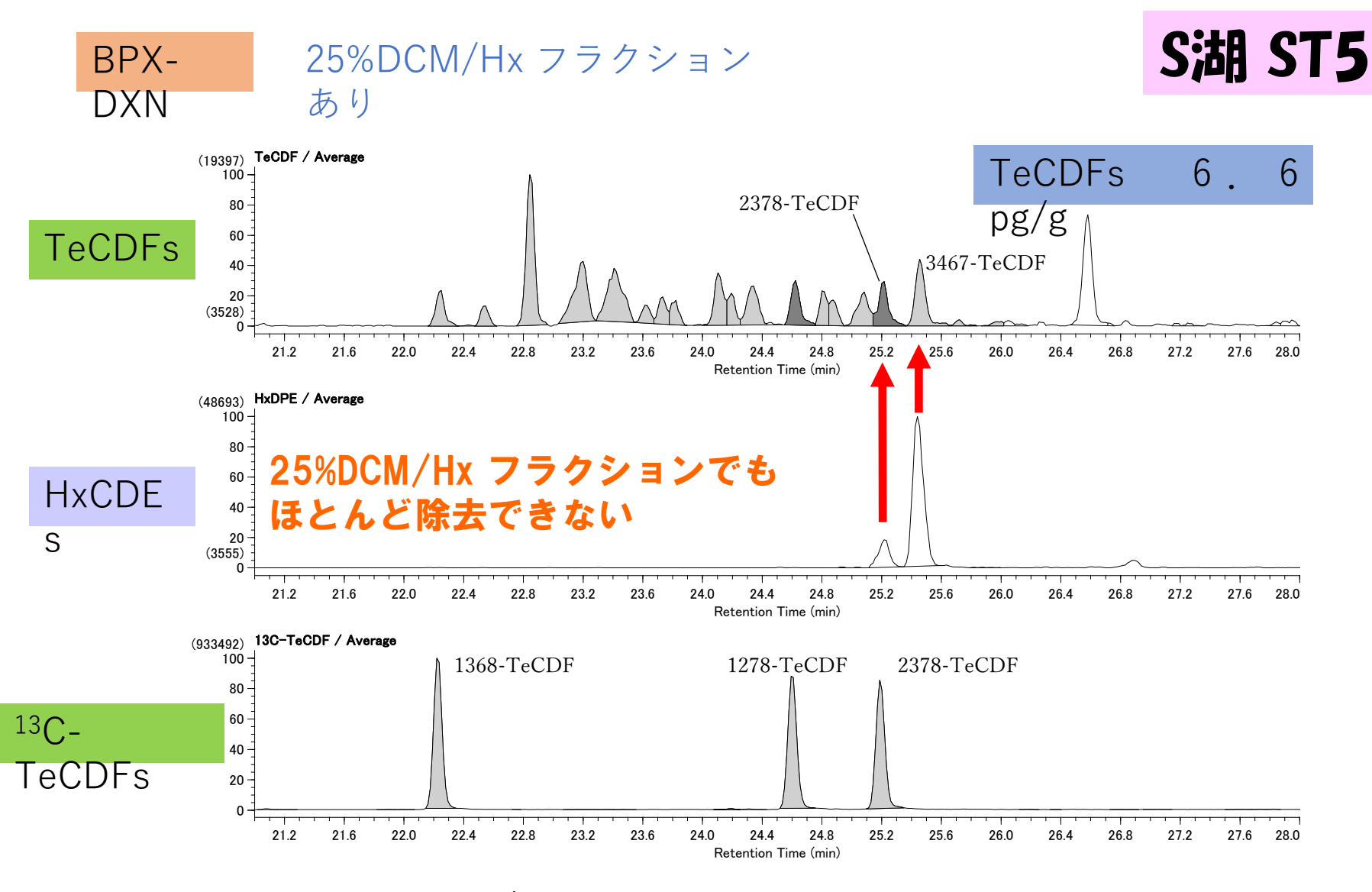




S湖 ST5 TeCDF vs HxCDE



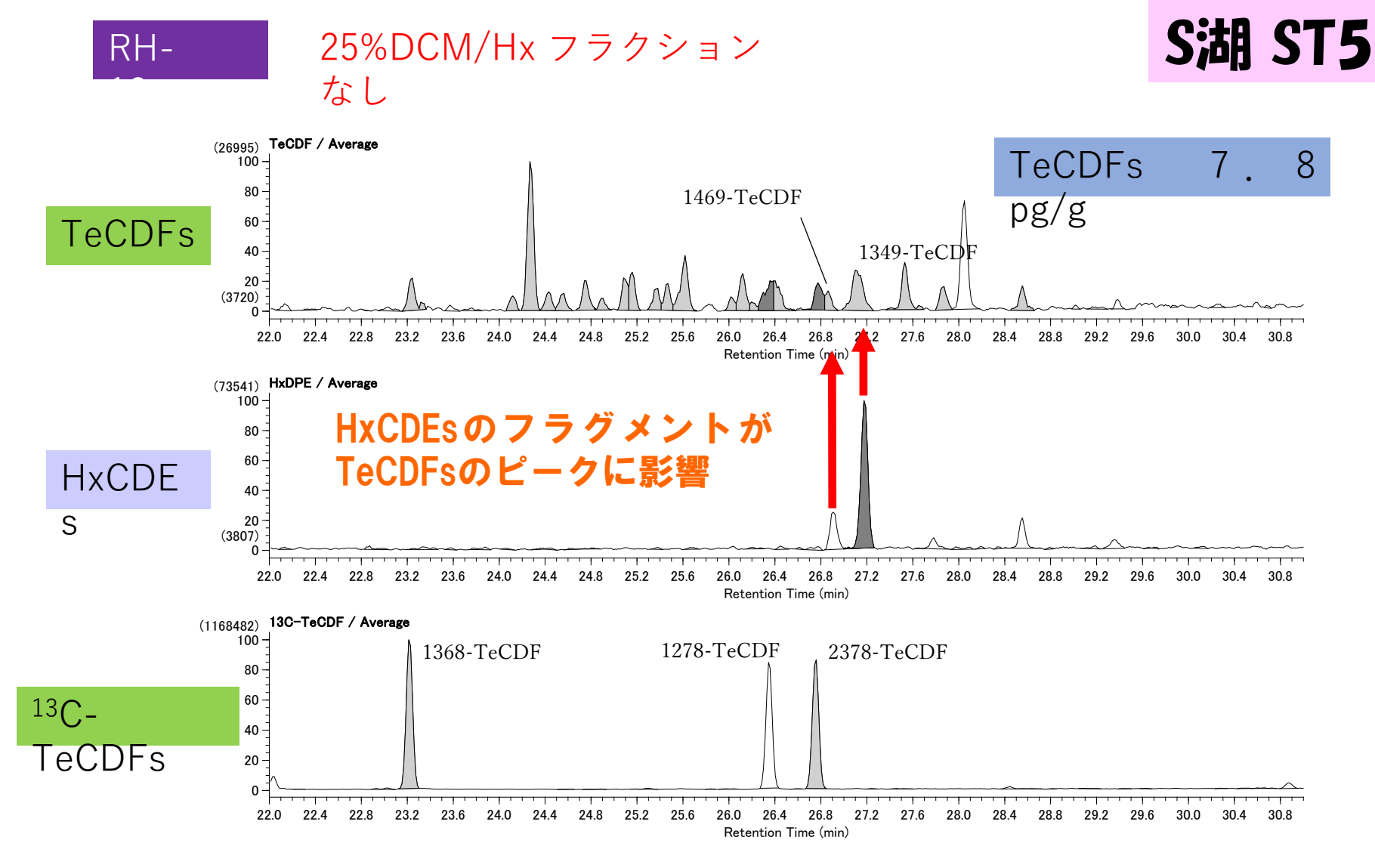




S湖 ST5 TeCDF vs HxCDE

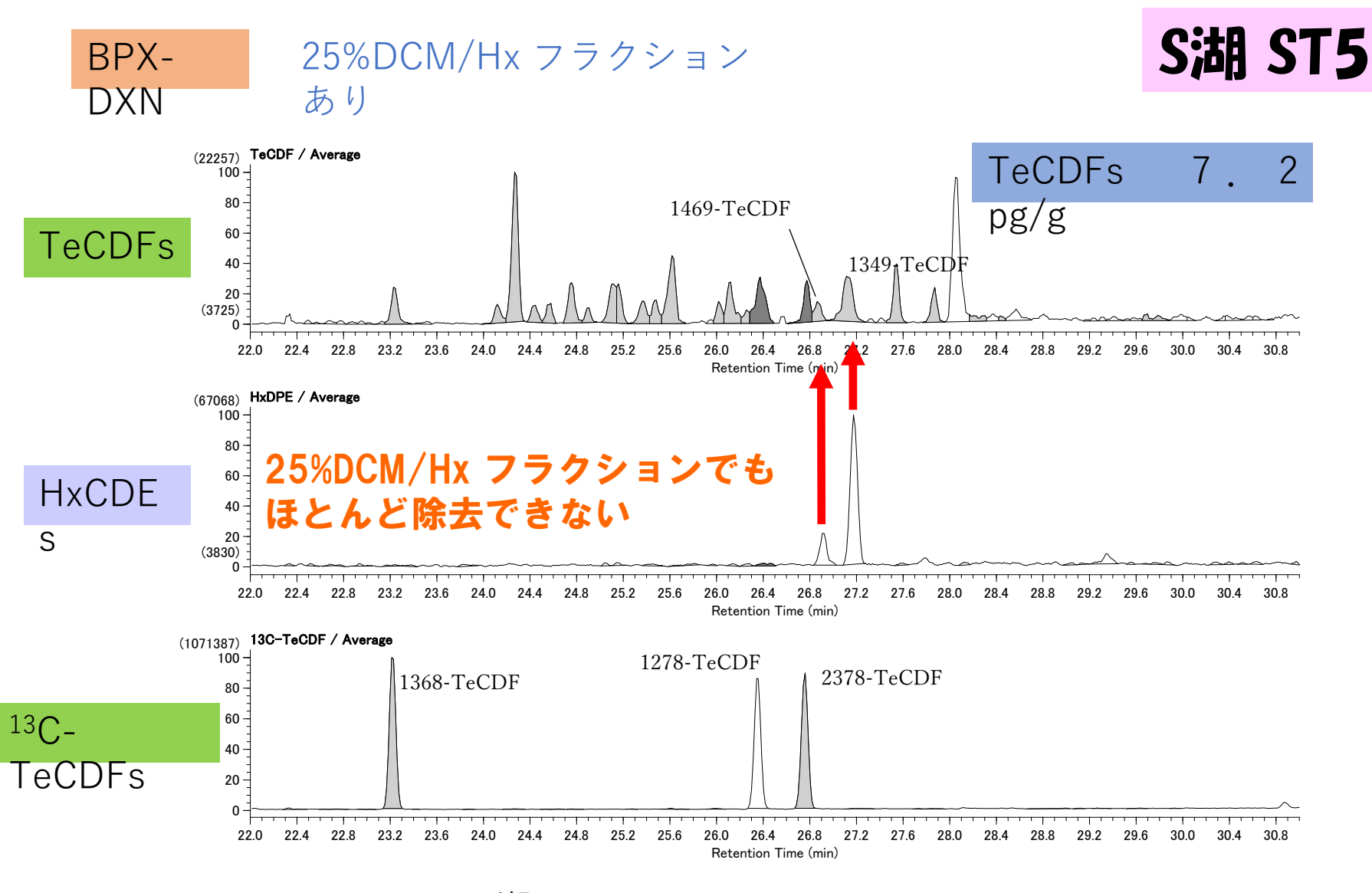






S湖 ST5 TeCDF vs HxCDE





A湖 ST2 TeCDF vs HxCDE



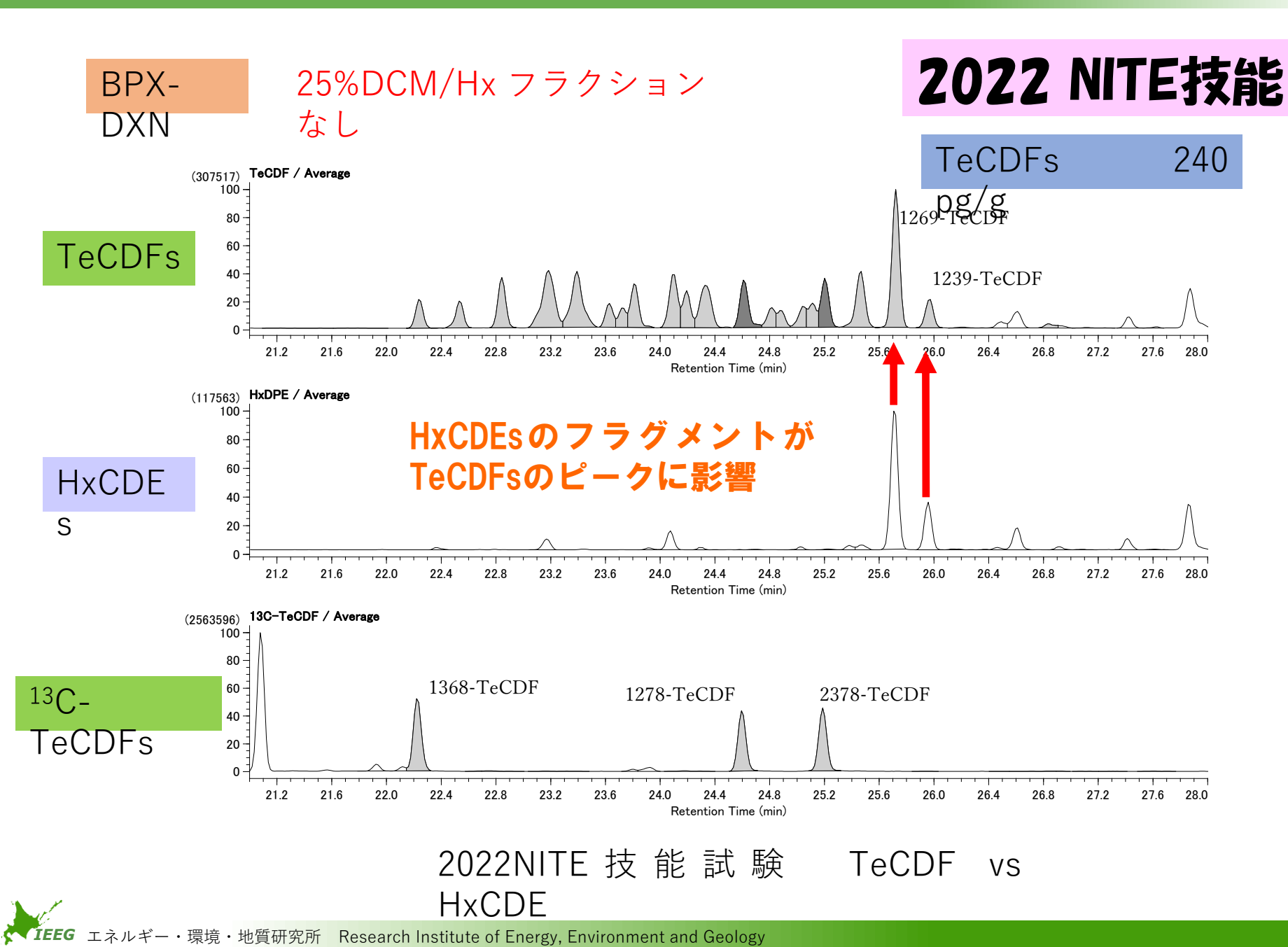


|               | BPX-DXN<br>25%DCM Frなし | BPX-DXN<br>25%DCM Frあり | RH12ms<br>25%DCM Frなし | RH12ms<br>25%DCM Frあり |
|---------------|------------------------|------------------------|-----------------------|-----------------------|
| 2,3,7,8-TeCDF | 0.3                    | 0.4                    | 0.3                   | 0.3                   |
| TeCDFs        | 6.6                    | 6.6                    | 7.8                   | 7.2                   |
| 12378-PeCDF   | 0.3                    | 0.1                    | 0.3                   | 0.3                   |
| 23478-PeCDF   | -                      | -                      | 0.2                   | 0.2                   |
| PeCDFs        | 4.0                    | 3.8                    | 4.6                   | 4.7                   |
| 123478-HxCDF  | 0.4                    | 0.4                    | 0.5                   | 0.2                   |
| 123678-HxCDF  | 0.3                    | 0.2                    | -                     | -                     |
| 234678-HxCDF  | 0.3                    | 0.4                    | -                     | -                     |
| HxCDFs        | 2.9                    | 3.2                    | 4.1                   | 3.4                   |

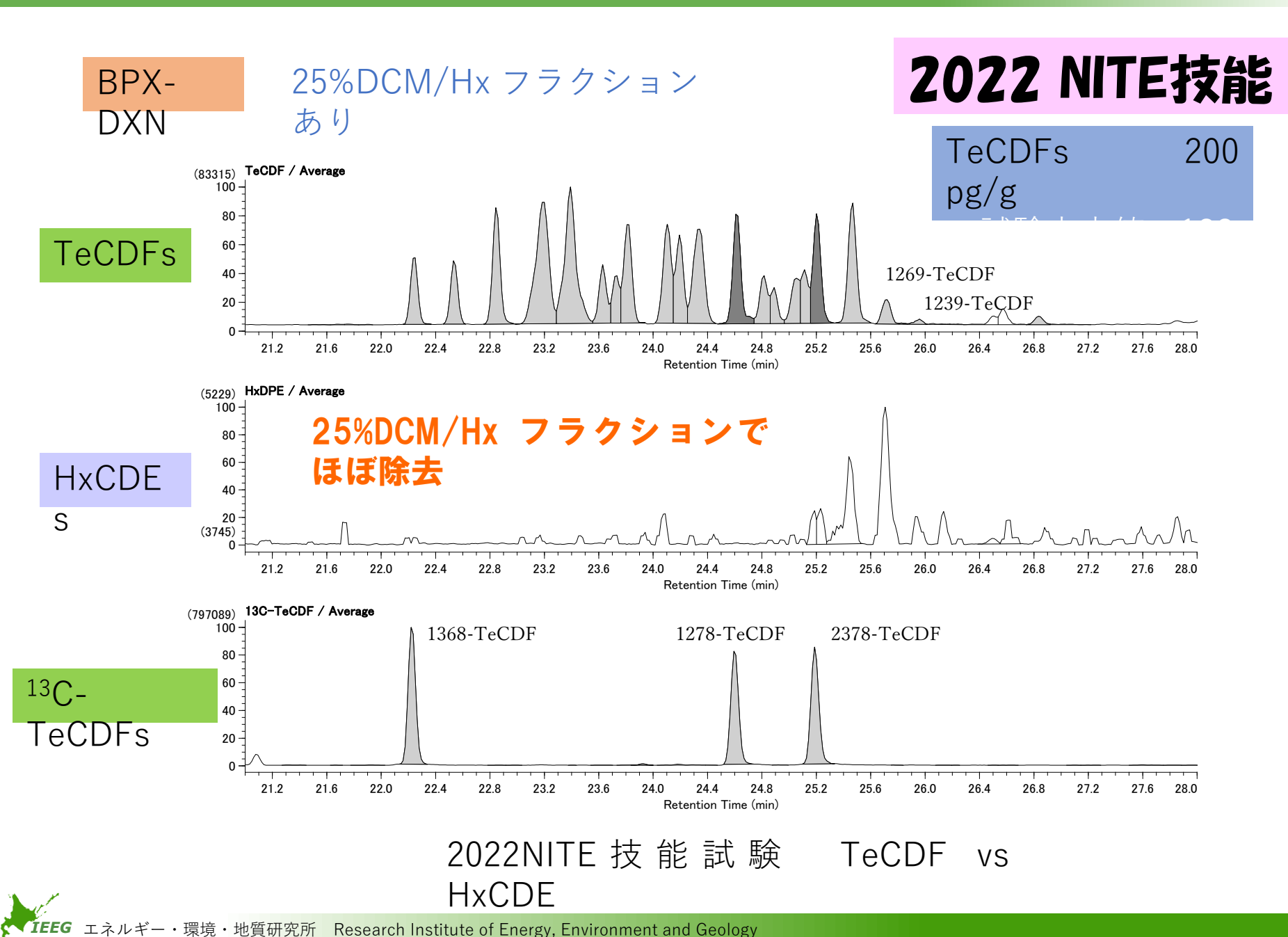
S湖 ST5 定量結果



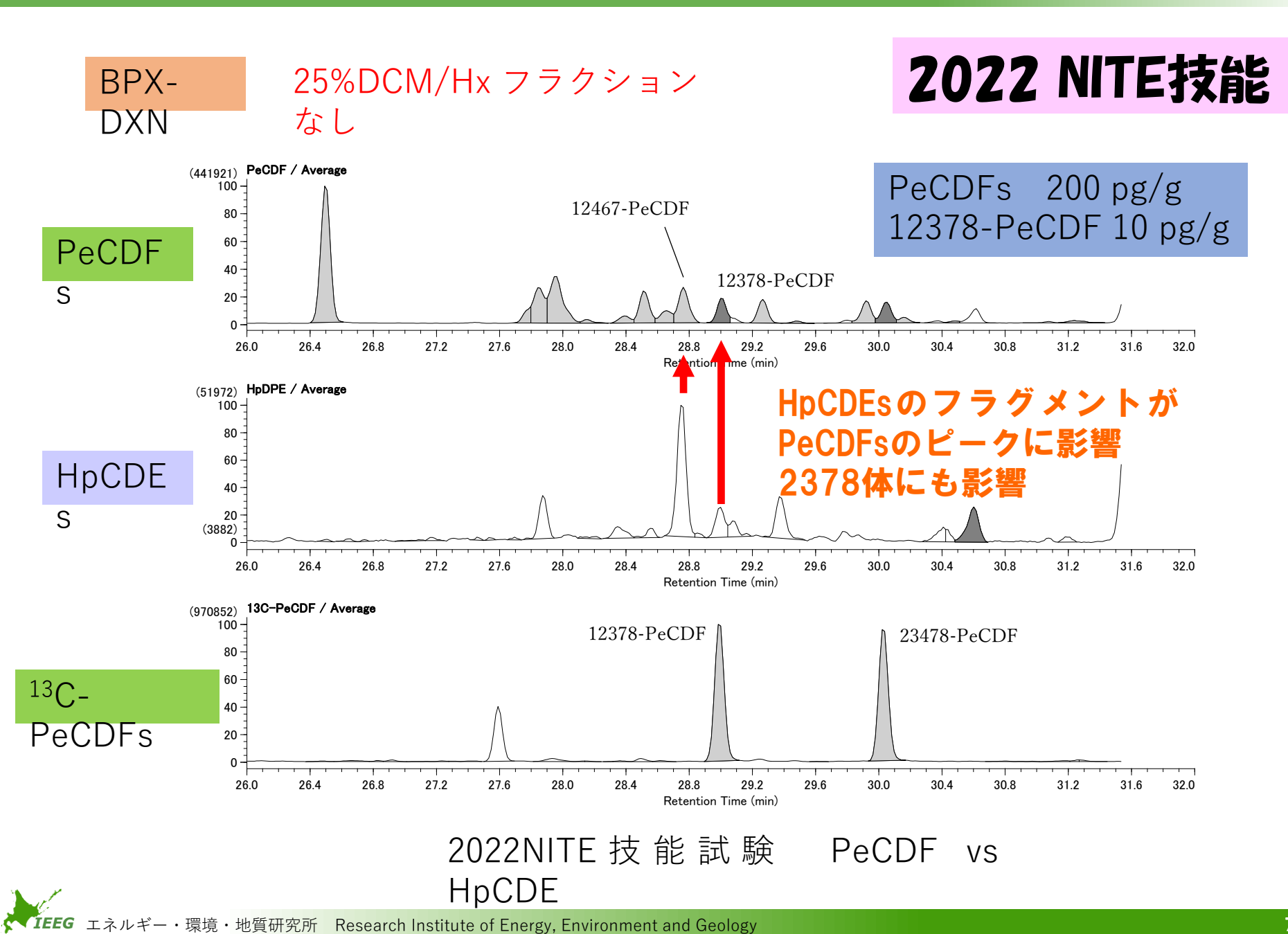




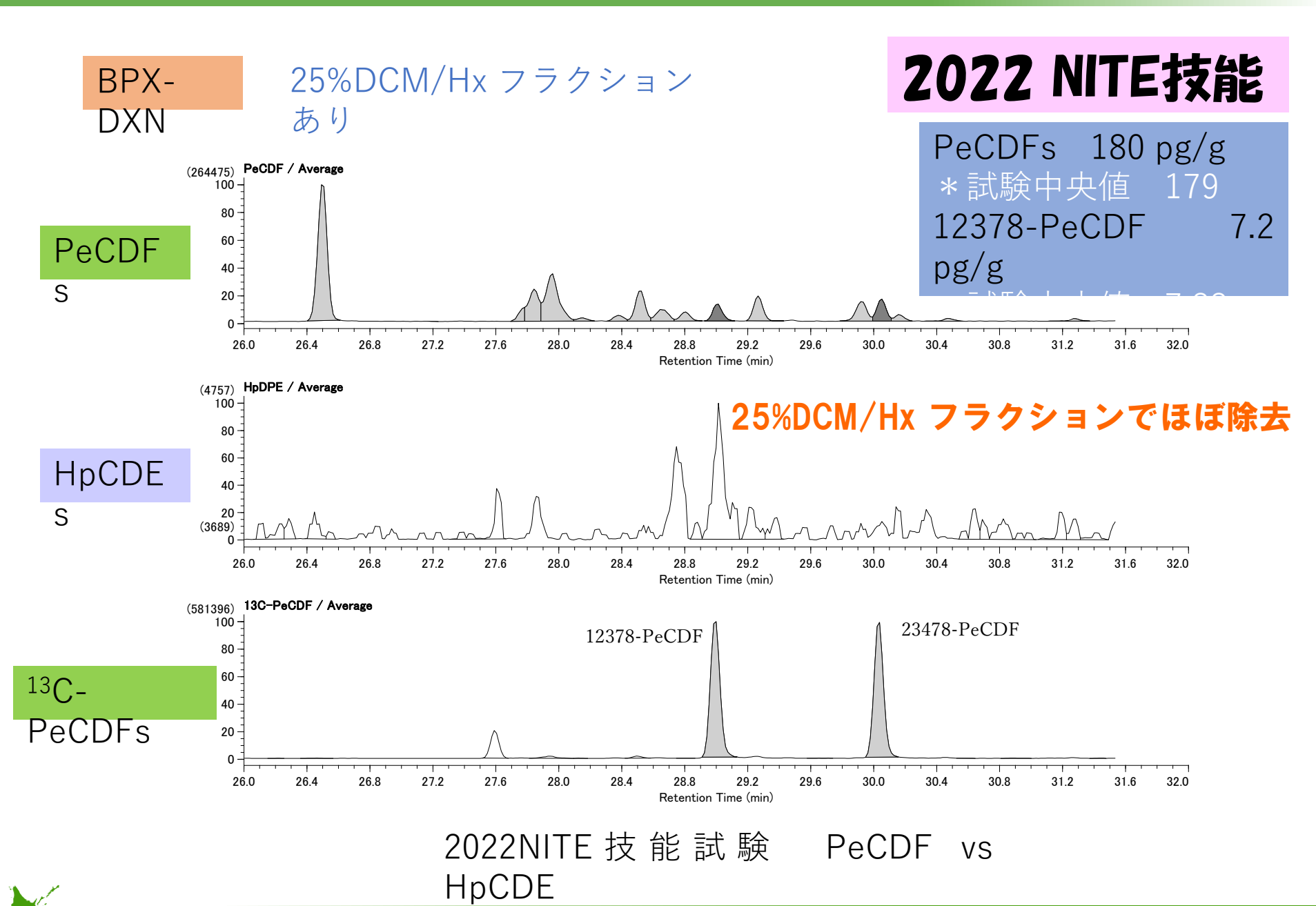














80

|               | BPX-DXN<br>25%DCM Fr<br>なし | BPX-DXN<br>25%DCM Fr<br>あり | RH12ms<br>25%DCM Fr<br>なし | RH12ms<br>25%DCM Fr<br>あり | 技能試験<br>中央値 |
|---------------|----------------------------|----------------------------|---------------------------|---------------------------|-------------|
| 2,3,7,8-TeCDF | 12                         | 13                         | 14                        | 13                        | 12.6        |
| TeCDFs        | 240                        | 200                        | 240                       | 200                       | 188         |
| 12378-PeCDF   | 10                         | 7.2                        | 8.5                       | 7.4                       | 7.88        |
| 23478-PeCDF   | -                          | -                          | 10                        | 8.7                       | 9.12        |
| PeCDFs        | 200                        | 180                        | 210                       | 180                       | 179         |
| 123478-HxCDF  | 17                         | 18                         | 20                        | 21                        | 18.2        |
| 123678-HxCDF  | 9.3                        | 11                         | -                         | -                         |             |
| 234678-HxCDF  | 12                         | 11                         | -                         | -                         |             |
| HxCDFs        | 240                        | 230                        | 280                       | 270                       | 229         |

2022NITE技能試験 定量結果



# まとめ

- ・塩素化ジフェニルエーテル(DPE)により、BPX-DXNのキャピラリーカラムでは、一部のPCDFの2,3,7,8体にフラグメントがかぶる
- ・RH-12キャピラリーカラムでは、2,3,7,8体にかぶることはないが、その他のコンジェナーにかぶる
- ・そのため、とちらのキャピラリーカラムを用いても、精確な 同族体濃度を把握できない場合がある。
- ・活性炭シリカゲルで、25%DCM/Hxフラクションに大部分のDPEは移行するので、PCDFとの分離は可能
- しかし、HxDPEの一部は除去できず、TeCDFsのコンジェ ナーにかぶる場合がある。

確実な除去方法はあるか 今主流の自動前処理装置を使った場合はどうなるか・・・ HPLCは・・・ アルミナ処理は・・・



## 今後ともよろしくお願いいたします。



地方独立行政法人 北海道立総合研究機構 産業技術環境研究本部 エネルギー・環境・地質研究所

http://www.hro.or.jp/

環境保全部 リスク管理グループ 姉崎克典 TEL 011-747-3521 FAX 011-747-3254 E-mail to anezaki@hro.or.jp







UoA RTI Platformの保持指標変換法で算出可能な LC保持指標の検討

○松神 秀徳(国立環境研究所) 頭士 泰之(産業技術総合研究所) 江口 哲史(千葉大学) 浅川 大地(大阪市立環境科学研究センター) 橋本 俊次(国立環境研究所)





#### ノンターゲット分析の援用による環境モニタリングと化学物質管理の検討

Hollender et al. Environ Sci Eur (2019) 31:42 https://doi.org/10.1186/s12302-019-0225-x Environmental Sciences Europe

#### DISCUSSION Open Access

# High resolution mass spectrometry-based non-target screening can support regulatory environmental monitoring and chemicals management

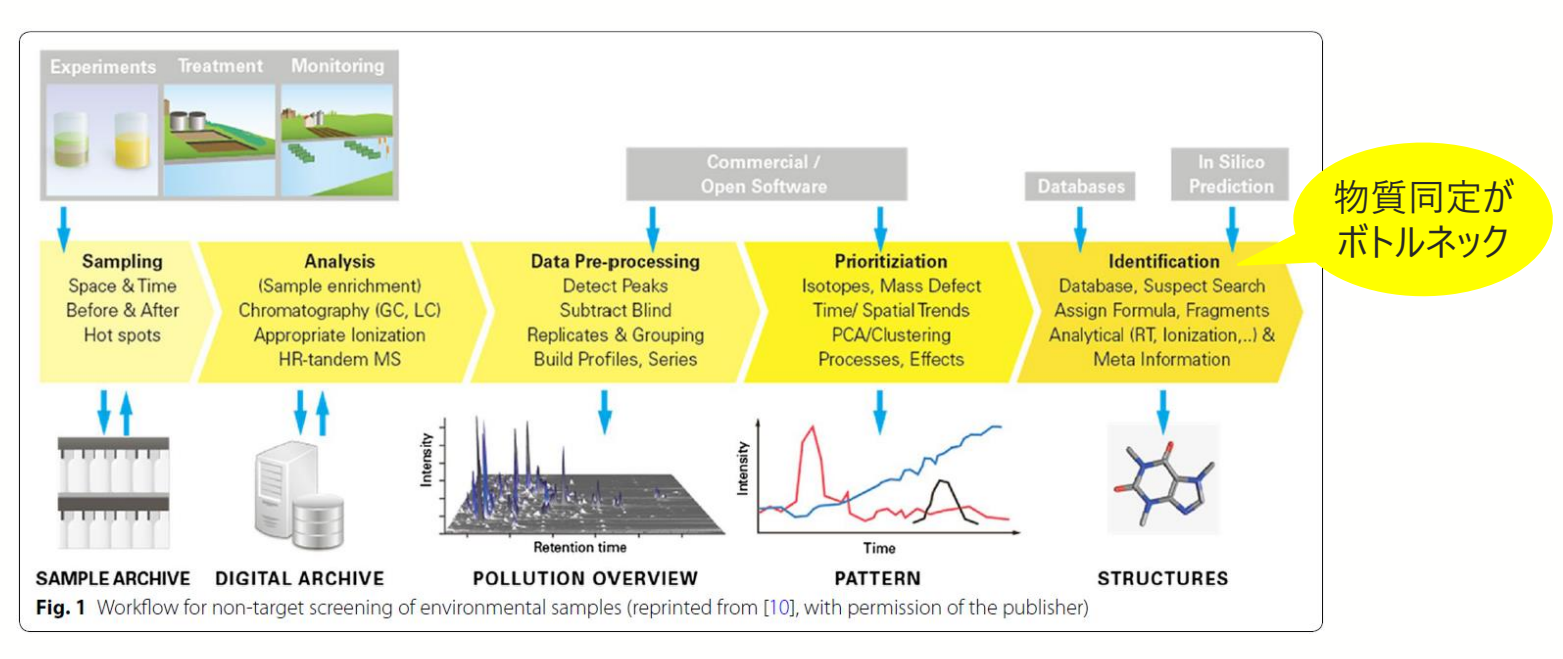


Juliane Hollender<sup>1,2\*</sup>, Bert van Bavel<sup>3</sup>, Valeria Dulio<sup>4</sup>, Eivind Farmen<sup>5</sup>, Klaus Furtmann<sup>6</sup>, Jan Koschorreck<sup>7</sup>, Uwe Kunkel<sup>8</sup>, Martin Krauss<sup>9</sup>, John Munthe<sup>10</sup>, Martin Schlabach<sup>11</sup>, Jaroslav Slobodnik<sup>12</sup>, Gerard Stroomberg<sup>13</sup>, Thomas Ternes<sup>14</sup>, Nikolaos S. Thomaidis<sup>15</sup>, Anne Togola<sup>16</sup> and Victoria Tornero<sup>17</sup>

Source: Hollender et al. Environ. Sci. Eur. 31-42, 2019



#### 環境ノンターゲット分析のためのワークフローの開発・応用



Source: Hollender et al. Environ. Sci. Eur. 31, 42, 2019



#### 物質同定の課題

- クロマトグラフィーの保持指標は、物質同定における偽陽性の低減に資する有用な情報のひとつである。
- ガスクロマトグラフィーでは、「Kovats' retention index」が保持指標の標準として 普及し、偽陽性を特定するための強力なツールとして利用されている。
- 液体クロマトグラフィー(LC)で提案されている保持指標は、現在のところ広く普及するに至っておらず、環境分野への開発・応用が強く望まれている。



## アテネ大学(UoA)から新たなLC保持指標の提案 (Nikolaos S. Thomaidis retention index)



pubs.acs.org/ac Article

#### Development and Application of Liquid Chromatographic Retention Time Indices in HRMS-Based Suspect and Nontarget Screening

Reza Aalizadeh, Nikiforos A. Alygizakis, Emma L. Schymanski, Martin Krauss, Tobias Schulze, María Ibáñez, Andrew D. McEachran, Alex Chao, Antony J. Williams, Pablo Gago-Ferrero, Adrian Covaci, Christoph Moschet, Thomas M. Young, Juliane Hollender, Jaroslav Slobodnik, and Nikolaos S. Thomaidis\*



Source: Aalizadeh et al. Anal. Chem., 93, 11601-11611, 2021

保持指標への変換を容易に行うことができるプラットフォーム(UoA RTI Platform)を構築。

適用範囲は十分に解明されていない可能性がある。



#### 研究の目的

UoA RTI Platformの保持指標変換法で算出可能なLC保持指標 Nikolaos S. Thomaidis retention index の検討



#### UoA RTI Platformによる保持指標変換法

- •検量物質の保持指標 (Assigned RTI)
- •検量物質の保持時間の実測値 (Exp. T<sub>R</sub>)
- 対象物質の保持時間の実測値 (Exp. T<sub>R</sub>)
- •対象物質の分子構 造情報 (SMILES)



#### Retention Time Indices Platform (Log-in Page)

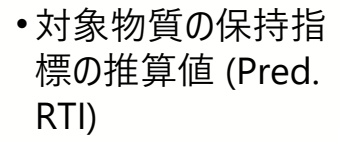
Welcome to Retention Time Indices (RTI) platform. RTI platform is created to harmonize retention time data obtained from liquid chromatography high resolution mass spectrometry (LC-HRMS). RTI website enables to get use of retention time data during suspect and non-target screening. It can be used to build the calibration curve for any RPLC condition or to calculate the experimental and predicted RTIs. In addition, experimental RTIs from different LC conditions can be directly compared through multiple comparison procedure to remove false positive identifications.

RTI platform is developed at National and Kapodistrian University of Athens. It is at present freely accessible to all registered users and members of NORMAN Association.

For more information how to use RTI platform, contact Dr. Reza Aalizadeh (<a href="mailto:realizadeh@chem.uoa.gr">realizadeh@chem.uoa.gr</a>).

In case, you encounter any problems with log-in, please, contact UOA-RTI team at trams@chem.uoa.gr.

- •保持指標の検量線
- 対象物質の保持指標の実測値 (Exp. RTI)



対象物質の保持指標の実測値と推算値の比較結果

検量物質と対象物質の保持時間の実測値を取得する必要がある。

Source: http://rti.chem.uoa.gr/



## 保持指標変換用検量物質

| ESI-: 17             | calibrants               | ESI+: 17 calibrants |                           |  |
|----------------------|--------------------------|---------------------|---------------------------|--|
| ✓ Amitrole           | ✓ Phenytoin              | ✓ Guanylurea        | ✓ Dichlorvos              |  |
| ✓ Benzoic acid       | Flamprop (not available) | ✓ Amitrole          | ✓ Tylosin                 |  |
| ✓ Acephate           | ✓ Benodanil              | ✓ Histamine         | ✓ TCMTB                   |  |
| ✓ Salicylic acid     | ✓ Dinoterb               | ✓ Chlormequat       | ✓ Rifaximin               |  |
| ✓ Simazine 2-Hydroxy | ✓ Inabenfide             | ✓ Methamidophos     | ✓ Spinosad A              |  |
| ✓ Tepraloxydim Peak1 | ✓ Coumaphos              | ✓ Vancomycin        | Emamectin (not available) |  |
| ✓ Bromoxynil         | ✓ Triclosan              | ✓ Cefoperazone      | ✓ Avermectin              |  |
| ✓ MCPA               | ✓ Avermectin             | ✓ Trichlorfon       | ✓ Nigericin               |  |
| ✓ Valproic acid      | ✓ Salinomycin            | ✓ Butocarboxim      | ✓ Ivermectin              |  |

UoA RTI Platform指定の検量物質について、保持時間の実測値を取得する。



## 検討対象物質

| ESI <sup>-</sup> : 69 compounds        | ESI+: 48 compounds                |
|--|-----------------------------------|
| <ul><li>有機リン酸エステル類:1物質</li></ul>       | <ul><li>有機リン酸エステル類:31物質</li></ul> |
| • 含塩素有機リン酸エステル類:2物質                    | ・ 含塩素有機リン酸エステル類:5物質               |
| • 含臭素有機リン酸エステル類:2物質                    | ・ 含臭素有機リン酸エステル類:2物質               |
| • 有機臭素化合物 (BFR): 9物質                   | • 有機臭素化合物 (BFR): 1物質              |
| <ul><li>有機フッ素化合物 (PFAS):54物質</li></ul> | • 有機フッ素化合物 (PFAS):5物質             |
| • その他:1物質                              | • その他:5物質                         |

様々な性状の化学種を対象に保持時間の実測値を取得する。



## 測定メソッド (1/2)

| Method  | Column  | Mobile phase  |  |  |  |
|---------|---|---|--|--|--|
| Main LC | Thermo Fisher Scientific Acclaim RSLC C18<br>2.1 × 100 mm, 2.2 μm | ESI <sup>-</sup> : H <sub>2</sub> O/MeOH with 5 mM CH <sub>3</sub> COONH <sub>4</sub><br>ESI <sup>+</sup> : H <sub>2</sub> O/MeOH with 5 mM HCOONH <sub>4</sub> & 0.01% HCOOH |  |  |  |
| LC1-A   | N/  | ESI <sup>−</sup> /ESI <sup>+</sup> : H <sub>2</sub> O/MeOH with 0.1% HCOOH  |  |  |  |
| LC1-N   | Waters ACQUITY UPLC BEH C18<br>2.1×100 mm, 1.7 μm                 | ESI <sup>-</sup> /ESI <sup>+</sup> : H <sub>2</sub> O/MeOH with 5 mM CH <sub>3</sub> COONH <sub>4</sub>   |  |  |  |
| LC1-B   | 2.1 × 100 mm, 1.7 μm  | ESI <sup>-</sup> /ESI <sup>+</sup> : H <sub>2</sub> O/MeOH with 0.5% NH <sub>4</sub> OH   |  |  |  |
| LC2-A   |   | ESI <sup>−</sup> /ESI <sup>+</sup> : H <sub>2</sub> O/MeOH with 0.1% HCOOH  |  |  |  |
| LC2-N   | Waters XBridge BEH C18<br>3.0×50 mm, 2.5 μm                       | ESI <sup>-</sup> /ESI <sup>+</sup> : H <sub>2</sub> O/MeOH with 5 mM CH <sub>3</sub> COONH <sub>4</sub>   |  |  |  |
| LC2-B   | 3.0 × 30 ΠΠΙ, 2.3 μΠ  | ESI <sup>-</sup> /ESI <sup>+</sup> : H <sub>2</sub> O/MeOH with 0.5% NH <sub>4</sub> OH   |  |  |  |
| LC3-N   | Waters ACQUITY UPLC BEH Shield RP18<br>2.1×50 mm, 1.7 μm          | ESI <sup>-</sup> /ESI <sup>+</sup> : H <sub>2</sub> O/MeOH with 5 mM CH <sub>3</sub> COONH <sub>4</sub>   |  |  |  |

保持時間の実測値は、UoAのMain LC条件 (共通メソッド) と、 移動相pH・カラムが異なるLC条件 (インハウスメソッド) で測定する。



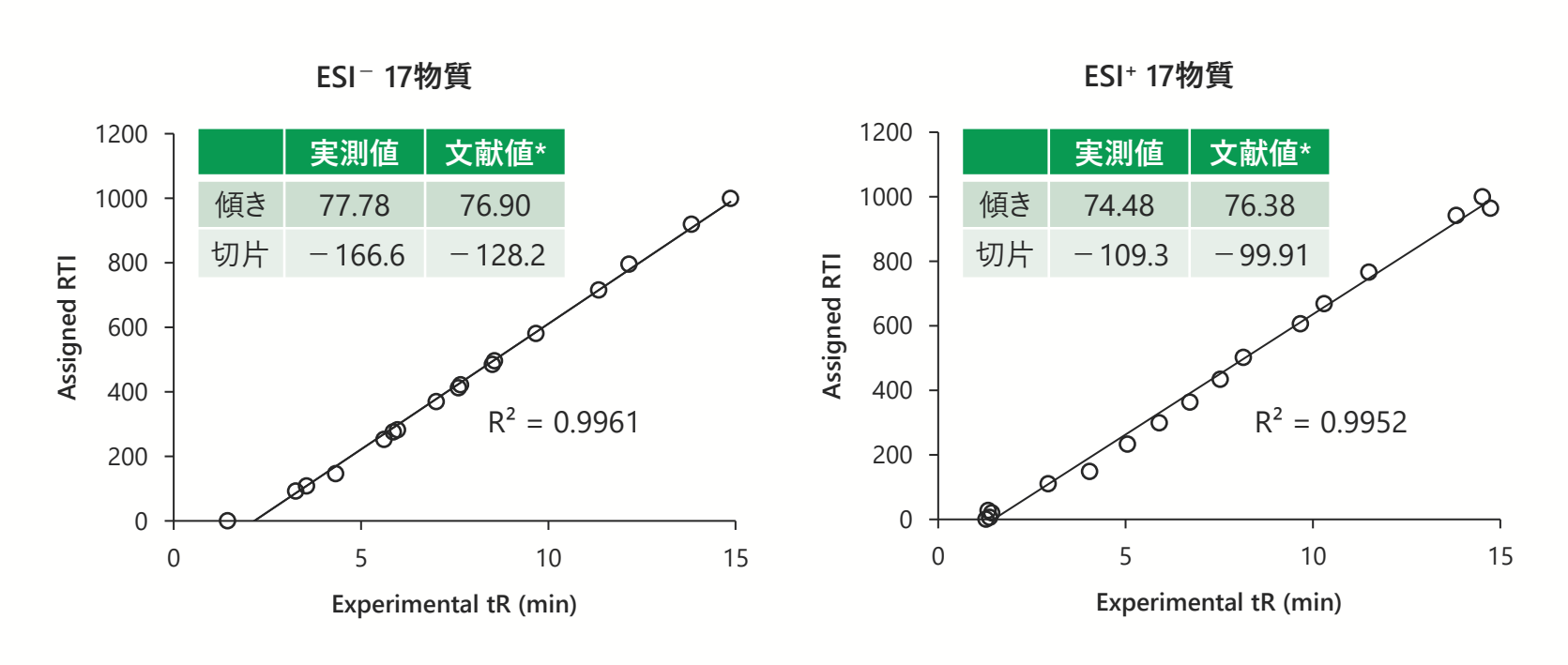
## 測定メソッド (2/2)

| Method        | Mobile phase   | LC gradient time program  |
|---------------|--|---|
| Main LC<br>共通 | ESI <sup>-</sup> : H <sub>2</sub> O/MeOH with 5 mM CH <sub>3</sub> COONH <sub>4</sub><br>ESI <sup>+</sup> : H <sub>2</sub> O/MeOH with 5 mM HCOONH <sub>4</sub> & 0.01%<br>HCOOH | $0 \rightarrow 1 \text{ min, } 1 \rightarrow 1\% \text{ (0.2} \rightarrow 0.2 \text{ mL/min)}$<br>$1 \rightarrow 3 \text{ min, } 1 \rightarrow 39\% \text{ (0.2} \rightarrow 0.2 \text{ mL/min)}$<br>$3 \rightarrow 14 \text{ min, } 39 \rightarrow 99.9\% \text{ (0.2} \rightarrow 0.4 \text{ mL/min)}$<br>$14 \rightarrow 16 \text{ min, } 99.9 \rightarrow 99.9\% \text{ (0.4} \rightarrow 0.48 \text{ mL/min)}$<br>$16 \rightarrow 16.1 \text{ min, } 99.9 \rightarrow 1\% \text{ (0.48} \rightarrow 0.2 \text{ mL/min)}$ |
| LC1-A         | ESI <sup>−</sup> /ESI <sup>+</sup> : H <sub>2</sub> O/MeOH with 0.1% HCOOH   |   |
| LC1-N         | ESI <sup>-</sup> /ESI <sup>+</sup> : H <sub>2</sub> O/MeOH with 5 mM CH <sub>3</sub> COONH <sub>4</sub>  |   |
| LC1-B         | ESI <sup>-</sup> /ESI <sup>+</sup> : H <sub>2</sub> O/MeOH with 0.5% NH <sub>4</sub> OH  | $0 \text{ min} \rightarrow 23.5 \text{ min, } 5\% \rightarrow 99\% \text{ (0.3} \rightarrow 0.3 \text{ mL/min)}$  |
| LC2-A         | ESI <sup>-</sup> /ESI <sup>+</sup> : H <sub>2</sub> O/MeOH with 0.1% HCOOH   | 23.5 min $\rightarrow$ 28.5 min, 99% $\rightarrow$ 99% (0.3 $\rightarrow$ 0.3 mL/min)   |
| LC2-N         | ESI <sup>-</sup> /ESI <sup>+</sup> : H <sub>2</sub> O/MeOH with 5 mM CH <sub>3</sub> COONH <sub>4</sub>  | 28.5 min $\rightarrow$ 28.6 min, 99% $\rightarrow$ 5% (0.3 $\rightarrow$ 0.3 mL/min)  |
| LC2-B         | ESI <sup>-</sup> /ESI <sup>+</sup> : H <sub>2</sub> O/MeOH with 0.5% NH <sub>4</sub> OH  |   |
| LC3-N         | ESI <sup>-</sup> /ESI <sup>+</sup> : H <sub>2</sub> O/MeOH with 5 mM CH <sub>3</sub> COONH <sub>4</sub>  |   |

共通メソッドとインハウスメソッドは、それぞれ異なるグラジエントプログラムを設定している。



#### 共通メソッドの保持指標変換用検量線



Thomaidisらの報告値と同等の傾きと切片が得られる。

\*Source: Aalizadeh et al. Anal. Chem., 93, 11601-11611, 2021



## インハウスメソッドの保持指標変換用検量線 (ESI-)

| Method | Column                                 | Mobile phase   | Point | Slope | Intercept | Correlation coefficients |
|--------|--|--|-------|-------|-----------|--------------------------|
| LC1-A  |  | H <sub>2</sub> O/MeOH with 0.1% HCOOH                              | 10    | 44.17 | - 146.2   | 0.875                    |
| LC1-N  | ACQUITY UPLC BEH<br>C18, 100 mm        | H <sub>2</sub> O/MeOH with 5 mM CH <sub>3</sub> COONH <sub>4</sub> | 17    | 41.52 | -27.55    | 0.985                    |
| LC1-B  | 0.0, 100 11111                         | H <sub>2</sub> O/MeOH with 0.5% NH <sub>4</sub> OH                 | 17    | 38.78 | +45.00    | 0.947                    |
| LC2-A  | XBridge BEH<br>C18, 50 mm              | H <sub>2</sub> O/MeOH with 0.1% HCOOH                              | 9     | 40.44 | -46.64    | 0.942                    |
| LC2-N  |  | H <sub>2</sub> O/MeOH with 5 mM CH <sub>3</sub> COONH <sub>4</sub> | 17    | 39.97 | -22.24    | 0.981                    |
| LC2-B  | <b>3.3, 33</b>                         | H <sub>2</sub> O/MeOH with 0.5% NH <sub>4</sub> OH                 | 17    | 37.91 | +76.89    | 0.930                    |
| LC3-N  | ACQUITY UPLC BEH<br>Shield RP18, 50 mm | H <sub>2</sub> O/MeOH with 5 mM CH <sub>3</sub> COONH <sub>4</sub> | 17    | 41.51 | +36.95    | 0.964                    |

中性から高pH (~11.54) の移動相に適用可能である。



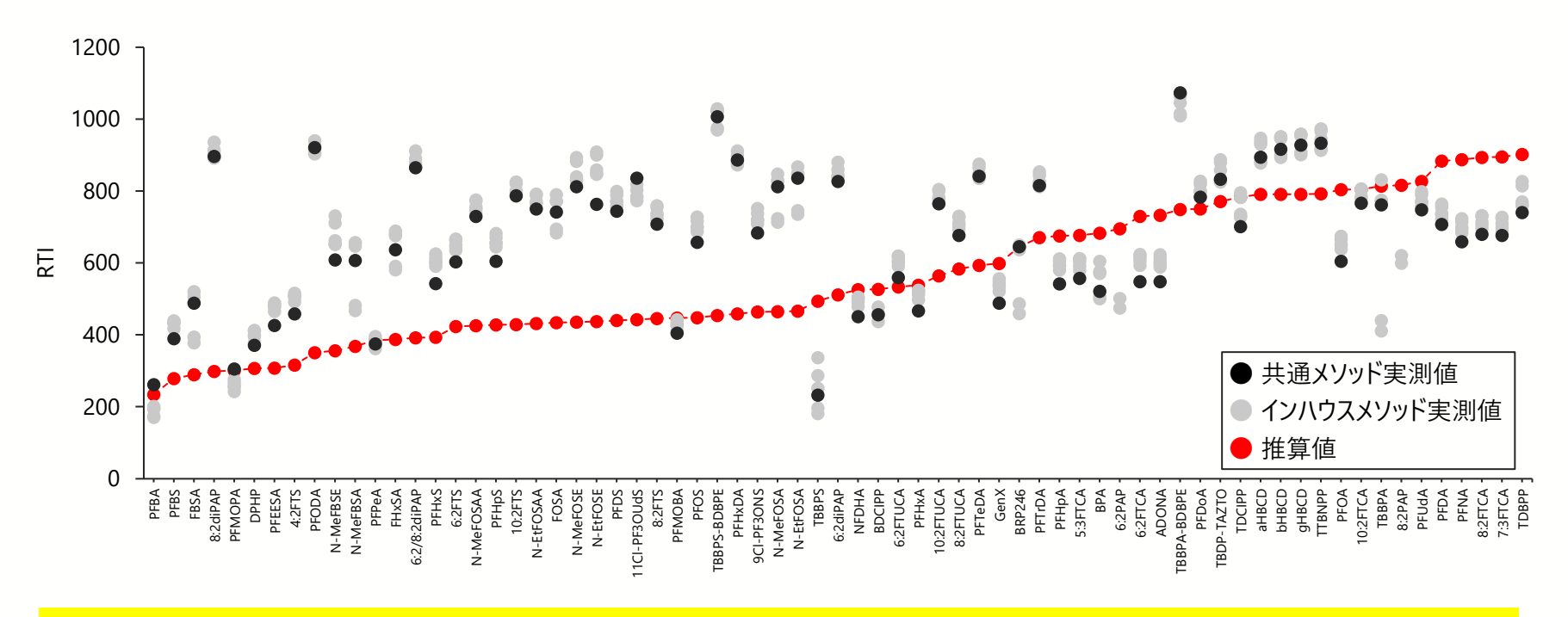
## インハウスメソッドの保持指標変換用検量線 (ESI+)

| Method | Column  | Mobile phase   | Point | Slope | Intercept | Correlation coefficients |
|--------|---|--|-------|-------|-----------|--------------------------|
| LC1-A  |   | H <sub>2</sub> O/MeOH with 0.1% HCOOH                              | 16    | 39.28 | -31.88    | 0.975                    |
| LC1-N  | ACQUITY UPLC BEH<br>C18, 100 mm                 | H <sub>2</sub> O/MeOH with 5 mM CH <sub>3</sub> COONH <sub>4</sub> | 17    | 39.34 | -37.86    | 0.970                    |
| LC1-B  | 0.0, 100 1                                      | H <sub>2</sub> O/MeOH with 0.5% NH <sub>4</sub> OH                 | 15    | 39.28 | - 13.78   | 0.972                    |
| LC2-A  | XBridge BEH<br>C18, 50 mm                       | H <sub>2</sub> O/MeOH with 0.1% HCOOH                              | 16    | 39.30 | -29.59    | 0.977                    |
| LC2-N  |   | H <sub>2</sub> O/MeOH with 5 mM CH <sub>3</sub> COONH <sub>4</sub> | 16    | 38.45 | -44.17    | 0.972                    |
| LC2-B  | G 1 G 7 G 2 1 1 1 1 1 1 1 1 1 1 1 1 1 1 1 1 1 1 | H <sub>2</sub> O/MeOH with 0.5% NH <sub>4</sub> OH                 | 14    | 39.28 | -21.38    | 0.979                    |
| LC3-N  | ACQUITY UPLC BEH<br>Shield RP18, 50 mm          | H <sub>2</sub> O/MeOH with 5 mM CH <sub>3</sub> COONH <sub>4</sub> | 16    | 40.78 | - 21.57   | 0.968                    |

広範囲なpH (2.7~11.54) の移動相に適用可能である。



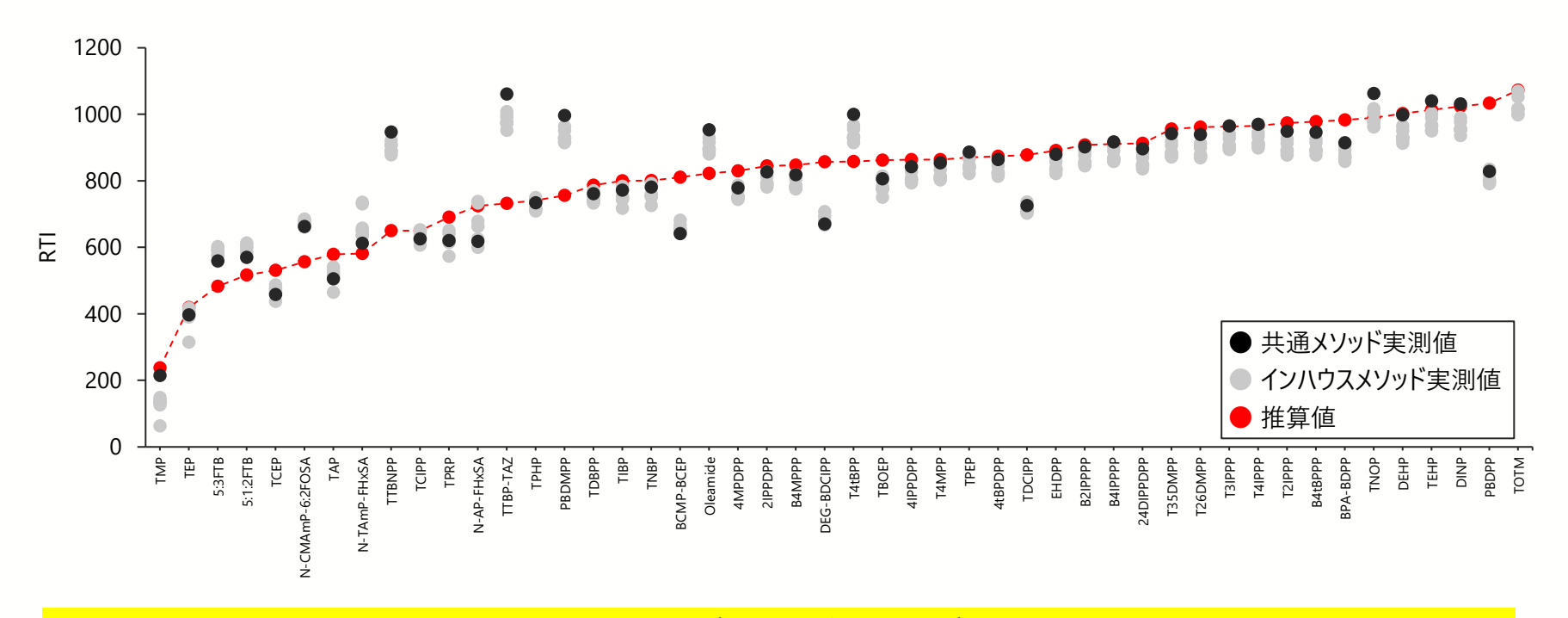
## UoA RTI Platformで算出された保持指標の実測値と推算値 (ESI-)



ESI 対象物質の実測値の多くは、メソッド間のばらつきが小さく、推算値との乖離が大きい。



#### UoA RTI Platformで算出された保持指標の実測値と推算値 (ESI+)



ESI+対象物質の実測値の多くは、メソッド間のばらつきが小さく、推算値との乖離も小さい。



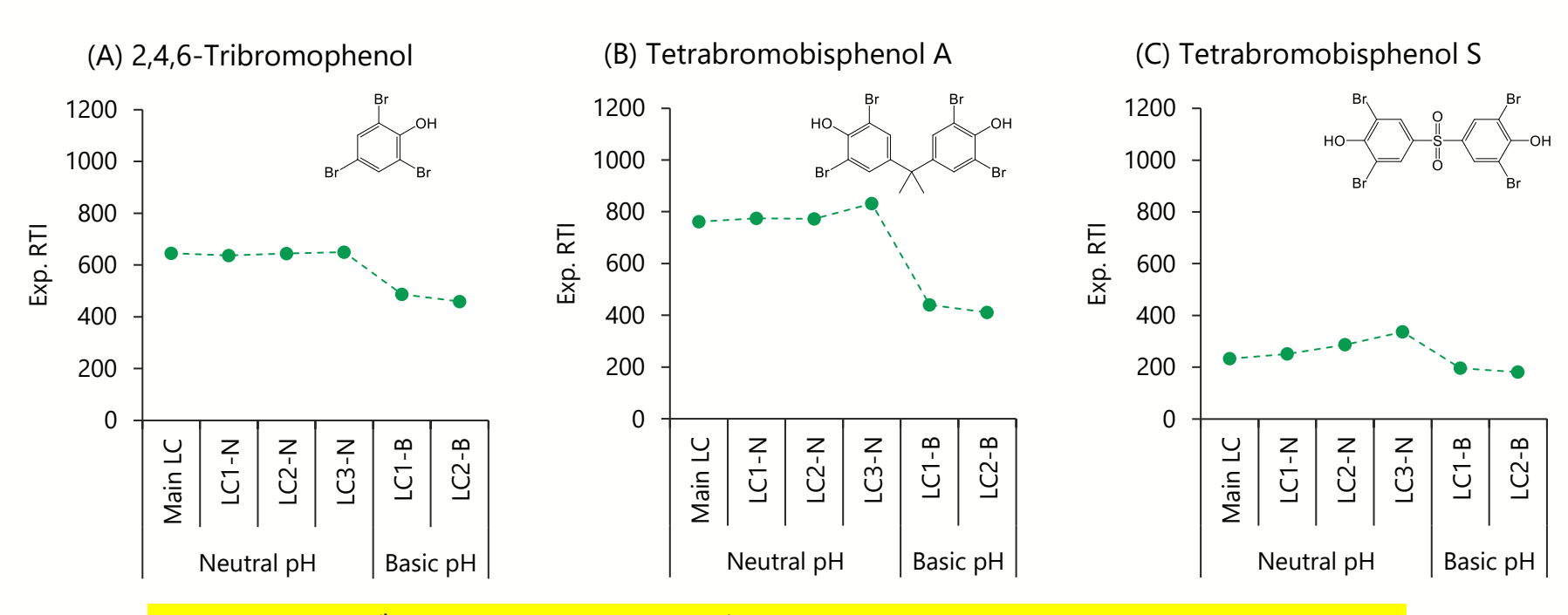
#### 実測値のメソッド間のばらつき

| Number of                           | Method      | Number of  | CV value |       |      |  |
|-------------------------------------|-------------|------------|----------|-------|------|--|
| compounds                           | Method      | detections | <5%      | 5–10% | >10% |  |
| 60                                  | Neutral pH  | 67         | 64       | 2     | 1    |  |
| 69 compounds<br>in ESI <sup>–</sup> | Basic pH    | 69         | 68       | 1     | 0    |  |
| III ESI                             | All methods | 69         | 55       | 8     | 6    |  |
|                                     | Acidic pH   | 48         | 48       | 0     | 0    |  |
| 48 compounds                        | Neutral pH  | 48         | 45       | 1     | 2    |  |
| in ESI⁺                             | Basic pH    | 48         | 48       | 0     | 0    |  |
|                                     | All methods | 48         | 44       | 3     | 1    |  |
| 114 compounds in total              | All methods | 114        | 96       | 11    | 7    |  |

114物質中107物質は、変動係数が10%以下であり、メソッド間のばらつきが小さい。



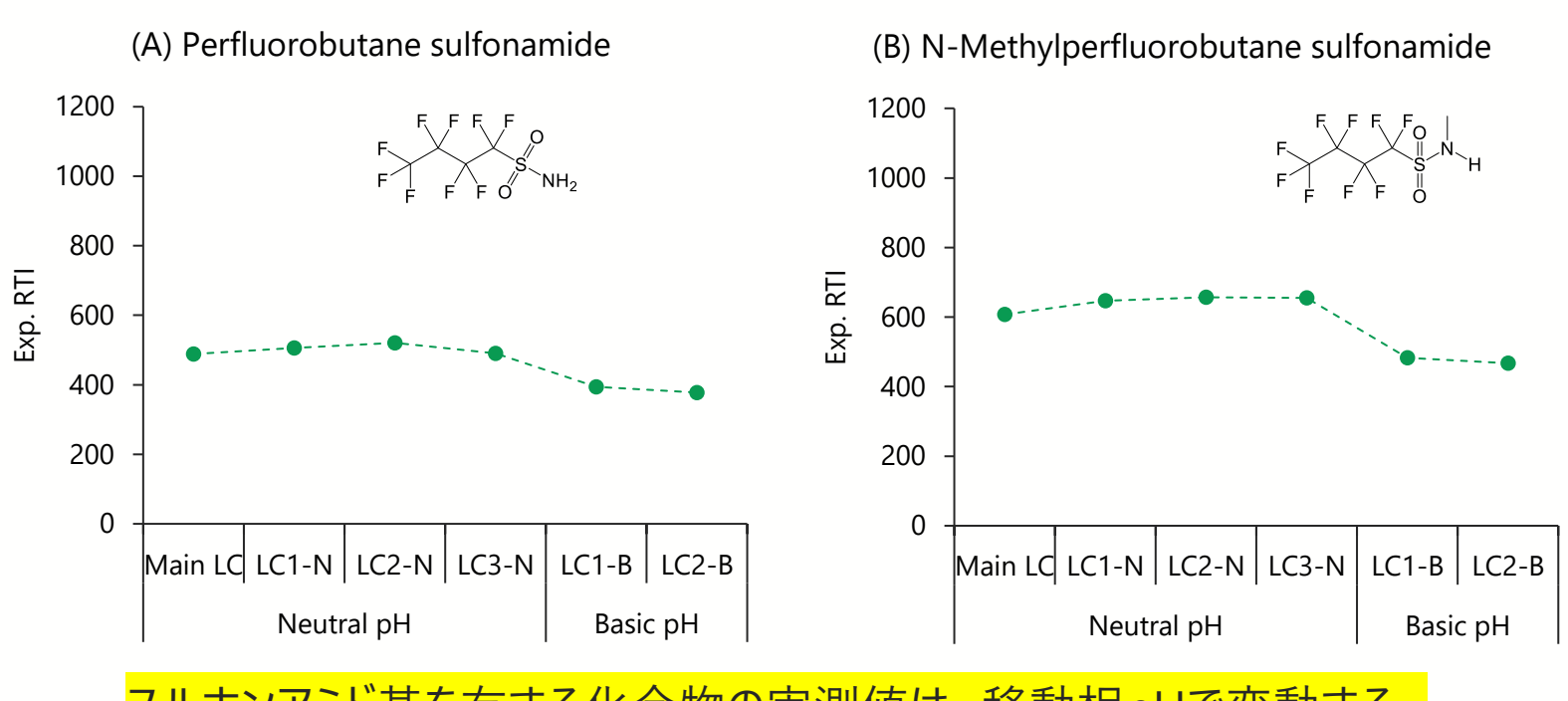
## 実測値のメソッド間のばらつきの要因 (1/3)



フェノール性ヒドロキシ基を有する化合物の実測値は、移動相pHで変動する。



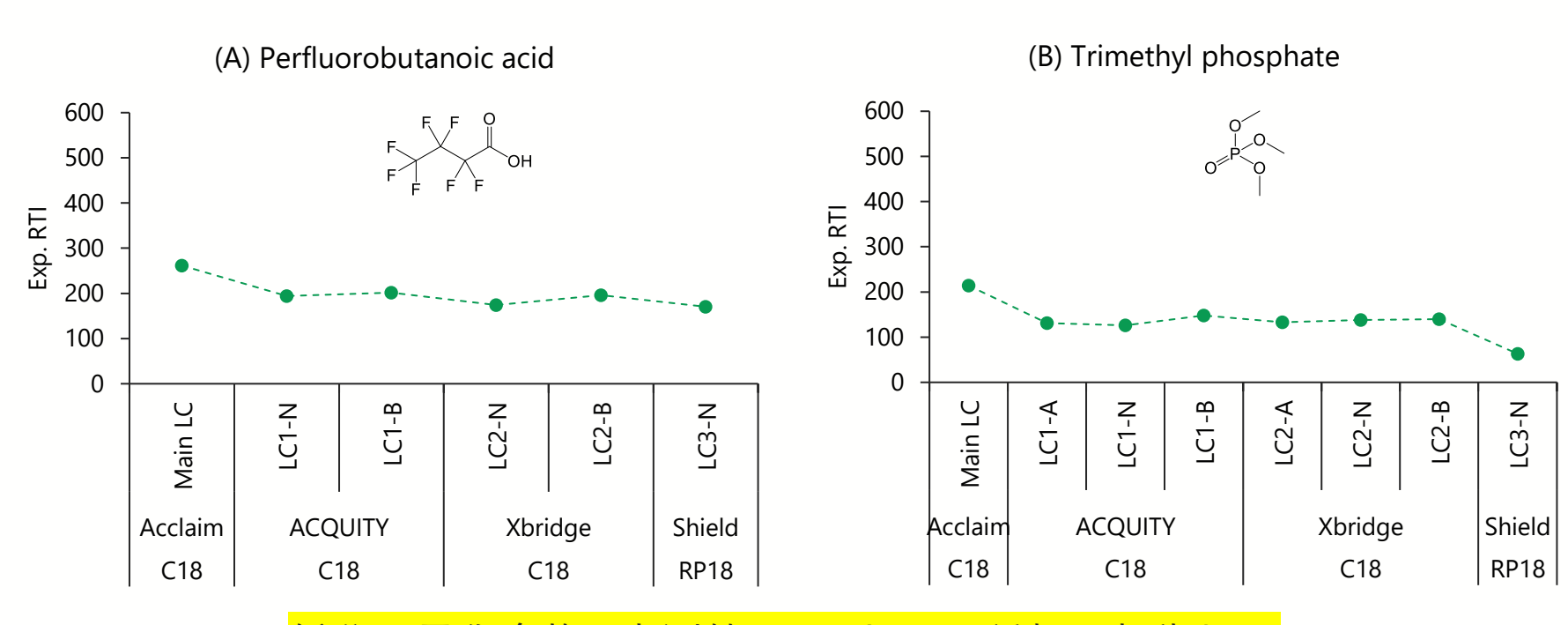
## 実測値のメソッド間のばらつきの要因 (2/3)



スルホンアミド基を有する化合物の実測値は、移動相pHで変動する。



## 実測値のメソッド間のばらつきの要因 (3/3)



低分子量化合物の実測値は、LCカラムの種類で変動する。



#### まとめ

- UoA RTI Platformの保持指標変換法で算出されるLC保持指標は、多くの化学種についてメソッド間のばらつきが小さい。そのため、物質同定に有用な保持指標となる可能がある。その一方で、化学種の性状によっては、メソッド間のばらつきが大きく、推算値と乖離が大きいことがある。
- 今回は化学種の性状と測定条件が限られているため、適用範囲の考察は限定的である。今後、複数の試験研究機関による共同分析の結果をもとに、UoA RTI Platformの保持指標変換法で算出されるLC保持指標の適用範囲を明らかにする。



#### 謝辞

- 本研究の一部はJSPS科研費 23H0053の助成を受けた。
- 研究遂行においては、国立環境研究所の鬼塚弓子氏の協力を得た。



ご清聴ありがとうございました。



#### **UoA-RTI Platform**

ログイン



#### Retention Time Indices Platform (Log-in Page)

Welcome to Retention Time Indices (RTI) platform. RTI platform is created to harmonize retention time data obtained from liquid chromatography high resolution mass spectrometry (LC-HRMS). RTI website enables to get use of retention time data during suspect and non-target screening. It can be used to build the calibration curve for any RPLC condition or to calculate the experimental and predicted RTIs. In addition, experimental RTIs from different LC conditions can be directly compared through multiple comparison procedure to remove false positive identifications.

RTI platform is developed at National and Kapodistrian University of Athens. It is at present freely accessible to all registered users and members of NORMAN Association.

For more information how to use RTI platform, contact Dr. Reza Aalizadeh (<a href="mailto:realizadeh@chem.uoa.gr">realizadeh@chem.uoa.gr</a>).

In case, you encounter any problems with log-in, please, contact UOA-RTI team at trams@chem.uoa.gr.



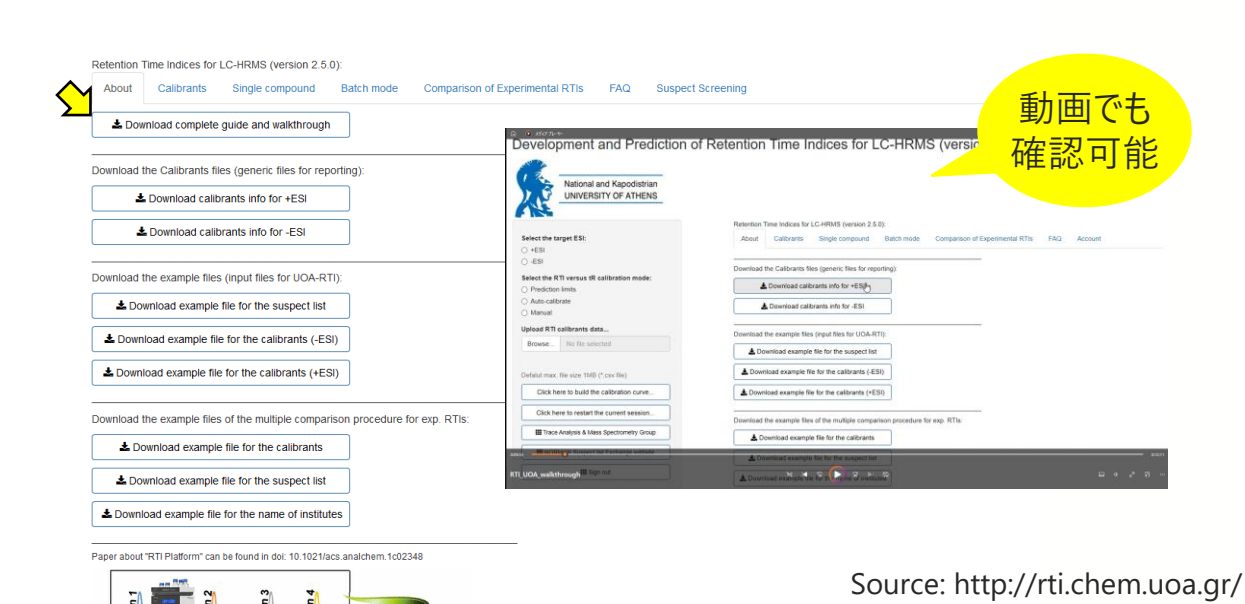
Source: http://rti.chem.uoa.gr/



#### **UoA-RTI Platform**

Development and Prediction of Retention Time Indices for LC-HRMS (version 2.5.0)



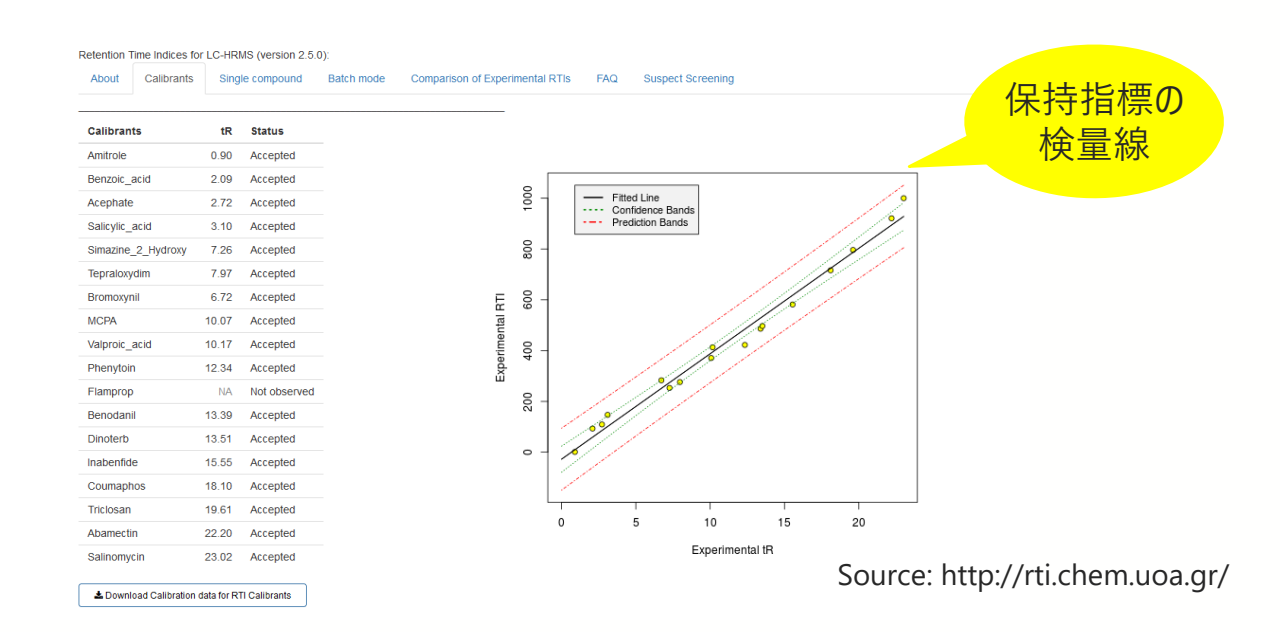




#### 保持指標の検量線の作成

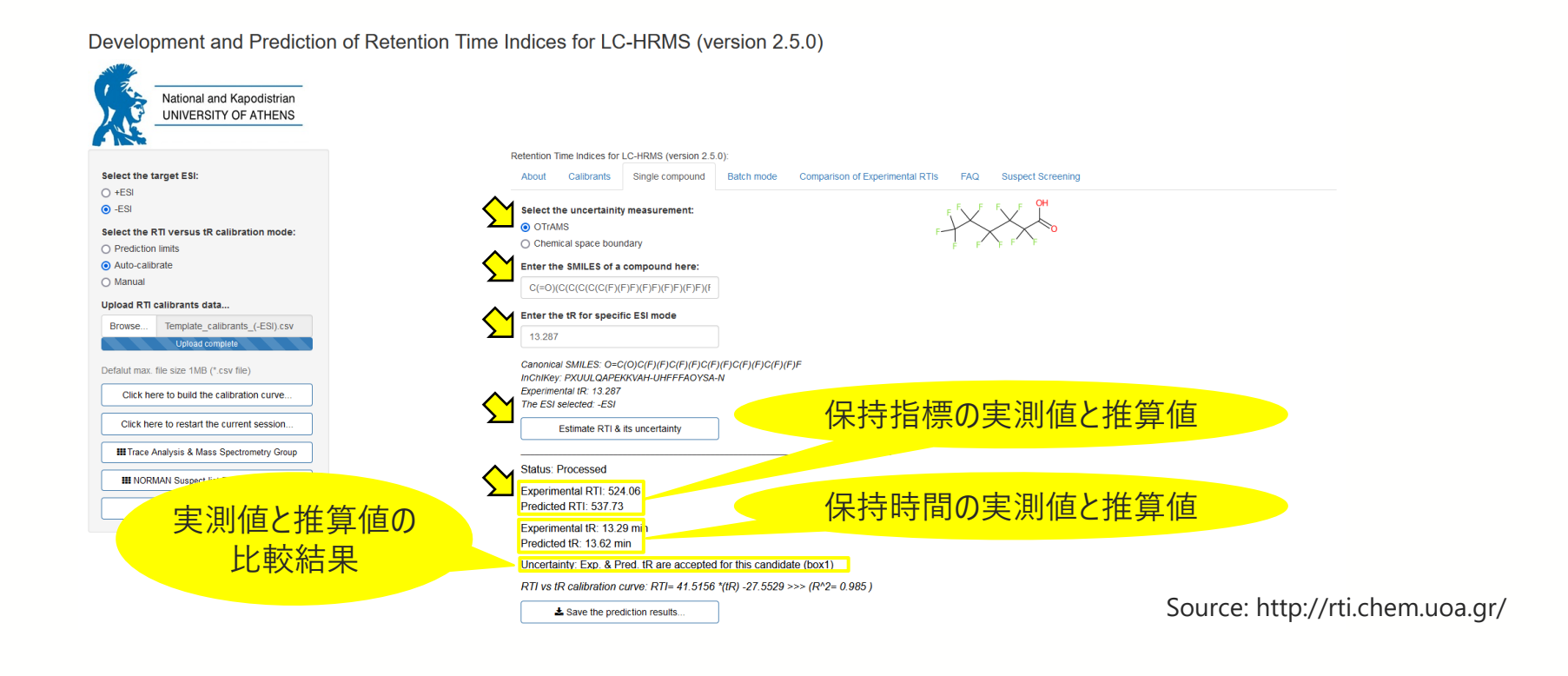
Development and Prediction of Retention Time Indices for LC-HRMS (version 2.5.0)







#### 対象物質の保持指標の実測値と推算値の算出





# RTI calibrant (ESI+)

| Compound       | CAS RN      | Mol. Formula   | Mol. Ion     | m/z       | Assigned RTI |
|----------------|-------------|----------------|--------------|-----------|--------------|
| Guanylurea     | 141-83-3    | C2H6N4O        | [M+H]+       | 103.0614  | 1            |
| Amitrole       | 61-82-5     | C2H4N4         | [M+H]+       | 85.0509   | 6.11         |
| Histamine      | 51-45-6     | C5H9N3         | [M+H]+       | 112.0869  | 20.63        |
| Chlormequat    | 7003-89-6   | C5H13CIN+      | M+           | 123.0809  | 27.5         |
| Methamidophos  | 10265-92-6  | C2H8NO2PS      | [M+H]+       | 142.0086  | 110.77       |
| Vancomycin     | 1404-90-6   | C66H75Cl2N9O24 | [M+2H]2+     | 1448.4375 | 148.97       |
| Cefoperazone   | 62893-19-0  | C25H27N9O8S2   | [M+H]+       | 646.1497  | 233          |
| Trichlorfon    | 52-68-6     | C4H8Cl3O4P     | [M+H]+       | 256.9299  | 299.47       |
| Butocarboxim   | 34681-10-2  | C7H14N2O2S     | [M-C2H4NO2]+ | 191.0849  | 363.64       |
| Dichlorvos     | 62-73-7     | C4H7Cl2O4P     | [M+H]+       | 220.9532  | 434.68       |
| Tylosin        | 1401-69-0   | C46H77NO17     | [M+H]+       | 916.5264  | 501.91       |
| TCMTB          | 21564-17-0  | C9H6N2S3       | [M+H]+       | 238.9766  | 606.57       |
| Rifaximin      | 80621-81-4  | C43H51N3O11    | [M+H]+       | 786.3596  | 668.45       |
| Spinosad A     | 168316-95-8 | C41H65NO10     | [M+H]+       | 731.4603  | 766.23       |
|                | 119791-41-2 |                | [M+H]+       |           |              |
| Abamectin      | 65195-55-3  | C48H72O14      | [M+NH4]+     | 873.4995  | 941.94       |
| Nigericin      | 28380-24-7  | C40H68O11      | [M+NH4]+     | 725.4834  | 964.86       |
| Ivermectin B1a | 70288-86-7  | C48H74O14      | [M+NH4]+     | 875.5151  | 1000         |



#### RTI calibrant (ESI<sup>-</sup>)

| Compound           | CAS RN      | Mol. Formula | Mol. Ion | m/z      | Assigned RTI |
|--------------------|-------------|--------------|----------|----------|--------------|
| Amitrole           | 61-82-5     | C2H4N4       | [M-H]-   | 83.0363  | 1            |
| Benzoic acid       | 65-85-0     | C7H6O2       | [M-H]-   | 121.0295 | 93.08        |
| Acephate           | 30560-19-1  | C4H10NO3PS   | [M-H]-   | 182.0046 | 109.23       |
| Salicylic acid     | 69-72-7     | C7H6O3       | [M-H]-   | 137.0244 | 146.92       |
| Simazine 2-Hydroxy | 2599-11-3   | C7H13N5O     | [M-H]-   | 182.1047 | 253.08       |
| Tepraloxydim Peak1 | 149979-41-9 | C17H24CINO4  | [M-H]-   | 340.1321 | 276.15       |
| Bromoxynil         | 1689-84-5   | C7H3Br2NO    | [M-H]-   | 273.8509 | 283.08       |
| MCPA               | 94-74-6     | C9H9ClO3     | [M-H]-   | 199.0167 | 370.77       |
| Valproic acid      | 99-66-1     | C8H16O2      | [M-H]-   | 143.1078 | 413.08       |
| Phenytoin          | 57-41-0     | C15H12N2O2   | [M-H]-   | 251.0826 | 422.31       |
| Flamprop           |             | C16H13CIFNO3 | [M-H]-   |          |              |
| Benodanil          | 15310-01-7  | C13H10INO    | [M-H]-   | 321.9734 | 486.15       |
| Dinoterb           | 1420-07-1   | C10H12N2O5   | [M-H]-   | 239.0673 | 496.92       |
| Inabenfide         | 82211-24-3  | C19H15CIN2O2 | [M-H]-   | 337.0749 | 581.54       |
| Coumaphos          | 56-72-4     | C14H16ClO5PS | [M-H]-   | 361.0072 | 716.15       |
| Triclosan          | 3380-34-5   | C12H7Cl3O2   | [M-H]-   | 286.9439 | 796.15       |
| Avermectin B1a     | 65195-55-3  | C48H72O14    | [M-H]-   | 871.4849 | 920.77       |
| Salinomycin        | 53003-10-4  | C42H70O11    | [M-H]-   | 749.4845 | 1000         |



## Target compound (ESI+)

| Group                   | Compound | CAS RN     | Mol. Formula | Mono mass | Pred. RTI |
|-------------------------|----------|------------|--------------|-----------|-----------|
|                         | Oleamide | 301-02-0   | C18H35NO     | 281.2719  | 821.95    |
| Phthalates, etc.        | DEHP     | 117-81-7   | C24H38O4     | 390.2770  | 1001.44   |
|                         | DINP     | 28553-12-0 | C26H42O4     | 418.3083  | 1023.52   |
|                         | TOTM     | 3319-31-1  | C33H54O6     | 546.3920  | 1072.16   |
|                         | TMP      | 512-56-1   | C3H9O4P      | 140.0238  | 237.25    |
|                         | TEP      | 78-40-0    | C6H15O4P     | 182.0708  | 418.64    |
|                         | TAP      | 1623-19-4  | C9H15O4P     | 218.0708  | 578.93    |
|                         | TPRP     | 513-08-6   | C9H21O4P     | 224.1177  | 690.48    |
|                         | TIBP     | 126-71-6   | C12H27O4P    | 266.1647  | 799.68    |
|                         | TNBP     | 126-73-8   | C12H27O4P    | 266.1647  | 800.96    |
|                         | TPEP     | 2528-38-3  | C15H33O4P    | 308.2116  | 869.75    |
| Organophosphatos        | TPHP     | 115-86-6   | C18H15O4P    | 326.0708  | 741.02    |
| Organophosphates (OPEs) | 4MPDPP   | 78-31-9    | C19H17O4P    | 340.0864  | 829.42    |
| (OPES)                  | B4MPPP   | 34909-69-8 | C20H19O4P    | 354.1021  | 846.68    |
|                         | EHDPP    | 1241-94-7  | C20H27O4P    | 362.1647  | 890.84    |
|                         | 2IPPDPP  | 64532-94-1 | C21H21O4P    | 368.1177  | 844.50    |
|                         | 4IPPDPP  | 55864-04-5 | C21H21O4P    | 368.1177  | 863.86    |
|                         | T4MPP    | 78-32-0    | C21H21O4P    | 368.1177  | 863.86    |
|                         | 4tBPDPP  | 981-40-8   | C22H23O4P    | 382.1334  | 873.13    |
|                         | TBOEP    | 78-51-3    | C18H39O7P    | 398.2433  | 861.66    |
|                         | B2IPPPP  | 69500-29-4 | C24H27O4P    | 410.1647  | 907.29    |



## Target compound (ESI+)

| Group            | Compound   | CAS RN      | Mol. Formula  | Mono mass | Pred. RTI |
|------------------|------------|-------------|---------------|-----------|-----------|
|                  | B4IPPPP    | 55864-07-8  | C24H27O4P     | 410.1647  | 910.56    |
|                  | 24DIPPDPP  | 96107-55-0  | C24H27O4P     | 410.1647  | 912.64    |
|                  | T35DMPP    | 25653-16-1  | C24H27O4P     | 410.1647  | 955.3     |
|                  | T26DMPP    | 121-06-2    | C24H27O4P     | 410.1647  | 961.45    |
|                  | TNOP       | 1806-54-8   | C24H51O4P     | 434.3525  | 989.00    |
|                  | TEHP       | 78-42-2     | C24H51O4P     | 434.3525  | 1013.62   |
| Organophosphates | B4tBPPP    | 115-87-7    | C26H31O4P     | 438.1960  | 978.00    |
| (OPEs)           | T3IPPP     | 72668-27-0  | C27H33O4P     | 452.2116  | 962.49    |
|                  | T4IPPP     | 26967-76-0  | C27H33O4P     | 452.2116  | 965.67    |
|                  | T2IPPP     | 64532-95-2  | C27H33O4P     | 452.2116  | 973.74    |
|                  | T4tBPP     | 78-33-1     | C30H39O4P     | 494.2586  | 857.90    |
|                  | PBDPP      | 57583-54-7  | C30H24O8P2    | 574.0946  | 1033.47   |
|                  | PBDMPP     | 139189-30-3 | C38H40O8P2    | 686.2198  | 755.62    |
|                  | BPA-BDPP   | 5945-33-5   | C39H34O8P2    | 692.1729  | 982.83    |
|                  | TCEP       | 115-96-8    | C6H12Cl3O4P   | 283.9539  | 530.74    |
| Chlarinatad ODFa | TCIPP      | 13674-84-5  | C9H18Cl3O4P   | 326.0008  | 650.27    |
| Chlorinated OPEs | TDCIPP     | 13674-87-8  | C9H15Cl6O4P   | 429.8810  | 877.93    |
| (CI-OPEs)        | DEG-BDCIPP | 184530-92-5 | C16H32Cl4O9P2 | 572.0246  | 857.13    |
|                  | BCMP-BCEP  | 38051-10-4  | C13H24Cl6O8P2 | 581.9048  | 810.48    |



## Target compound (ESI+)

| Group                            | Compound        | CAS RN      | Mol. Formula    | Mono mass | Pred. RTI |
|----------------------------------|-----------------|-------------|-----------------|-----------|-----------|
| Dua vainata d flavor             | TDBPP           | 126-72-7    | C9H15Br6O4P     | 697.5747  | 786.6     |
| Brominated flame                 | TTBNPP          | 19186-97-1  | C15H24Br9O4P    | 1019.3960 | 649.57    |
| retardants (Br-FRs)              | TTBP-TAZ        | 25713-60-4  | C21H6Br9N3O3    | 1066.2978 | 732.08    |
|                                  | 5:3FTB          | 171184-14-8 | C12H14F11NO2    | 413.0849  | 482.29    |
| Cationia 9                       | 5:1:2FTB        | 171184-02-4 | C12H13F12NO2    | 431.0755  | 516.21    |
| Cationic &<br>Zwitterionic PFASs | N-AP-FHxSA      | 50598-28-2  | C11H13F13N2O2S  | 484.0490  | 724.27    |
| ZWILLEHOHIC FFA3S                | N-TAmP-FHxSA    | 70248-51-0  | C12H16F13N2O2S+ | 499.0725  | 581.1     |
|                                  | N-CMAmP-6:2FOSA | 34455-29-3  | C15H19F13N2O4S  | 570.0858  | 555.95    |
|                                  |                 |             |                 |           |           |
|                                  |                 |             |                 |           |           |
|                                  |                 |             |                 |           |           |
|                                  |                 |             |                 |           |           |
|                                  |                 |             |                 |           |           |
|                                  |                 |             |                 |           |           |
|                                  |                 |             |                 |           |           |
|                                  |                 |             |                 |           |           |
|                                  |                 |             |                 |           |           |
|                                  |                 |             |                 |           |           |
|                                  |                 |             |                 |           |           |
|                                  |                 |             |                 |           |           |
|                                  |                 |             |                 |           |           |



| Group                | Compound    | CAS RN      | Mol. Formula  | Mono mass | Pred. RTI |
|----------------------|-------------|-------------|---------------|-----------|-----------|
| BPA                  | Bisphenol A | 80-05-7     | C15H16O2      | 228.1150  | 682.49    |
| OPE                  | DPHP        | 838-85-7    | C12H11O4P     | 250.0395  | 307       |
| CL ODE-              | BDCIPP      | 72236-72-7  | C6H11Cl4O4P   | 319.9120  | 526.91    |
| CI-OPEs              | TDCIPP      | 13674-87-8  | C9H15Cl6O4P   | 429.8810  | 782.8     |
|                      | BRP246      | 118-79-6    | C6H3Br3O      | 329.7714  | 644.72    |
|                      | TBBPA       | 79-94-7     | C15H12Br4O2   | 543.7530  | 814.02    |
|                      | TBBPS       | 39635-79-5  | C12H6Br4O4S   | 565.6679  | 493.98    |
|                      | aHBCD       | 134237-50-6 | C12H18Br6     | 641.6447  | 790.5     |
| Brominated           | bHBCD       | 134237-51-7 | C12H18Br6     | 641.6447  | 790.5     |
| flame retardants     | gHBCD       | 134237-52-8 | C12H18Br6     | 641.6447  | 790.5     |
| (Br-FRs)             | TDBPP       | 126-72-7    | C9H15Br6O4P   | 697.5747  | 902.06    |
|                      | TBDP-TAZTO  | 52434-90-9  | C12H15Br6N3O3 | 728.6152  | 770.49    |
|                      | TBBPA-BDBPE | 21850-44-2  | C21H20Br8O2   | 943.4848  | 748.41    |
|                      | TBBPS-BDBPE | 42757-55-1  | C18H14Br8O4S  | 965.3998  | 453.54    |
|                      | TTBNPP      | 19186-97-1  | C15H24Br9O4P  | 1017.3981 | 792.43    |
|                      | PFBS        | 375-73-5    | C4HF9O3S      | 299.9503  | 278.72    |
|                      | PFEESA      | 113507-82-7 | C4HF9O4S      | 315.9452  | 307.75    |
| DEAC cultonic acids  | 4:2FTS      | 757124-72-4 | C6H5F9O3S     | 327.9816  | 315.97    |
| PFAS, sulfonic acids | PFHxS       | 355-46-4    | C6HF13O3S     | 399.9439  | 393.27    |
|                      | 6:2FTS      | 27619-97-2  | C8H5F13O3S    | 427.9752  | 423.13    |
|                      | PFHpS       | 375-92-8    | C7HF15O3S     | 449.9407  | 428.15    |



| Group                  | Compound     | CAS RN      | Mol. Formula  | Mono mass | Pred. RTI |
|------------------------|--------------|-------------|---------------|-----------|-----------|
|                        | PFOS         | 1763-23-1   | C8HF17O3S     | 499.9375  | 447.71    |
|                        | 8:2FTS       | 39108-34-4  | C10H5F17O3S   | 527.9688  | 445.27    |
| DEAC sulfania asida    | 9CI-PF3ONS   | 756426-58-1 | C8HCIF16O4S   | 531.9029  | 463.76    |
| PFAS, sulfonic acids   | PFDS         | 335-77-3    | C10HF21O3S    | 599.9311  | 440.01    |
|                        | 10:2FTS      | 120226-60-0 | C12H5F21O3S   | 627.9624  | 428.23    |
|                        | 11CI-PF3OUdS | 763051-92-9 | C10HCIF20O4S  | 631.8965  | 442.59    |
|                        | FBSA         | 30334-69-1  | C4H2F9NO2S    | 298.9663  | 289.31    |
|                        | N-MeFBSA     | 68298-12-4  | C5H4F9NO2S    | 312.9819  | 367.8     |
|                        | N-MeFBSE     | 34454-97-2  | C7H8F9NO3S    | 357.0081  | 356.06    |
|                        | FHxSA        | 41997-13-1  | C6H2F13NO2S   | 398.9599  | 387.48    |
|                        | FOSA         | 754-91-6    | C8H2F17NO2S   | 498.9535  | 434.06    |
| PFAS, sulfonamides     | N-MeFOSA     | 31506-32-8  | C9H4F17NO2S   | 512.9691  | 464.8     |
|                        | N-EtFOSA     | 4151-50-2   | C10H6F17NO2S  | 526.9848  | 466.42    |
|                        | N-MeFOSE     | 24448-09-7  | C11H8F17NO3S  | 556.9953  | 435.4     |
|                        | N-MeFOSAA    | 2355-31-9   | C11H6F17NO4S  | 570.9746  | 425.39    |
|                        | N-EtFOSE     | 1691-99-2   | C12H10F17NO3S | 571.0110  | 436.88    |
|                        | N-EtFOSAA    | 2991-50-6   | C12H8F17NO4S  | 584.9903  | 431.33    |
|                        | PFBA         | 375-22-4    | C4HF7O2       | 213.9865  | 233.93    |
| DEAC carbovalic acids  | PFMOPA       | 377-73-1    | C4HF7O3       | 229.9814  | 300.41    |
| PFAS, carboxylic acids | PFPeA        | 2706-90-3   | C5HF9O2       | 263.9833  | 385.25    |
|                        | PFMOBA       | 863090-89-5 | C5HF9O3       | 279.9782  | 446.84    |



| Group                  | Compound  | CAS RN      | Mol. Formula | Mono mass | Pred. RTI |
|------------------------|-----------|-------------|--------------|-----------|-----------|
|                        | NFDHA     | 151772-58-6 | C5HF9O4      | 295.9731  | 526.09    |
|                        | PFHxA     | 307-24-4    | C6HF11O2     | 313.9801  | 537.73    |
|                        | GenX      | 13252-13-6  | C6HF11O3     | 329.9750  | 598.81    |
|                        | 5:3FTCA   | 914637-49-3 | C8H5F11O2    | 342.0114  | 676.81    |
|                        | 6:2FTUCA  | 70887-88-6  | C8H2F12O2    | 357.9863  | 533.14    |
|                        | PFHpA     | 375-85-9    | C7HF13O2     | 363.9769  | 674.82    |
|                        | ADONA     | 919005-14-4 | C7H2F12O4    | 377.9761  | 732.4     |
|                        | 6:2FTCA   | 53826-12-3  | C8H3F13O2    | 377.9925  | 729.49    |
|                        | PFOA      | 335-67-1    | C8HF15O2     | 413.9737  | 803.48    |
|                        | 7:3FTCA   | 812-70-4    | C10H5F15O2   | 442.0050  | 894.53    |
| PFAS, carboxylic acids | 8:2FTUCA  | 70887-84-2  | C10H2F16O2   | 457.9799  | 583.22    |
|                        | PFNA      | 375-95-1    | C9HF17O2     | 463.9705  | 887.5     |
|                        | 8:2FTCA   | 27854-31-5  | C10H3F17O2   | 477.9862  | 892.98    |
|                        | PFDA      | 335-76-2    | C10HF19O2    | 513.9673  | 883.45    |
|                        | 10:2FTUCA | 70887-94-4  | C12H2F20O2   | 557.9735  | 564.37    |
|                        | PFUdA     | 2058-94-8   | C11HF21O2    | 563.9641  | 827.06    |
|                        | 10:2FTCA  | 53826-13-4  | C12H3F21O2   | 577.9798  | 804.31    |
|                        | PFDoA     | 307-55-1    | C12HF23O2    | 613.9609  | 750.34    |
|                        | PFTrDA    | 72629-94-8  | C13HF25O2    | 663.9577  | 670.18    |
|                        | PFTeDA    | 376-06-7    | C14HF27O2    | 713.9545  | 593.33    |
|                        | PFHxDA    | 67905-19-5  | C16HF31O2    | 813.9482  | 458.06    |



|                        | Compound     | CAS RN      | Mol. Formula | Mono mass | Pred. RTI |
|------------------------|--------------|-------------|--------------|-----------|-----------|
| PFAS, carboxylic acids | PFODA        | 16517-11-6  | C18HF35O2    | 913.9418  | 350.12    |
| ,                      | 6:2PAP       | 57678-01-0  | C8H6F13O4P   | 443.9796  | 694.93    |
|                        | 8:2PAP       | 57678-03-2  | C10H6F17O4P  | 543.9732  | 815.86    |
| PFAS, phosphates       | 6:2diPAP     | 57677-95-9  | C16H9F26O4P  | 789.9823  | 511.21    |
|                        | 6:2/8:2diPAP | 943913-15-3 | C18H9F30O4P  | 889.9759  | 391.95    |
|                        | 8:2diPAP     | 678-41-1    | C20H9F34O4P  | 989.9696  | 298.55    |
|                        |              |             |              |           |           |
|                        |              |             |              |           |           |
|                        |              |             |              |           |           |
|                        |              |             |              |           |           |
|                        |              |             |              |           |           |
|                        |              |             |              |           |           |
|                        |              |             |              |           |           |
|                        |              |             |              |           |           |
|                        |              |             |              |           |           |
|                        |              |             |              |           |           |
|                        |              |             |              |           |           |
|                        |              |             |              |           |           |
|                        |              |             |              |           |           |
|                        |              |             |              |           |           |
|                        |              |             |              |           |           |